

Badania nad egipskimi *Sphécidae* (Hym.)Études sur les *Sphécidae* (Hym.) d'Égypte

napisał

WOJCIECH PUŁAWSKI

En 1957, un accord fut conclu entre les gouvernements d'Égypte et de Pologne sur l'échange de spécialistes de différentes branches de sciences. J'ai eu la chance de me trouver parmi ceux qui sont partis pour l'Égypte et d'y passer la période comprise entre le 27 octobre 1957 et le 21 mai 1958. J'ai pu ainsi ramasser une importante quantité d'Hyménoptères, principalement de Sphécides, qui font l'objet du présent travail.

Je saisis cette occasion pour remercier les personnes qui ont facilité mon séjour et m'ont apporté leur aide et leur bienveillance. M. le prof. Mustafa HAFEZ m'a accueilli au nom des autorités égyptiennes et a largement contribué à la réussite de mes recherches. M. Anastase ALFIERI, secrétaire général de la Société Entomologique d'Égypte, m'a offert son hospitalité et son expérience. Je n'oublierai pas la compagnie de M. le prof. Hermann PRIESNER, son amabilité et ses conseils.

Certaines localités que j'ai visitées (Ghizèh, Louxor, Assouan et Ouadi Halfa) sont trop connues pour qu'il soit nécessaire d'en expliquer l'emplacement. On peut trouver facilement les autres dans les différents guides, le Bedaecker ou le Guide Bleu par exemple; je crois néanmoins utile de préciser leur situation:

- Abou Roasch — une quinzaine de kilomètres au N.-O. des pyramides de Ghizèh.
 Saqqara — j'ai récolté non loin de la pyramide de Djoser, à 20 km. au S.-E. des pyramides de Ghizèh.
 Dahschour — 20 km. au Sud de la pyramide de Djoser de Saqqara.
 Maadi — une quinzaine de kilomètres au sud du Caire, sur la rive droite du Nil.
 Ouadi Digla — dans le désert, 3 km. environ au N.-E. de Maadi.

- Kom Oshime — à la lisière de la province Fayoum, sur la route Le Caire-Fayoum, 60 km. des pyramides de Ghizèh.
- Tell-el-Amarna — sur la rive droite du Nil, 12 km. au S.-E. de Mellaoui, qui est éloigné du Caire de 295 km. par chemin de fer.
- Abydos — 15 km. environ à l'ouest de Baliana, qui est éloigné du Caire de 521 km. par chemin de fer.
- Edfou — au sud du Caire, 776 km. par chemin de fer.
- Kom Ombo — 40 km. au nord d'Assouan.
- Oasis Feiran — 42 km. au N.-O. de la montagne Ste Catherine, le point le plus élevé de la presqu'île du Sinaï.
- Couvent Ste Catherine — 9 km. au nord de la montagne Ste Catherine.

Lors de l'examen du matériel récolté, j'ai décidé ne pas énumérer toutes les espèces capturées. Certaines d'elles sont en particulier très communes en Egypte et ont été citées plusieurs fois déjà; aussi serait-il parfaitement inutile de répéter par exemple qu'*Ammophila tydei* LE GUILL. se rencontre aux environs du Caire. Je ne discute donc que les espèces au sujet desquelles je puis ajouter un fait nouveau, portant soit sur leur morphologie, soit sur la distribution géographique; je décris 18 espèces nouvelles. Je n'ai pas inclus ici non plus les genres qui ont été traités séparément soit par M. J. DE BEAUMONT soit par moi-même; ce sont: *Astata* LATR., *Liris* F., *Tachytes* PANZ., *Parapiagetia* KOHL, *Laphyragogus* KOHL et *Dinetus* JUR.

Comme toujours dans les cas pareils, j'ai rencontré de nombreuses difficultés au cours de l'étude du matériel. Si j'ai pu les surmonter, c'est grâce à la collaboration de M. J. DE BEAUMONT (Lausanne), qui a bien voulu aussi corriger le manuscrit de ce travail; qu'il en soit remercié une nouvelle fois. Je dois à MM. Max FISCHER (Vienne) et Ernest TAYLOR (Oxford) la possibilité d'examiner certains types.

Les résultats de mes récoltes montrent très nettement que l'inventaire faunistique de Sphécides égyptiens est encore loin d'être achevé, malgré des recherches qui ont commencé depuis plus de cents ans. Il n'y a que peu de genres sur lesquels l'état actuel de connaissance soit plus ou moins satisfaisant; c'est par exemple *Bembyx* F. Dans d'autres genres, il est peu probable de trouver des formes inédites; la connaissance de la répartition géographique des espèces laisse toutefois à désirer, surtout dans la Haute et la Moyenne Egypte; ce sont par exemple *Cerceris* LATR. et *Palarus* LATR. Il y a enfin des genres où la part des espèces inconnues est relativement élevée (je fus très étonné d'avoir constaté que c'est le cas des *Tachysphex* KOHL) ou dont l'étude est à peine ébauchée (*Solierella* SPIN.). Ce sont surtout les insectes de petite taille qui ont échappé jusqu'à présent à l'attention des entomologistes.

LISTE DES ESPÈCES

Ammophila K.*A. (Eremochares) lutea* TASCHB.

Tell-el-Amarna: 17-18. III 3 ♀ 1 ♂, 20. III 1 ♀; Abydos: 3-5. III 2 ♀ 1 ♂.

Dans la vallée du Nil, l'espèce fut observée aux environs du Caire, à Fayoum et à Khartoum.

A. (Podalonia) minax KOHL

Saqqara: 28. III 1 ♀ 1 ♂, 3. IV 1 ♀ 1 ♂; Tell-el-Amarna: 8. III 1 ♂.
Espèce connue jusqu'à présent des environs du Caire.

A. (Podalonia) tydei LE GUILL.

Tell-el-Amarna: 8. III 1 ♀, 17-18. III 1 ♂.

Espèce pas encore observée dans la Moyenne Egypte.

A. (Podalonia) dispar TASCHB.

Louxor: 18. I 1 ♀ 1 ♂, 22. I 1 ♂, 26. I 1 ♀, 31. I et 25. II 2 ♂. Sinai:
Oasis Feiran: 7. IV 1 ♀ 1 ♂.

Espèce connue jusqu'à présent de Khartoum et des environs du Caire.

A. (Podalonia) schmiedeknechti KOHL

Tell-el-Amarna: 8. III 1 ♀, 17-18. III 1 ♀ 1 ♂.

Observée jusqu'ici aux environs du Caire et au Sinai.

Sphex L.*S. (Sphex) pruinosus* GERM.

Kom Oshime: 19. XI 1 ♂, 9. V 1 ♀ 1 ♂.

Connu en Egypte des environs du Caire seulement.

S. (Calosphex) niveatus DUF.

Kom Oshime: 19. IV 1 ♂, 28. IV 1 ♀, 9. V 1 ♂, 13. V 1 ♀.

Pas encore observé dans la province de Fayoum.

Dolichurus LATR.*D. haemorrhous* COSTA

Ghizèh: 16. XI 1 ♀, 2. XII 4 ♀ 1 ♂, 15. XII 1 ♀, 17. XII 1 ♀.

♀ — Morphologiquement très semblable à celle de *D. corniculus* SPIN.; elle s'en distingue par la partie supérieure des épimères rugueuse et par les côtés du 1^{er} tergite (surtout en dessus et en arrière des stigmates) ponctués-rugueux; chez *D. corniculus* SPIN. la partie supérieure des épimères et les côtés du 1^{er} tergite sont lisses et brillants, éparsement ponctués. Elle se reconnaît à coup sûr à la coloration rouge de l'extrémité de son abdomen; le rouge envahit, d'après COSTA (1886), les trois derniers segments; chez mes exemplaires, le segment 3 est rouge aussi ou n'est noir qu'à la base. Sont ferrugineux: les mandibules (sauf les dents apicales), la partie antérieure du clypéus et les scapes (sauf en dessus); une partie du funicule brun ferrugineux; tegulae jaunâtres, en partie transparentes, en avant. Fémurs presque noirs, d'un ferrugineux très foncé; tibias et tarses ferrugineux clair, tibias en partie rembrunis à la face externe. Long. 6,5 mm.

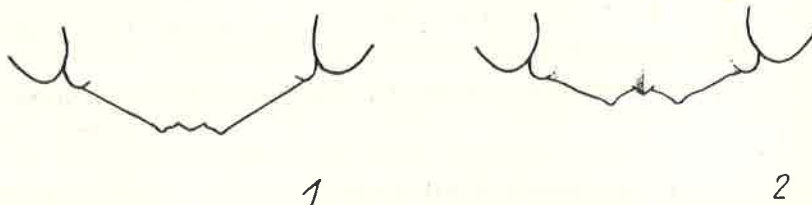


Fig. 1-2. Clypéus du mâle; 1 — *Dolichurus corniculus* SPIN., 2 — *Dolichurus haemorrhous* COSTA.

♂ (inédit) — Clypéus (fig. 2) avec une carène médiane brillante; son bord antérieur montre une échancrure qui présente une fine dent médiane; les bords externes de l'échancrure sont séparés par un espace 1,5 fois plus petit que celui entre l'échancrure et les tubercules basaux supérieurs (= épicondyles) des mandibules. Partie supérieure des épimères ponctuée-rugueuse. Tergite 1 à ponctuation forte; celle du 2^e tergite l'est moins, celle du 3^e tergite encore plus fine; sur le 1^{er} tergite, les espaces sont 1-2 fois aussi grands que les points, sur le 2^e tergite aussi grands (un peu plus grands au milieu), sur le 3^e tergite plus petits. Sternite 3 comme chez *D. corniculus* SPIN.: fortement allongé vers l'arrière, à

bord postérieur convexe (= semicirculaire); il y a une impression le long du bord postérieur. Long. 5,5 mm.

Tête noire; mandibules ferrugineuses (sauf l'extrême base et les dents); clypéus avec une paire de taches brun jaunâtre, décolorées. Scape et funicule ferrugineux en dessous, rembrunis en dessus, seuls les 3 derniers articles sont bruns. Thorax noir, il n'y a que 2 petites taches blanchâtres sur les côtés du pronotum. Abdomen noir. Tegulae brun foncé, tachées de jaune blanc en avant. Fémurs noirs, tibias et tarses ferrugineux, avec des zones rembrunies.

Le mâle de *D. haemorrhous* COSTA ressemble également beaucoup à celui de *D. corniculus* SPIN. Chez ce dernier, cependant, l'échancrure du clypéus (fig. 1) est un peu moins profonde et l'espace qui la sépare des épicondyles est 2 fois plus grand que sa largeur, la partie supérieure des épimères montre des points disséminés sur fond brillant, la ponctuation des 2 premiers tergites et des 2 premiers sternites est beaucoup plus fine et plus espacée, le clypéus montre généralement une paire de taches jaunes, le bord antérieur de la protubérance supraantennaire est jaune, les tegulae ne sont pas tachés de jaune, les tibias sont nettement plus foncés.

Une autre espèce voisine est *D. turanicus* GUSS., de l'Asie centrale soviétique. A consulter la diagnose de GUSSAKOVSKIJ (1952), on arrive à la conclusion que celle-ci est spécifiquement distincte de *D. haemorrhous* COSTA; elle est caractérisée par la sculpture de la face dorsale du propodéum moins forte que chez *D. corniculus* SPIN.; chez la femelle, la partie supérieure du front et le vertex sont lisses, éparsément ponctués, le clypéus et les scapes sont noirs, les tegulae ferrugineux, l'abdomen noir avec le dernier segment brun, et seuls les tibias 1 sont ferrugineux; chez le mâle, les mésopleures sont ponctuées, sans rugosités, et le bord antérieur de la protubérance supraantennaire est jaune.

D. haemorrhous COSTA nidifie dans la terre; j'ai vu les femelles de cette espèce courir sur le sable, entre les cailloux, et disparaître dans les galeries qu'elles y ont creusées.

D. turanicus GUSS. est d'après GUSSAKOVSKIJ (1952) un élément très ancien dans la faune de l'Asie centrale, originaire d'une période où celle-ci était couverte de forêts. On ne saurait voir un cas analogue dans la présence de *D. haemorrhous* COSTA en Egypte, puisque cette espèce, nidifiant dans la terre, s'est certainement développée sur les territoires ouverts et arides, et non boisés.

La détermination de cette espèce n'est pas certaine. *D. haemorrhous* COSTA a été décrit de l'Italie méridionale et il est naturellement probable

que les individus égyptiens ne soient pas conspécifiques avec les italiens. M. J. DE BEAUMONT m'écrit, d'autre part, que la ♀ unique de *D. haemorrhous* COSTA de sa collection, originaire du Portugal, diffère de mes spécimens par la coloration et la sculpture du 1^{er} tergite.

Philanthus F.

Ph. coarctatus SPIN.

Louxor: 22. I 1 ♂; Kom Ombo: 16-18. II 4 ♀ 9 ♂; Assouan: 5. II 5 ♀ 4 ♂, 13. II 4 ♀ 3 ♂, 15. II 4 ♀ 5 ♂; Ouadi Halfa: 8-10. II 4 ♂.

Pseudoscolia RAD.

P. dewitzi KOHL

Abou Roasch: 26. III 1 ♂, 4. IV 1 ♂; Ghizeh: 30. III 1 ♀ 1 ♂; Maadi: 29. III 1 ♂, 13. IV 1 ♀ 2 ♂, 23. IV 1 ♀; Saqqara: 28. III 2 ♀, 18. IV 1 ♀, 27. IV 3 ♂; Dahschour: 2. V 1 ♀ 1 ♂, 8. V 2 ♀ 1 ♂, 16. V 1 ♀ 1 ♂; Kom Oshime: 19. IV 1 ♀ 1 ♂, 22. IV 1 ♀, 28. IV 2 ♀ 4 ♂, 4. V 2 ♀ 6 ♂, 9. V 2 ♀ 5 ♂, 13. V 1 ♀ 2 ♂; Kom Ombo: 16-18. II 3 ♀ 20 ♂.

Observée en Egypte à Saqqara et à Gebel Asfar (au nord du Caire) seulement.

P. pharaonum KOHL

Abou Roasch: 26. III 5 ♀ 16 ♂ (dont j'ai désigné un comme allotype), 31. III 1 ♀, 4. IV 4 ♀ 7 ♂, 6. V 1 ♀; Saqqara: 24. III 7 ♀ 5 ♂, 28. III 5 ♀ 2 ♂, 3. IV 2 ♀ 1 ♂. Plusieurs spécimens ont été pris sur les fleurs de *Senecio vernalis* W. K.

P. pharaonum KOHL appartient au groupe *P. theryi* VACH.; elle en montre toutes les particularités indiquées par DE BEAUMONT (1949), exception faite cependant pour les tarsi 2 du mâle qui sont simples et non déformés.

♂ (inédit) — Yeux fortement convergents vers le haut (fig. 3), la distance qui les sépare des ocelles postérieurs est nettement inférieure au diamètre d'un ocelle. Lobe médian du clypéus nettement bombé, à ponctuation forte et espacée, plus fine et dense à la base de la lamelle seulement; cette dernière presque rectiligne, avec une petite échancrure médiane, à bords latéraux non dentiformes, ne formant qu'un angle net. La longueur minimum des joues égale la moitié de l'espace post-

ocellaire. Ponctuation du front très dense, entièrement cachée sous la pilosité; ponctuation de l'espace interocellaire et du vertex moins dense, les espaces par endroits plus grands que les points. Distance interoculaire minimum aussi grande que le pédicelle et les 3 suivants articles du funicule réunis. Espace postocellaire un peu plus grand que le diamètre d'un ocelle postérieur. Tempes brillantes, légèrement chagrinées, nettement et densément ponctuées, plus étroites que la moitié d'un oeil en vue latérale. Troisième article des antennes 1,7 fois plus long que large, quatrième article 1,2 fois, cinquième article à peu près aussi long que large; articles 10 et 11 transverses; articles 8-10 concaves à la face inférieure; les autres articles du funicule aplatis; les angles apicaux internes des articles 9-11 nettement saillants (fig. 4). Pronotum (fig. 5) encore moins développé que chez *P. theryi* VACH., son bord postérieur régulièrement arqué. Mésonotum brillant, à ponctuation éparse, dense à la déclivité antérieure et souvent devant le bord postérieur. Face dorsale du propodéum identique à celle de *P. theryi* VACH.; faces latérales mates, éparsément ponctuées, souvent aussi avec des stries obliques. Tergites abdominaux chagrinés, brillants, avec des points disséminés peu distincts. Premier tergite peu étranglé à sa jonction avec le 2°. Tergite 7 semblable à celui de *P. theryi* VACH., chagriné et mat, nettement ponctué, à bords latéraux surélevés. Sternite 8 arrondi à l'extrémité, non échancré. Pattes sans particularités notables; seul le 2° article du tarse 1 est largement échancré à la base (fig. 6). Fémurs 1-3 avec des poils longs et abondants en dessous; les plus longs poils des fémurs 1 et des fémurs 3 sont plus longs que le diamètre maximum de l'article correspondant. Tibias 1 à la face externe et tibias 3 à l'arête inféro-interne avec de longs poils dont certains dépassent le plus grand diamètre de l'article chez les individus frais. Long. 7-11 mm.

Tête et thorax noirs; clypéus blanc jaunâtre (seule la lamelle est noire); derniers articles des antennes blanc jaunâtre en dessous; tegulae blanc jaunâtre, brunes dans la partie postérieure; plaques basales des ailes blanc jaunâtre, noires à la base; nervures alaires blanc jaunâtre à la base. Tergites abdominaux noirs avec des bandes blanc jaunâtre; celle du tergite 2 ne laisse noire qu'une zone antérieure étroite; celles du 1^{er} et du 3^e tergites occupent environ la moitié postérieure; celles des tergites 4-6 sont étroites. Sternites abdominaux noirs ou jaunâtres à la base des dépressions apicales. Fémurs noirs, jaunes et ferrugineux à l'apex même; fémurs 1 jaunes en dessous (sauf à la base). Tibias ferrugineux, plus ou moins jaunes à la face externe, tibias 1 et 2 noirs à la face inférieure. Tarses ferrugineux.

P. pharaonum KOHL se distingue de *P. theryi* VACH. par la ponctuation dense moins étendue à la base et à l'apex du clypéus, par les joues plus longues, par le collare moins développé, par les poils dressés des fémurs et des tibias plus longs, par l'absence de couleur ferrugineuse à l'abdomen,

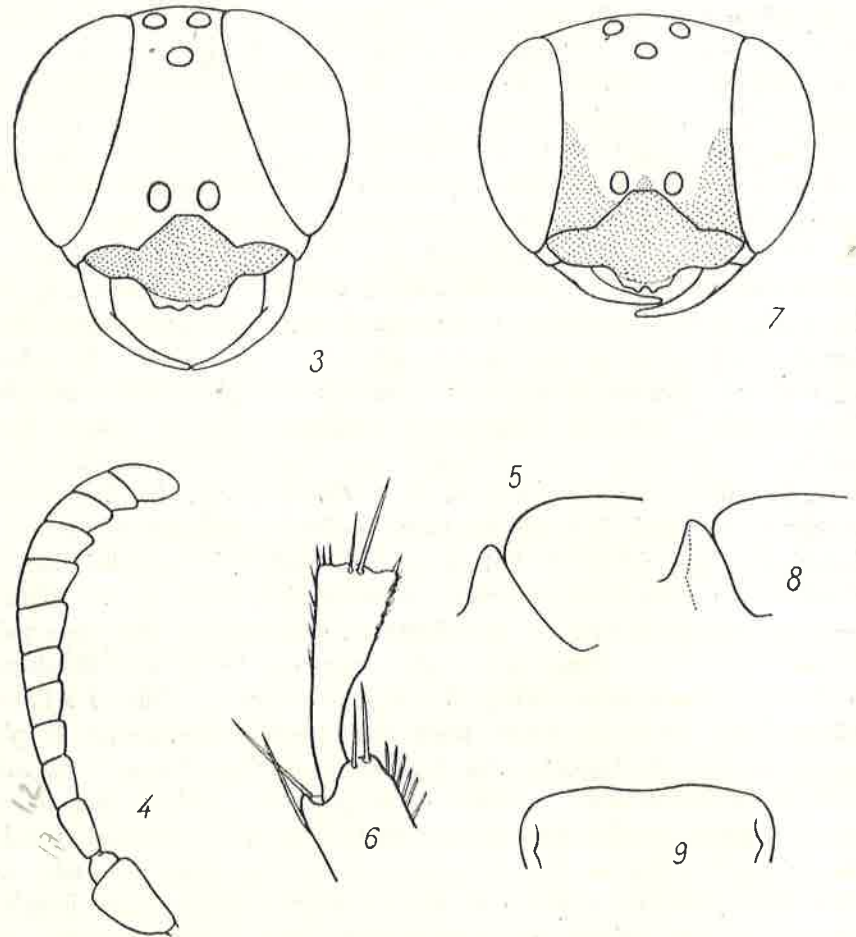


Fig. 3-6. *Pseudoscolia pharaonum* KOHL ♂; 3 — tête vue par la face antérieure, 4 — antenne, 5 — pronotum en vue latérale, 6 — métatarse 1.

Fig. 7-9. *Pseudoscolia spinulicollis* MOCHI ♂; 7 — tête vue par la face antérieure, 8 — pronotum en vue latérale, 9 — pronotum en vue dorsale.

par les fémurs 2 et 3 noirs (sauf à l'apex). Chez la femelle de *P. pharaonum* KOHL, l'aire pygidiale est plus large, chez le mâle les antennes et les tarsi 1 et 2 ont une autre forme, que chez *P. theryi* VACH.

P. spinulicollis MOCHI

Kom Oshime: 2. IV 2 ♂ (dont j'ai désigné l'un comme allotype).

L'espèce fait sans doute partie du groupe *P. dewitzi* KOHL; elle correspond bien aux caractéristiques données par DE BEAUMONT (1949), sauf pour les particularités suivantes: la striation de la face dorsale du propodéum est presque aussi fine que chez *P. theryi* VACH., moins forte que chez *P. dewitzi* KOHL; le clypéus n'est pas vraiment quadridenté; l'espace postocellaire est supérieur à l'espace oculo-ocellaire.

♂ (inédit) — Divergence des yeux (fig. 7) moins accusée que chez *P. dewitzi* KOHL, identique à ce que l'on voit chez *P. berlandi* BEAUM. Lobe médian du clypéus moyennement bombé, à ponctuation fine et très dense, avec des poils couchés qui cachent entièrement la sculpture; il y a 2 dents distinctes au bord antérieur et une ondulation de chaque côté (fig. 7). Yeux touchant presque l'articulation des mandibules. Front entièrement couvert de poils couchés, à ponctuation très dense. POL:OOL = 1,18 et 1,27 chez les deux exemplaires examinés. Espace interocellaire et vertex à ponctuation espacée, certains espaces étant beaucoup plus grands que les points, d'autres cependant plus petits. Tempes brillantes, densément et régulièrement ponctuées (les espaces en moyenne plus grands que les points), presque aussi larges que le tiers d'un oeil en vue latérale. Articles des antennes sans particularités notables; le funicule est seulement un peu aplati; troisième article 1,4 fois plus long que large, quatrième à sixième articles 1,1 fois plus longs que larges, articles suivants plus longs que larges. Collare nettement surélevé (fig. 8), légèrement échancré au milieu; côtés du pronotum avec une carène semblable à celle de *P. dewitzi* KOHL, mais qui se prolonge jusqu'à la partie antéro-externe du collare et s'y termine en formant une petite saillie (fig. 9). Mésonotum et scutellum brillants, avec quelques points tout à fait isolés, un peu plus nombreux à la déclivité antérieure du mésonotum. Mésopleures brillantes, avec de gros points espacés, beaucoup plus fins dans le haut; la partie supérieure est mate et très densément ponctuée en arrière. Face dorsale du propodéum mate, fortement chagrinée, avec de fines stries, concentriques au milieu et longitudinales sur les côtés (comme chez la femelle, voir la figure de MOCHI, 1939). Premier segment abdominal presque sans étranglement à sa jonction avec le 2°. Tergites abdominaux chagrinés, à ponctuation dense et assez fine (beaucoup plus fine que chez *P. dewitzi* KOHL). Côtés du 6° tergite sans touffes de poils. Septième tergite abdominal chagriné et mat, imponctué, avec deux carènes latérales qui délimitent une aire pygidiale beaucoup plus

étroite que chez *P. dewitzi* KOHL. Sternite 8 nettement arqué à l'extrémité, non échancré. Les poils de la face inférieure des fémurs 1 sont aussi longs, ceux des fémurs 3 plus courts, que la moitié du diamètre maximum de l'article. Les poils de la face externe des tibias 1 et ceux de l'arête inféro-interne des tibias 3 sont plus courts que le diamètre maximum de l'article correspondent.

Mandibules ferrugineuses au milieu, noires à l'apex. Sont d'un blanc jaunâtre: la partie basale des mandibules, le clypéus (sauf le bord antérieur noir), une large strie au bord interne des yeux (elle peut occuper tout l'espace entre les fossettes antennaires et les yeux et atteindre le milieu de la hauteur du front), le collare, les tubercules huméraux, les tegulae, les plaques basales des ailes antérieures, une partie des nervures à la base des ailes, des bandes sur les tergites 1-6 (la première est échancrée), plus larges que la moitié des tergites, chez un spécimen encore une petite tache à la face inférieure des scapes et le postscutellum. Antennes noires, dernier article brun jaunâtre en dessous. Ailes hyalines, ptérostigma ferrugineux clair. Fémurs noirs; fémurs 1 avec une grande zone blanc jaunâtre à la face inférieure (sauf dans le tiers basal) qui envahit également tout l'apex de l'article; fémurs 2 avec une zone claire identique ou plus petite; fémurs 3 blanc jaunâtre dans le tiers apical. Tibias jaune pâle; tibias 1 et 2 noirs, tibias 3 ferrugineux, à la face postérieure. Tarses jaune pâle, en partie bruns.

J'ai pu voir, dans la collection ALFIERI, les femelles typiques de MOCHI et je ne doute pas de la correspondance des sexes.

On distinguera le mâle de *P. spinulicollis* MOCHI de celui de *P. dewitzi* KOHL, *P. lyauteyi* SCHULTH. et *P. berlandi* BEAUM. surtout à la ponctuation et à la forme du clypéus, à la forme des antennes et du pronotum et à la sculpture de la face dorsale du propodéum.

Cerceris LATR.

C. luxuriosa DAHLB.

Assouan: 5. II 1 ♂, 13-15. II 8 ♂.

Pas encore signalé de la Haute Egypte.

C. fischeri SPIN.

Kom Oshime: 19. IV 2 ♂, 9. V 1 ♂.

Pas encore observé dans la province de Fayoum.

***C. pulchella* KLUG**

Abou Roasch: 24. IV 2 ♂, 29. IV 1 ♀ 2 ♂, 11. V 1 ♀; Dahschour: 2. V 1 ♀ 1 ♂, 8. V 3 ♀.

Connu en Egypte des environs du Caire.

***C. pallidula pallidula* MORICE**

Maadi: 18. V 1 ♂ (det. J. DE BEAUMONT).

La race typique de cette espèce n'est connue jusqu'à présent que des environs du Caire.

***C. cheops* BEAUM.**

Saqqara: 18. IV 1 ♀, 27. IV 3 ♂.

Connu en Egypte des environs du Caire seulement.

***C. eugenia* SCHLETT.**

Ghizèh: 20. IV 1 ♀; Kom Oshime: 14 et 19. IV 2 ♂, 4. V. 1 ♀, 9. V 1 ♂.

Pas encore observé dans la province de Fayoum.

***C. tricolorata* SPIN.**

Kom Oshime: 22. IV 1 ♂, 13. V 1 ♀ 1 ♂.

Trouvé pour la première fois dans la province de Fayoum.

***C. chromatica* SCHLETT.**

Abou Roasch: 29. IV 2 ♂; Ghizèh: 30. IV 1 ♂, 5. V 1 ♀ 1 ♂, 10. V 3 ♂, 15. V 2 ♂; Saqqara: 28. III 2 ♂; Dahschour: 2. V 1 ♂, 8. V 5 ♂, 16. V 1 ♀ 2 ♂.

Aucun individu ne montre de caractères de *C. lateriproducta* MOCHL.

***C. pharaonum* KOHL**

Abou Roasch: 31. III 1 ♀, 4. IV 1 ♂, 29. IV 1 ♀ 2 ♂, 6. V 1 ♀ 3 ♂, 11. V 4 ♂, 17. V 2 ♂; Ghizèh: 30. III 5 ♀ 3 ♂, 20. IV 1 ♂, 30. IV 2 ♀ 4 ♂, 5. V 3 ♀ 6 ♂, 10. V 1 ♀ 1 ♂, 15. V 1 ♀ 1 ♂; Saqqara: 24. III 2 ♂, 28. III 1 ♂; Dahschour: 2. V 1 ♀ 4 ♂, 8. V 2 ♀ 1 ♂, 16. V 4 ♀; Kom Oshime: 14. IV 1 ♀.

D'après MOCHI (1938), il se rencontre en bordure du désert; HONORÉ (1942) ne cite que Tourah, Dahschour et Gebel Asfar.

***C. chlorotica* SPIN.**

Ghizèh: 15. IV 1 ♀, 20. IV 2 ♂, 25. IV 1 ♂, 30. IV 2 ♂, 5. V 1 ♀ 4 ♂, 10. V 1 ♀ 8 ♂, 15. V 2 ♂; Dahschour: 2. V 3 ♂, 8. V 2 ♂, 16. V 2 ♂.

MOCHI (1938) et HONORÉ ne parlent que des environs du Caire, sans autres indications sur les localités de captures.

***C. spinipectus spinolica* SCHLETT.**

Abou Roasch: 16. IV 1 ♀, 17. V 1 ♂; Ghizèh: 25. IV 1 ♂, 10, V 1 ♂, 15. V 5 ♂; Maadi: 18. V 1 ♂; Kom Oshime: 19. IV 1 ♀, 22. IV 1 ♂, 28. IV 3 ♂, 4. V 1 ♀ 6 ♂, 9. V 3 ♂, 13. V 5 ♂.

MOCHI (1938) l'a cité sous le nom de *C. capito* LEP. des environs du Caire, sans autres indications, et HONORÉ (1942) sous le même nom de Hawamdièh et de Gebel Asfar.

***C. straminea* DUF.**

Kom Oshime: 28. IV 1 ♂, 4. V 2 ♂, 13. V 1 ♂.
Pas encore trouvé dans la province de Fayoum.

***C. solitaria* DAHLB.**

Abou Roasch: 29. IV 2 ♂, 11. V 1 ♀ 1 ♂, 17. V 1 ♀ 4 ♂; Ghizèh: 20 et 30. IV 2 ♂, 10 et 15. V 2 ♂; Maadi: 18. V 1 ♂; Kom Oshime: 4. V 4 ♂, 9. V 2 ♂, 13. V 4 ♂.

Pour cette espèce aussi, les localités exactes de trouvailles n'ont pas été citées par MOCHI (1938) ni par HONORÉ (1942). D'après DE BEAUMONT (1951), elle se rencontre en Egypte aux environs du Caire et à l'oasis de Sioua.

***Ammatomus* COSTA**

***A. mesostenus* HANDL.**

Maadi: 29. III 1 ♂; Kom Oshime: 14. IV 2 ♂, 19. IV 1 ♀ 2 ♂, 9. V 1 ♀.

Observé jusqu'ici au Caire et à Hawamdièh.

Gorytes LATR.*G. (Hoplisoides) ferrugineus* SPIN.

Kom Oshime: 14. IV 1 ♀.

En Egypte, connu jusqu'à présent de Shubra et des environs du Caire (DE BEAUMONT, 1953).

G. (Dienoplus) laevis aegyptiacus SCHULZ

Abou Roasch: 1. XI 3 ♀ 2 ♂, 3. XI 1 ♀ 6 ♂, 10 XI 1 ♀, 11. XI 3 ♂, 23. XI 1 ♀; Ghizèh: 6. XI 4 ♀ 3 ♂, 5. V 1 ♀; Maadi: 14. XI 1 ♂, 15. XI 2 ♀, 22. XI 1 ♀ 2 ♂, 23. IV 2 ♂; Kom Oshime: 22. IV 1 ♂, 9. V 1 ♀; Abydos: 3-5. III 1 ♀ 3 ♂; Assouan: 15. II 1 ♂.

Cette sous-espèce, décrite d'Égypte sans autres indications, a été retrouvée au Fezzan et au Tassili des Ajjer. Les individus cités par HONORÉ (1942) comme *G. laevis* LATR. de Hawamdièh appartiennent probablement aussi à la race en question.

Kohlia HANDL.*K. coxalis* MORICE

Abou Roasch: 11. V 2 ♂, 17. V 2 ♀ 1 ♂; Ghizèh: 25. IV 6 ♂, 30. IV 3 ♂, 10. V 1 ♂, 15. V 1 ♀. Saqqara: 27. IV 1 ♀; Dahschour: 2. V 3 ♀ 1 ♂, 8. V 1 ♂, 16. V 1 ♀ 1 ♂.

Espèce décrite de Koubbèh, retrouvée par HONORÉ (1942) à Fayoum (j'ai moi-même pris plusieurs exemplaires à Kom Oshime).

Bembecinus COSTA*B. tenellus* KLUG

Assouan: 13. II 1 ♀ 3 ♂; Ouadi Halfa: 8-10. II 5 ♂.

Cette espèce, connue d'Égypte et du Soudan (Senaar), n'a pas encore été observée en Nubie; j'ai encore pris plusieurs exemplaires à Ghizèh et à Maadi.

B. tenellus KLUG se distingue de *B. iridens* F. et de *B. hungaricus* FRIV., outre les caractères indiqués par MOCHI (1939) et DE BEAUMONT (1954), encore par la pilosité des tergites: les poils dressés y sont très courts (sauf à la base du 1^{er} tergite) et les poils couchés sont strictement appliqués sur la surface. Chez les deux autres espèces, les poils dressés sont beaucoup plus longs (surtout chez le mâle) et les poils couchés sont moins fortement appliqués sur la surface (spécialement chez le mâle).

less than
midcellar
diameter

Nysson LATR.*N. rufus* HANDL.

Kom Oshime: 13. V 1 ♂ (que j'ai désigné comme allotype).

♂ (inédit) — Comme chez la femelle, les tempes sont rebordées, la nervure cubitale commence un peu avant l'extrémité de la cellule anale, le front est simple et les tibias 3 montrent des épines à la face externe. La forme du sternite 2, la structure du postscutellum et celle de l'aire dorsale du propodéum, sont également communes pour le mâle et la femelle.

La pilosité couchée du thorax est forte, bien développée, cachant totalement le tégument sur la face antérieure de la tête (sauf l'aire apicale du clypéus), sur les tempes, sur les mésopleures et le mésosternum, sur les côtés de la face dorsale du propodéum; la sculpture est difficilement reconnaissable au vertex, sur les côtés du collare, sur le scutellum et le postscutellum. Le haut du front et le vertex brillants, avec une microponctuation fine mais distincte; de gros points sont épars, les espaces étant plusieurs fois plus grands que les points eux-mêmes. Côtés du pronotum ponctués en avant des tubercules huméraux (les espaces plus grands que les gros points) et réticulés tout en bas. Mésonotum brillant, à microponctuation espacée; les espaces entre les gros points sont par endroits plus petits que ces derniers, en moyenne cependant plus grands. Sur le scutellum, les gros points sont encore plus grands et plus serrés que ceux du mésonotum. Sur le 1^{er} tergite, les espaces sont plus grands que les points à certains endroits, plus petits à d'autres. Sur le tergite 2, la plupart des espaces sont nettement plus grands que les points. Sur les tergites 3-5 les espaces ne dépassent pas le diamètre des points ou le dépassent à peine; sculpture du tergite 6 presque entièrement cachée sous la pubescence. Sternite 2 avec des espaces par endroits plus petits et par endroits plus grands que les points; la pilosité couchée est très distincte sur ce sternite. Les tergites 1-6 et les sternites 2-5 montrent des bandes de cils au bord postérieur, presque aussi longs que la moitié du diamètre de l'ocelle antérieur. Hanches 3 à ponctuation fine, leur tégument presque entièrement caché sous la pilosité couchée.

Distance interoculaire minimum 1,6 fois plus petite que l'écartement des yeux au vertex. Bords internes des yeux légèrement divergents vers le haut dans leur partie supérieure, au dessus de l'échancrure; cette dernière très peu marquée, presque nulle. POL:OOL = 18:19. Aire apicale du clypéus (fig. 10) glabre, brillante, avec quelques points assez gros et assez serrés; elle est aussi longue sur sa ligne médiane que l'aire

basale. Le bord antérieur du clypéus forme un arc presque régulier et assez peu convexe; le bord antérieur du lobe médian présente une lamelle large mais très courte, peu distincte; elle est légèrement déprimée au milieu même, son bord antérieur est très légèrement concave. Les lobes latéraux sont couverts par les poils couchés et très denses qui forment une sorte de courte barbe de chaque côté. Articles du funicule avec une rangée de cils en dessous, un peu plus longs que la moitié du diamètre de la partie basale du funicule. Deuxième article du funicule 1,15 fois plus long que large, plus long que le troisième (le bord supérieur des deux articles a été comparé). Avant-dernier article des antennes insensiblement plus long que large (19:18), un peu plus long que l'antépénultième; son bord postérieur montre une petite échancrure et une très petite saillie à la face inférieure. Dernier article courbé, tronqué à l'extrémité (fig. 11). Pronotum régulièrement arrondi, sans dents ni carènes. Mésopleures avec une structure particulière dans leur partie postéro-supérieure: une carène semicirculaire limite une aire (ouverte par arrière). Carènes épincémiales très peu développées, invisibles sous la pilosité; il y a deux dents au bord antérieur du mésosternum, en arrière des hanches 1; les deux dents sont séparées par une fossette oblongue. Postscutellum avec une carène médiane et une dent fine mais aiguë de chaque côté; les dents sont situées près du bord antérieur du postscutellum et près des fossettes latérales. Aire dorsale du propodéum avec de fortes stries irrégulières (surtout longitudinales) et avec une saillie conique distincte au milieu (la face postérieure déclive du thorax commence à son sommet). Epines latérales du propodéum plutôt fortes, aussi longues en vue latérale que l'avant-dernier article du tarse 2. Le bord postérieur des tergites n'est pas replié à angle droit. Sternite 2 nettement bombé, régulièrement arrondi en avant, sans particularités notables. Tergite 7 avec une carène longitudinale peu nette de chaque côté, trilobé au bord postérieur; chaque carène aboutit au lobe externe correspondant; le lobe médian est aussi long mais beaucoup plus large que les latéraux (fig. 12); les deux échancrures entre les lobes sont asymétriques chez l'exemplaire examiné. Métatarse 1 avec des poils argentés assez longs à la face externe. Le pétiole de la 2^e cellule cubitale est plus court que la hauteur de la cellule. Troisième cellule cubitale 3 fois plus courte en haut qu'en bas. Long. 7 mm.

La couleur brun ferrugineux envahit l'aire apicale du clypéus, toutes les antennes, les mandibules (sauf à l'apex), les tegulae, les pattes à partir des hanches et toute la face ventrale de l'abdomen. Tête (sauf les parties citées plus haut) et thorax noirs; les côtés du pronotum et du pro-

podéum tirant sur le ferrugineux en bas; tubercules huméraux jaunes. Face dorsale de l'abdomen noire, les derniers tergites et la base du 1^{er} bruns; il y a des bandes apicales jaunes sur les tergites 1-5. Nervures des ailes noires, brunes à la base.

Cette espèce a peu de caractères en commun avec *N. fulvipes* COSTA, duquel HANDLIRSCH (1895) inclinait à la rapprocher. A mon avis, on doit la placer dans un groupe à part.

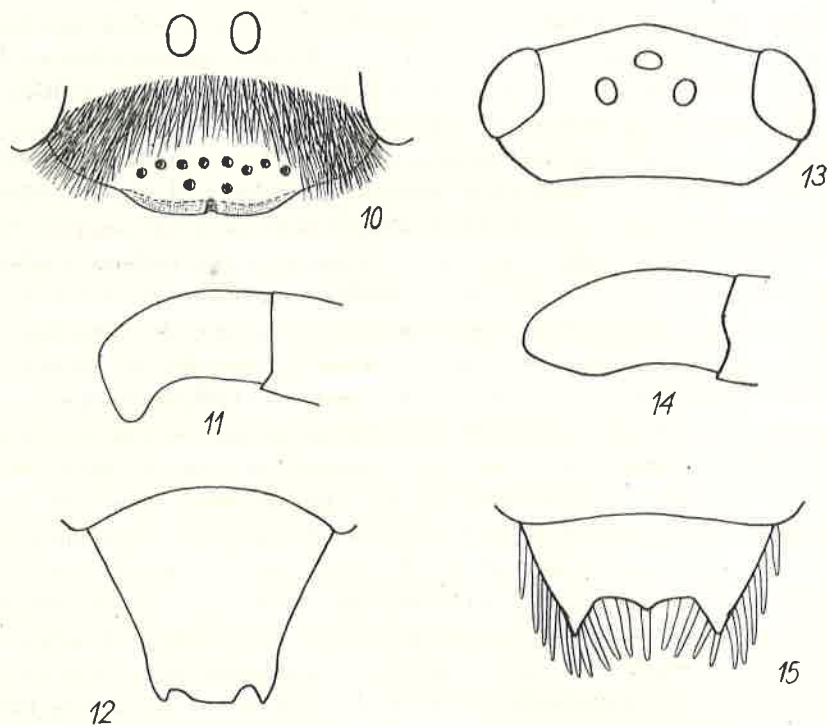


Fig. 10-12. *Nysson rufus* HANDL. ♂; 10 — clypéus, 11 — dernier article des antennes, 12 — septième tergite.

Fig. 13-15. *Nysson laevis* sp. n. ♂; 13 — tête en vue dorsale, 14 — dernier article des antennes, 15 — septième tergite.

***N. laevis* sp. n.**

Holotype: 1 ♂, Maadi, 29. III. 1958. Allotype: 1 ♀, Maadi, 15. XI. 1957. Paratypes: Abou Roasch: 3. XI 1 ♀; Ghizèh: 6 et 8. XI 2 ♀; Maadi: 22. XI 1 ♀; Dachsour: 2. V 1 ♂; Kom Oshime: 2. IV 2 ♂, 9 et 13. V 2 ♀.

Front brillant, non chagriné, avec des points inégaux (plus grands et plus petits); presque tous les espaces sont plus grands que les points; il n'y a pas de carène au dessus des antennes. Ponctuation du vertex semblable à celle du front, mais nettement double (petits et gros points). Tempes non rebordées. Bords internes des yeux légèrement convergents vers le haut au dessus de l'échancrure, qui est faible mais distincte. Derrière les yeux, la tête est peu développée sur les côtés, mais prolongée au milieu (fig. 13). Pilosité de la tête (sauf sur les tempes) et du thorax couchée, cachant entièrement la sculpture sur les côtés de la face dorsale du propodéum. Pronotum, scutellum et postscutellum sans structures particulières. Parties latérales du pronotum (en arrière des hanches 1) assez finement striées. Mésonotum brillant, à ponctuation distincte et uniforme. Scutellum presque lisse en avant, à ponctuation forte et irrégulière, avec de petits points peu nombreux. Mésopleures mates, rugueuses (leur sculpture est distinctement plus forte que chez *N. dimidiatus* JUR.); la partie brillante au dessus des hanches 2 est petite; il y a des poils distincts mais ne cachant pas la sculpture. La carène antérieure du mésosternum forme un angle distinct au milieu. Métapleures brillantes et finement ponctuées, striées dans le haut. Propodéum avec des épines assez courtes; son aire dorsale est semblable à celle de *N. dimidiatus* JUR. Faces latérales du propodéum rugueuses en haut et en arrière, lisses et brillantes en bas et en avant. Le bord postérieur des segments abdominaux n'est pas replié à angle droit. Hanches 3 brillantes, légèrement chagrinées, avec des points peu distincts et généralement très espacés; la carène à leur arête supéro-interne n'est pas saillante en dent en avant. Fémurs 3 sans lobe à l'apex. Tibias 2 et 3 sans épines à la face externe, avec des poils argentés et des soies raides. La deuxième nervure récurrente est légèrement sinueuse, comme chez *N. dimidiatus* JUR.; la 2^e cellule cubitale avec un pétiole plus court que sa hauteur; la nervure cubitale des ailes postérieures prend naissance à l'apex de la cellule anale.

♀ — Distance interoculaire minimum 1,4–1,5 fois plus petite que l'écartement des yeux au vertex. Bord antérieur du clypéus régulièrement arqué, presque droit au milieu; la lamelle est peu distincte; il y a une aire apicale brillante sur le lobe médian; elle est environ 3 fois plus courte que l'aire basale; il n'y a pas de concavités des deux côtés du lobe médian. Tempes densément ponctuées et réticulées. Troisième article des antennes 1,45–1,55 fois plus long que large, distinctement plus long que l'article 4 qui, comme les suivants, est légèrement plus court que large. Espace oculo-postocellaire lisse et brillant, avec, quelques gros points

et quelques petits points, séparés par des espaces presque partout beaucoup plus grands qu'eux-mêmes. Sur le mésonotum, les espaces sont à peu près aussi grands que les points. Abdomen assez brillant, à micro- et macropunctuation sur les 2 premiers tergites; la punctuation des tergites suivants est uniforme; les espaces entre les gros points sont en moyenne aussi grands que ces derniers sur le 1^{er} tergite, plus grands sur le 2^e tergite; petits points séparés par des espaces lisses à peu près aussi grands qu'eux-mêmes. Aire pygidiale à punctuation régulière (il y a cependant des points plus gros et plus petits), les espaces plus petits que les points. Sternite 2 moyennement bombé, avec des gros points assez serrés; les petits points sont très peu enfoncés, absents au milieu. Sternite 6 non caréné. Long. 4,3-5,1 mm.

Mandibules jaunes à la base, ferrugineuses au milieu et foncées à l'apex. Scapes jaunes en dessous et à l'apex de la face interne; pédicelle généralement taché de jaune à la face interne, parfois aussi l'article suivant à l'apex. Collare avec une bande jaune continue qui aboutit aux tubercules huméraux; ceux-ci également jaunes; scutellum avec une tache jaune à la base. Tergite 1, côtés du tergite 2 et les premiers sternites ferrugineux; les 3 ou 4 premiers tergites avec une paire de taches jaunes au bord postérieur. Fémurs 1 et 2 ferrugineux dans la moitié distale, avec une tache jaune (parfois peu distincte) à l'apex (à leur face inférieure); fémurs 3 ferrugineux. Tibias ferrugineux, souvent plus ou moins noircis (surtout sur les côtés), face externe jaune, sauf à la base et à l'apex. Tarses brun foncé, métatarses plus ou moins ferrugineux. Tegulae et plaques précostales brun ferrugineux, nervures des ailes brun foncé.

♂ — Distance interoculaire minimum 1,45-1,55 fois plus petite que l'écartement des yeux au vertex. Bord antérieur du clypéus régulièrement arqué, l'aire apicale très peu développée. Tempes légèrement brillantes, finement mais nettement ponctuées et réticulées. Troisième article des antennes 1,25-1,35 fois plus long que large, distinctement plus long que l'article 4 qui, comme les suivants, est beaucoup plus large que long; avant-dernier article légèrement bombé dans la moitié distale de son bord inférieur; il est carré et légèrement plus long que l'article précédent; le dernier article plus long que les deux précédents réunis; il est courbé (fig. 14), sans dent dans la concavité, tronqué droit à l'extrémité. Articles 4-12 des antennes avec une rangée de cils en dessous. Espace oculo-postocellaire à punctuation inégale, les espaces à peu près aussi grands que les points près des yeux et plus grands que les points près de l'ocelle. POL:OOL = 0,9-1,1. Collare presque

imponctué en arrière (sauf au milieu). Sur le mésonotum, les espaces sont en moyenne nettement plus grands que les points. Sculpture des tergites comme chez la ♀, les gros points du 2° tergite peuvent être séparés par des espaces un peu plus grands ou beaucoup plus grands qu'eux-mêmes. Sternites sans franges de poils; sternite 2 sans particularités notables, moyennement bombé, régulièrement arrondi en avant; la macropunctuation de ce sternite est assez serrée (les espaces plus grands que les points), les petits points sont absents au milieu et distincts mais très espacés sur les côtés. Sternite 6 régulièrement arqué; tergite 7 tridenté (fig. 15), la dent médiane étant plus courte et à peine plus large que les latéraux; son bord postérieur avec de longs poils. Métatarse 1 sans épines à l'apex du côté interne, avec des cils à peine plus forts qu'à la base. Long. 4,3 mm.

Mandibules jaunes à la base, ferrugineuses au milieu et foncées à l'apex. Clypéus noir. Scape jaune en dessous et à l'apex de la face interne; face interne du pédicelle jaune, souvent aussi une tache à la face interne de l'article suivant. Tubercules huméraux jaunes; collare avec une bande jaune continue et touchant les tubercules huméraux ou bien interrompue au milieu et n'aboutissant pas aux tubercules huméraux. Scutellum avec une tache jaune à la base. Sont ferrugineux: le tergite 1, les côtés du tergite 2, les sternites 1 et 2 (sauf à l'extrémité). Les 3 ou 4 premiers tergites avec une paire de taches jaunes au bord postérieur. Fémurs 1 et 2 noirs ou plus ou moins ferrugineux dans le tiers apical; face inférieure des fémurs 1 avec une grande tache jaune dans leur partie distale; fémurs 2 avec une tache semblable mais plus petite; fémurs 3 noirs (surtout à la base) et plus ou moins ferrugineux. Tibias ferrugineux en dessous, plus ou moins noircis sur les côtés et jaunes à la face externe; la strie jaune n'atteint ni la base ni l'extrémité des tibias. Tarses bruns, les métatarses plus ou moins ferrugineux. Tegulae et plaques précostales brun ferrugineux, nervures des ailes brun foncé.

La nouvelle espèce est voisine de *N. dimidiatus* JUR.; on la reconnaîtra à des détails de sculpture et de coloration.

Diploplectron FOX

D. palaearcticum PUL., 1958

Ghizèh: 15. XII 1 ♀; Saqqara: 24. III 2 ♀, 28. III 7 ♀ 2 ♂, 3. IV 18 ♀, 27. IV 10 ♀; Kom Oshime: 28. IV 1 ♀, 9. V 1 ♂, 13. V 1 ♀; Tell-el-Amarna: 17-18. III 1 ♀. J'ai encore examiné un mâle de Ben Youssef, 15. IV. 1934, leg. A. MOCHI (coll. DE BEAUMONT).

♀ — Le front peut être entièrement poli ou assez fortement chagriné. De fins poils aux angles antéro-latéraux du mésonotum sont parfois clairs, et les côtés de l'aire dorsale du propodéum sont plus ou moins chagrinés. Hanches 1 parfois sans points au centre. Les soies de la face inférieure des fémurs 1 peuvent être plus longues que le diamètre maximum de l'article. Le psammophore des fémurs 3 se compose de 6-8 épines. Le tergite 6 montre généralement des carènes latérales à l'apex. Chez certains exemplaires, la nervure radiotransversale touche l'apex du ptérostigma. Troisième article des antennes 2,8-3,3 (3,09) fois plus long que large, quatrième article — 2,00-2,50 (2,30) fois. POL:OOL = 1,00-1,25 (1,14), SOL:OOL = 0,77-1,00 (0,86). Les mesures ont été prises sur 10 exemplaires.

♂ — Sternite 2 avec des soies raides très éparées, claires ou brunées, aussi longues que l'espace interocellaire; les mêmes soies se trouvent, aux sternites suivants, à la base des dépressions apicales; il n'y a pas d'autres particularités notables aux sternites abdominaux. Troisième article des antennes, chez les 3 exemplaires examinés, respectivement 3,70, 3,33 et 3,33 fois plus long que large; dernier article 2,67, 2,33 et 2,17 fois plus long que large à la base. POL:OOL = 1,00, 1,11 et 1,20, SOL:OOL = 0,60, 0,55 et 0,60.

Liris F.

Les individus de ce genre ont été examinés par M. J. DE BEAUMONT (1961), sauf quelques spécimens dont 3 méritent d'être mentionnés ici.

L. memnonia SMITH

Assouan: 5. II 1 ♀.

C'est, après Le Caire, la deuxième station de cette espèce dans la région paléarctique. La femelle de *L. memnonia* SMITH se distingue encore de celle de *L. subfasciata* WALK., outre les caractères indiqués par DE BEAUMONT (1961), par les nervures des ailes antérieures (sauf la costale et la subcostale) beaucoup plus claires, d'un ferrugineux clair.

L. cleopatra BEAUM.

Louxor: 17. II 2 ♂.

Une différence très nette entre cette espèce et *L. atrata* SPIN. réside dans la sculpture des mésopleures; elle est très fine, très unie, chez *L. cleopatra* BEAUM., et beaucoup plus forte et moins régulière chez *L. atrata* SPIN.

Tachysphex KOHL*T. micans* RAD.

Abou Roasch: 17. V 1 ♀; Dahschour: 2. V 1 ♂, 8. V 2 ♀ 2 ♂, 16. V 3 ♀ 1 ♂.

Chez la femelle, le bord antérieur du clypéus forme un seul arc régulier; chez la plupart des espèces voisines, il y a un angle entre le bord antérieur du lobe médian et celui des lobes latéraux.

T. longipalpis BEAUM.

Ghizèh: 30. IV 2 ♂.

Outre les caractères indiqués par DE BEAUMONT (1947), le mâle de cette espèce se reconnaît encore facilement par la sculpture de ses sternites: les dépressions apicales de ceux-ci sont finement chagrinées, mais totalement dépourvues de points et de poils.

T. palopterus DAHLB.

Ghizèh: 15. IV 1 ♂, 20 et 25. IV 2 ♀, 30. IV 1 ♀, 10. V 2 ♀; Maadi: 29. III 7 ♂, 13. IV 3 ♂, 23. IV 2 ♂; Saqqara: 18. IV 1 ♂; Dahschour: 2, 8 et 16. V 3 ♂; Kom Oshime: 14. IV 1 ♂, 4. V 1 ♀ 1 ♂, 9. V 1 ♀.

Les femelles que j'attribue à cette espèce ont le clypéus assez semblable à celui de *T. panzeri* LIND., mais avec un décrochement peu développé, larges et peu profonds avant ses angles latéraux; le bord antérieur de la lamelle est moins arqué, presque droit, l'échancrure médiane plus petite que chez l'espèce mentionnée et le bord antérieur des lobes latéraux nettement moins concave (comme chez *T. cheops* BEAUM.); leur galéa est légèrement brillante, finement chagrinée, densément ponctuée. La pilosité du thorax est à peine plus fournie que chez la forme européenne de *T. panzeri* LIND.; la face postérieure du propodéum est plus finement striée que chez cette espèce; les faces latérales ne montrent pas de stries; elles présentent une zone glabre en avant. La pruinosité argentée n'est pas développée au milieu du 4^e tergite; sur le 5^e, elle est absente ou développée seulement sur les côtés. Dépression apicale du 5^e tergite imponctuée, dépourvue de pruinosité en arrière. L'aire pygidiale est brillante, presque aussi large que chez *T. pygidialis* KOHL, plane (non déprimée en arrière). Les trois derniers segments abdominaux brun ferrugineux, parfois entièrement noirs ou ferrugineux. Fémurs noirs ou ferrugineux, tibias ferrugineux; tarses

1 ferrugineux; au moins les métatarses 2 et 3 sont foncés (presque noirs); sur les articles des tarses foncés, les épines sont également de cette couleur.

Il résulte de cette description que mes femelles diffèrent en plusieurs points (ponctuation de la galéa, pilosité du thorax, coloration des tarses) de celles que DE BÉAUMONT (1955) a attribuées à *T. palopterus* DAHLB. S'agit-il d'une variation individuelle ou de différences spécifiques?

Le mâle de cette espèce se distingue de celui de *T. panzeri* LIND. et de *T. pygidialis* KOHL par la sculpture de l'échancrure des fémurs 1. Chez *T. palopterus* DAHLB., cette échancrure est absolument lisse et glabre, brillante; chez les deux autres espèces, elle est mate, finement chagrinée et couverte d'une pruinosité extrêmement fine et courte mais cependant bien visible sous certains angles. La pilosité de la face, chez le mâle, n'est pas constamment dorée: elle est argentée chez les plus petits exemplaires (environ 5,5 mm.) de ma collection.

T. pygidialis nattereri KOHL

Abou Roasch: 24. IV 1 ♂, 6. V 2 ♂, 11. V 7 ♂, 17. V 2 ♂; Ghizèh: 30. III 1 ♀, 15. IV 2 ♀, 20. IV 2 ♀ 1 ♂, 25. IV 3 ♂, 30. IV 1 ♀, 5. V 1 ♂, 10. V 2 ♀ 1 ♂, 15. V 6 ♂; Maadi: 13. IV 1 ♀, 23. IV 2 ♂, 18. V 2 ♂; Saqqara: 27. IV 1 ♂; Dahschour: 16. V 1 ♀; Kom Oshime: 19. IV 9 ♂, 22. IV 6 ♂, 28. IV 6 ♂, 4. V 8 ♂, 9. V 6 ♂, 13. V 11 ♂; Louxor: 27. II 1 ♀.

Les petits mâles ont l'abdomen et les pattes plus ou moins foncés, souvent entièrement noirs; la pilosité de la face, dorée chez les grands individus, est argentée chez les petits.

T. ptah sp. n.

Holotype: 1 ♂, Abou Roasch, 1. XI. 1957. Allotype: 1 ♀, même origine, 3. XI. 1957. Paratypes: Abou Roasch: 16. IV 1 ♂, 24. IV 1 ♀, 6. V 1 ♂; Ghizèh: 15. IV 1 ♀ 3 ♂, 20. IV 1 ♂, 10. V 2 ♂.

♀ — La lamelle du clypéus est légèrement arquée, sans décrochement avant ses angles latéraux, avec une échancrure médiane large mais peu profonde; le bord antérieur des lobes latéraux nettement concave, comme chez *T. panzeri* LIND. La galéa des maxilles, finement et régulièrement microréticulée, ne présente que quelques points isolés peu distincts; elle est 1,35 fois plus longue que le scape sans son bouton articulaire. La distance interoculaire minimum est insensiblement plus longue que le 3^e article des antennes; ce dernier est 2,6–2,8 fois plus long que large.

Tête peu développée derrière les yeux, nettement moins que chez *T. panzeri* LIND. Mésonotum chagriné, mat, avec une fine ponctuation qui disparaît dans sa partie postérieure; elle est distincte au milieu, où les espaces sont à peu près aussi grands que les points. Propodéum à sculpture fine, sans stries sur les faces latérales, à striation moins forte que chez *T. panzeri* LIND. sur sa face postérieure. La pilosité du thorax est un peu plus forte que chez la race européenne de *T. panzeri* LIND. Face dorsale du propodéum avec des poils aussi longs que le diamètre de l'ocelle antérieur, faces latérales avec une zone antérieure glabre. Tergites 1-3 avec des bandes distinctes de pruinosité argentée; les tergites suivants avec de la pruinosité foncée seulement. Tergite 5 avec une ponctuation éparse, moins dense et moins distincte que chez *T. panzeri* LIND.; la dépression apicale de ce tergite avec de très petits points et avec une pruinosité peu dense. Aire pygidiale aussi large que chez *T. pygidialis* KOHL, brillante, légèrement bombée, avec de petits points disséminés. Fémurs postérieurs 2,9-3,1 fois plus longs que larges; aux tarses 3, le 2^e article est 2,8 fois plus long que large à l'extrémité, l'article 4 est profondément échancré, comme chez *T. panzeri* LIND., et le métatarse n'a pas d'épines sur sa face dorsale. Long. 8-9 mm.

Tête et thorax noirs, mandibules jaune ferrugineux au milieu; les trois premiers segments abdominaux ferrugineux, les suivants noirs. Fémurs noirs (sauf à l'apex) ou plus ou moins ferrugineux; tibias et tarses ferrugineux. Ailes hyalines.

♂ — Lobe médian du clypéus légèrement arqué au bord antérieur, avec une échancrure médiane peu marquée, large et peu profonde. Galéa 1,20-1,27 fois plus longue que le scape sans son bouton articulaire, sculptée comme chez la femelle. La distance interoculaire minimum est 1,3-1,6 fois plus longue que l'article 3 des antennes qui est 1,9-2,3 fois plus long que large. Sculpture du thorax comme chez la femelle, seulement la ponctuation du mésonotum est moins distincte. Tergites 1-3 avec des bandes de pruinosité argentée; ponctuation et pilosité des segments 4-6 assez denses sur les tergites, les espaces sont environ 2 fois plus grands que les points. L'échancrure des fémurs 1 relativement petite, chagrinée et couverte de pruinosité très fine. Article 2 du tarse 1 avec 2 épines, rarement avec 3, dont une au moins est plus longue que l'article 3. Volsella: fig. 16. Long. 5-7,5 mm.

Tête et thorax noirs; les deux premiers sternites et les trois tergites ferrugineux, les suivants noirs. Fémurs noirs à la base, ferrugineux à l'apex; la couleur ferrugineuse peut envahir la moitié de l'article. Tibias et tarses ferrugineux. Ailes hyalines. Pilosité de la face argentée.

Cette espèce peut être aisément reconnue surtout à la sculpture et à la longueur de sa galéa. Chacune des espèces voisines (ce sont surtout *T. panzeri* LIND., *T. cheops* BEAUM., *T. palopterus* DAHLB., *T. pygidialis* KOHL, *T. atlanteus* BEAUM. et *T. brevipecten* BEAUM.) s'en distingue par plusieurs autres caractères.

T. catharinae sp. n.

Holotype: 1 ♂; Sinaï mér., Couvent Ste Catherine, 10. IV 1958.
Allotype: 1 ♀, même origine et date. Paratypes: 2 ♂, même origine et date; 1 ♂, Abou Roasch, 16. IV; 1 ♂, Ghizèh, 15. IV.

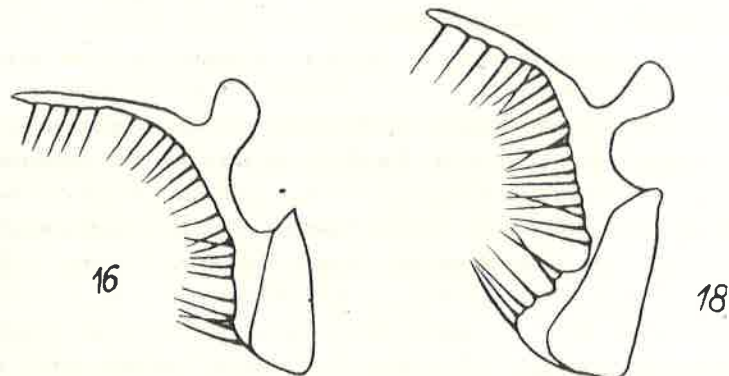
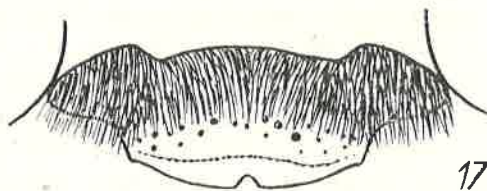


Fig. 16. *Tachysphex ptah* sp. n. — volsella.

Fig. 17-18. *Tachysphex catharinae* sp. n.; 17 — clypéus de la ♀, 18 — volsella.

♀ — Lamelle du clypéus (fig. 17) légèrement arquée, avec une échancrure distincte au milieu, sans décrochements avant ses angles latéraux. Le bord antérieur des lobes latéraux moins concave que chez *T. panzeri* LIND., mais davantage que chez *T. cheops* BEAUM. Galéa légèrement

brillante, finement chagrinée, avec des points épars peu distincts; elle égale 0,9 du scape sans son bouton articulaire. La distance interoculaire minimum égale 1,39 de l'article 3 des antennes qui est 2,6 fois plus long que large. Tête un peu moins développée derrière les yeux que chez la race européenne de *T. panzeri* LIND. ou de *T. pygidialis* KOHL, à peu près comme chez *T. cheops* BEAUM. Mésonotum brillant, irrégulièrement et distinctement chagriné, à ponctuation superficielle; les espaces sont, au milieu, un peu plus grands que les points. Sculpture du propodéum fine, faces latérales sans stries; striation de la face postérieure plus fine que chez *T. panzeri* LIND. Pilosité du thorax très faible, moins développée que chez la race européenne de *T. panzeri* LIND., face dorsale du propodéum avec des poils deux fois plus courts que le diamètre de l'ocelle antérieur; faces latérales du propodéum avec une zone glabre en avant. Tergites 1-4 avec des bandes peu distinctes de pruinosité argentée, développées seulement sur les côtés. Tergite 5 finement chagriné, brillant, avec des points très fins est très épars (les espaces entre eux sont plusieurs fois plus grands que leur diamètre); corrélativement, la pruinosité de ce tergite est très épars elle aussi; la dépression apicale de ce tergite est peu nettement limitée, imponctuée, entièrement glabre. Aire pygidiale nettement plus large et plus bombée que chez *T. pygidialis* KOHL, lisse et brillante, avec des points très fins et très espacés. Fémurs postérieurs 3 fois plus longs que larges; aux tarsi 3, le 2^e article est 2,5 fois plus long que large à l'extrémité, l'article 4 un peu moins long que chez *T. panzeri* LIND., et le métatarse ne porte pas d'épines sur sa face dorsale. Long. 7,5 mm.

Tête et thorax noirs, mandibules ferrugineuses au milieu; les trois premiers segments abdominaux ferrugineux, les suivants noirs. Fémurs noirs (sauf à l'extrémité); tibias noirs (sauf à la base), tibias 1 avec une zone brune en dessous, tibias 3 avec une zone de cette couleur à la face interne; tarsi bruns, métatarses 2 brun foncé, métatarses 3 presque noirs. Ailes hyalines.

♂ — Lobe médian du clypéus légèrement arqué ou presque droit, avec une petite échancrure médiane ou sans échancrure (chez le plus petit exemplaire). Galéa aussi longue que le scape sans son bouton articulaire; elle est chagrinée et montre des points épars, très petits et très peu distincts. La distance interoculaire minimum est 1,3-2,1 fois plus grande que la longueur de l'article 3 des antennes, qui est 1,7-2,1 fois plus long que large. Mésonotum chagriné, avec de fins points superficiels; les espaces qui les séparent sont nettement plus grands qu'eux-mêmes chez les grands individus et à peu près aussi grands chez les

petits. Sculpture du propodéum fine, faces latérales sans stries, avec une zone glabre en avant; face postérieure à striation plus fine que chez *T. panzeri* LIND. Pilosité du thorax très faible, encore moins développée que chez la race européenne de *T. panzeri* LIND.; les poils de la face dorsale du propodéum sont 2 fois plus courts que le diamètre de l'ocelle antérieur. Les tergites 1-3 avec des bandes peu développées de pruinosité argentée. Les tergites 5 et 6 et la partie postérieure des sternites 4-6 à ponctuation très espacée; corrélativement, la pruinosité est très peu dense elle aussi (les cils sont nettement isolés l'un de l'autre); dépression apicale du 6^e tergite imponctuée et glabre. Echancre des fémurs 1 comme chez *T. panzeri* LIND., chagrinée et couverte de très fine pruinosité. Article 2 du tarse 1 généralement avec une épine, plus courte que l'article 3; chez le plus grand spécimen, il y a 2 épines dont la distale est plus longue que l'article 3. Volsella: fig. 18. Long. 5-7,5 mm.

Tête, thorax et abdomen noirs; mandibules noires ou d'un ferrugineux foncé au milieu, tergite 1 parfois un peu ferrugineux. Fémurs noirs. Tibias noirs ou en partie ferrugineux. Au moins les derniers articles des tarsi sont ferrugineux. Ailes hyalines. Pilosité de la face argentée chez les petits exemplaires, dorée chez les grands.

Cette espèce fait partie du groupe de *T. panzeri* LIND.; on la reconnaîtra facilement à la ponctuation éparse du mésonotum et des derniers tergites; on saura donc distinguer la femelle même si la forme particulière de l'aire pygidiale n'était qu'une malformation chez mon exemplaire.

T. mycerinus BEAUM.

Ghizèh: 13 et 25. III 2 ♂, 30. III 5 ♂, 15. IV 4 ♂, 20. IV 2 ♀ 6 ♂, 25 et 30. IV 2 ♀, 5. V 2 ♀ 2 ♂, 10. V 2 ♂; Maadi: 25 et 29. III 2 ♂, 13. IV 1 ♀ 1 ♂, 18. V 3 ♂; Dahschour: 2. V 2 ♂, 8. V 3 ♂, 16. V 4 ♂; Kom Oshime: 2. IV 1 ♀.

La pilosité de la face est entièrement argentée chez les petits mâles.

T. geniculatus SPIN.

Lyrops geniculata. — SPINOLA, 1838, Ann. Soc. entom. France, 7, p. 480. Loc. typ.: Egypte. Type: Turin.

No. 8 — DE BEAUMONT, 1940, Bull. Soc. Fouad I^{er} Entom., 24, p. 168.

Lyrops geniculatus — DE BEAUMONT, 1952, Boll. Ist. Mus. zool. Univ. Torino, 3, p. 48.

T. ? geniculatus SPIN. — DE BEAUMONT, 1952, Boll. Soc. Venez. St. nat., 6, p. 190.

Le groupe de *T. luxuriosus* MORICE doit porter le nom de *T. geniculatus* SPIN., puisque cette dernière espèce fut décrite avant les autres. Le groupe comprend, outre les 3 espèces actuellement connues, encore

deux espèces inédites: *T. niloticus* sp. n. et *T. seth* sp. n. Les mâles de *T. geniculatus* SPIN., de *T. niloticus* sp. n. et de *T. horus* BEAUM. sont extrêmement variables dans toutes leurs particularités externes et ne peuvent être distingués avec certitude que par la forme de la volsella et de la valve du pénis; à ce que j'ai pu voir, ces deux structures sont étonnamment stables et leur variation est imperceptible. L'étude de mon matériel m'a montré que le système du groupe élaboré par DE BEAUMONT (1947) doit être en partie modifié.

Abou Roasch: 10. XI 1 ♀, 26. III 3 ♀ 2 ♂, 31. III 1 ♀ 1 ♂, 4. IV 1 ♀ 1 ♂; Ghizèh: 25. III 3 ♀ 1 ♂, 30. III 5 ♀ 2 ♂; Ouadi Digla: 23. III 1 ♀; Maadi: 29. III 1 ♀; Saqqara: 24. III 6 ♀ 2 ♂, 28. III 2 ♀ 2 ♂, 3. IV 1 ♀; Tell-el-Amarna: 8. III 2 ♀ 1 ♂, 17-18. III 5 ♀ 1 ♂, 20. III 4 ♀; Abydos: 3-5. III 11 ♀ 7 ♂; Louxor: 25 et 26. II 2 ♂.

♀ — Poils du vertex dressés, à peu près aussi longs que le diamètre de l'ocelle antérieur; la plupart des poils du mésonotum sont dressés, formant un angle d'environ 45° avec la surface. La pilosité couchée est beaucoup plus faible que chez les autres espèces du groupe et laisse voir la sculpture en avant de l'ocelle antérieur, aux angles antérieurs du mésonotum et sur les mésopleures. Tergite 5 sans pruinosité argentée ou avec un peu de pruinosité sur les côtés. Faces latérales du propodéum avec une zone antérieure glabre qui montre une striation longitudinale distincte. Tergite 6 avec une aire pygidiale convexe et brillante. Long. 7,5-12,5 mm.

Clypéus noir ou la lamelle est plus ou moins ferrugineuse. Abdomen noir ou plus ou moins ferrugineux; chez les individus les plus clairs, les segments 1 et 2 sont ferrugineux; les dépressions apicales des tergites toujours décolorées. Fémurs noirs, sauf à l'extrémité; tibias foncés, ferrugineux à la base et à l'apex; il y a parfois des zones ferrugineuses, plus grandes sur les tibias 2 que sur les tibias 1; tibias 3 parfois en majeure partie ferrugineux, mais les taches noires ne disparaissent jamais entièrement.

♂ — Poils du vertex dressés, ceux du mésonotum dressés ou inclinés vers l'arrière. Faces latérales du propodéum avec une zone antérieure glabre. Epines du peigne plus longues que l'article suivant du tarse, article 2 avec deux ou trois épines; chez les exemplaires de Louxor, le peigne est faible et court et ses épines ne dépassent pas la longueur de l'article suivant du tarse. Sternite 8 de forme variable, la saillie dans son échancrure apicale peut être simple (comme chez *T. seth* sp. n.), divisée (comme chez *T. luxuriosus* MORICE) ou nulle. Volsella et valve du pénis représentées sur les fig. 19 et 20. Long. 6,5-9,5 mm.

Clypéus noir ou la lamelle est brune. Abdomen généralement noir, parfois les 2 premiers segments sont ferrugineux. Fémurs noirs, sauf à l'extrémité; tibias noirs, sauf vers les deux extrémités, tibias 3 parfois ferrugineux à la face supérieure. Tarses ferrugineux.

L'espèce est en moyenne beaucoup plus foncée que les autres: la correspondance des sexes est donc facile à établir.

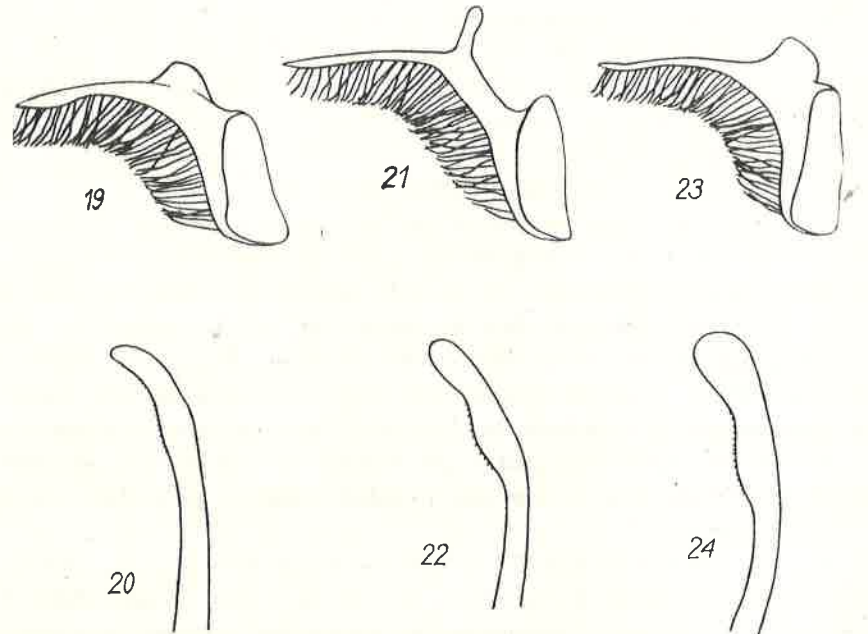


Fig. 19-24. Volsella et valve du pénis; 19 et 20 — *Tachysphex geniculatus* SPIN., 21 et 22 — *Tachysphex niloticus* sp. n., 23 et 24 — *Tachysphex horus* BEAUM.

***T. niloticus* sp. n.**

Holotype: 1 ♂, Abou Roasch, 16. IV. 1958. Allotype: 1 ♀, Abou Roasch, 16. IV. 1958. Paratypes: Abou Roasch: 4. IV 2 ♂, 16. IV 2 ♂; Ghizèh: 25. IV 1 ♂; Saqqara: 3. IV 1 ♀, 18. IV 2 ♂; Abydos: 3-5. III 2 ♀ 2 ♂.

♀ — Poils du vertex pas tout à fait couchés, ceux de l'impression postocellaire en partie dressés. Poils du mésonotum couchés, certains d'entre eux plus ou moins dressés. La pilosité dense cache entièrement ou laisse difficilement voir la sculpture en avant de l'ocelle antérieur, aux angles antérieurs du mésonotum et sur les mésopleures. Tergite 5 sans pruinosité argentée ou celle-ci est peu développée et sur les côtés seulement. Faces latérales du propodéum avec une zone antérieure

glabre qui montre une striation longitudinale. Tergite 6 avec une aire pygidiale bombée et brillante. Long. 8,5-10 mm.

Clypéus noir ou sa lamelle est plus ou moins ferrugineuse. Abdomen entièrement ferrugineux chez l'exemplaire d'Abou Roasch; chez un individu d'Abydos, cette couleur n'envahit que les deux premiers segments. Fémurs noirs (sauf à l'extrémité), tibias et tarses ferrugineux, tibias 1 et 2 souvent plus ou moins obscurcis.

♂ — Poils du vertex dressés, ceux du mésonotum plus ou moins inclinés vers l'arrière. Faces latérales du propodéum avec une zone antérieure glabre. Epines du peigne distinctement plus longues que l'article suivant du tarse, article 2 avec deux ou trois épines. Sternite 8 de forme variable, la saillie de son échancrure apicale peut être simple ou nulle. Volsella et valve du pénis représentées sur les fig. 21 et 22. Long. 6-7,5 mm.

Clypéus noir ou sa lamelle est un peu rembrunie en avant. Abdomen parfois entièrement noir, généralement les 2 premiers segments sont ferrugineux. Fémurs noirs (sauf à l'extrémité). Tibias parfois noirs (sauf vers les deux extrémités) ou plus ou moins ferrugineux; tibias 3 parfois entièrement ferrugineux. Tarses ferrugineux.

A ce que j'ai pu voir, la femelle de *T. niloticus* sp. n. ne diffère de celle de *T. horus* BEAUM. que par son aire pygidiale plus bombée et la pruinosité de son 5^e tergite plus faible. On se demandera naturellement, si des différences aussi faibles ont une valeur spécifique réelle et si elles expriment quelque chose de plus que la variation individuelle. Je puis répondre que ces caractères sont très peu variables chez *T. geniculatus* SPIN. et chez *T. luxuriosus* MORICE, donc chez les espèces dont j'ai examiné des séries un peu plus longues.

La pilosité de la partie inférieure des fémurs 1 et 2 est un peu plus faible chez cette espèce que chez *T. horus* BEAUM., ce qui permet d'établir la correspondance des sexes.

T. horus BEAUM.

T. horus nov. spec. — DE BEAUMONT, 1940, Bull. Soc. Fouad I^{er} Entom., 24, p. 168,

♀ (nec ♂). Loc. typ.: Egypte (Héliopolis). Type: ? Ministère de l'Agriculture d'Egypte.

T. horus DE BEAUMONT — DE BEAUMONT, 1947, Bull. Soc. Fouad I^{er} Entom., 31, ♀ (nec ♂).

Abou Roasch: 31. III 3 ♂ (dont j'ai désigné un comme allotype), 4. IV 11 ♂, 16. IV 1 ♀ 1 ♂, 29. IV 1 ♀ 2 ♂; Ghizèh: 15. IV 1 ♀ 1 ♂, 20. IV 1 ♀, 25. IV 3 ♀, 15. V 2 ♀; Maadi: 13 et 23. IV 2 ♀; Saqqara: 3. IV 1 ♂, 18. IV 2 ♀ 1 ♂.

♀—Poils du vertex pas tout à fait couchés, ceux de l'impression post-ocellaire dressés (ils sont peu distincts parfois). Poils du mésonotum couchés, certains d'entre eux plus ou moins dressés. La pilosité dense cache entièrement la sculpture aux angles antérieurs du mésonotum, sur les mésopleures et (sauf un cas) en avant de l'ocelle antérieur. Tergite 5 avec de la pruinosité argentée bien développée. Faces latérales du propodéum avec une zone antérieure glabre qui présente une striation longitudinale. Tergite 6 avec une aire pygidiale presque plane, généralement brillante. Long. 8–10 mm.

Clypéus noir, avec la lamelle ferrugineuse. Abdomen ferrugineux, les 3 ou les 2 derniers segments noirs. Fémurs noirs, sauf à l'extrémité; tibias et tarses ferrugineux, tibias 1 et 2 souvent plus ou moins obscurcis.

♂ (inédit) — Poils du vertex dressés, ceux du mésonotum inclinés vers l'arrière. Faces latérales du propodéum avec une zone glabre en avant. Épines du peigne aussi longues ou un peu plus longues que l'article suivant du tarse, article 2 avec une ou deux épines. Sternite 8 de forme variable, la saillie de son échancrure apicale est simple, divisée ou nulle. Volsella et valve du pénis représentées sur les fig. 23 et 24. Long. 5,5–8 mm.

Clypéus noir ou la lamelle est ferrugineuse. Abdomen parfois entièrement noir, généralement les deux ou trois premiers segments ferrugineux. Fémurs noirs, sauf à l'extrémité. Tibias noirs (sauf vers les deux extrémités) ou plus ou moins ferrugineux, tibias 3 souvent presque entièrement ferrugineux et obscurcis en dessous seulement. Tarses ferrugineux.

Le type de *T. horus* BEAUM. est une femelle. Le mâle que DE BEAUMONT (1940, 1947) attribuait à cette espèce (et que l'on identifie facilement d'après la structure de l'organe copulateur) a les faces latérales du propodéum entièrement recouvertes de fine pilosité couchée et les poils du vertex relativement beaucoup moins dressés; aussi je ne doute pas qu'il appartienne à une autre espèce (que je nomme *T. seth* sp. n.); le vrai mâle de *T. horus* BEAUM. était jusqu'à présent inconnu.

L'examen d'une femelle typique que M. J. DE BEAUMONT a bien voulu mettre à ma disposition m'a permis d'interpréter correctement cette espèce.

T. seth sp. n.

T. horus nov. spec. — DE BEAUMONT, 1940, Bull. Soc. Fouad I^{er} Entom., 24, p. 168,

♂ (nec ♀).

T. horus DE BEAUMONT, 1947, Bull. Soc. Fouad I^{er} Entom., 31, ♂ (nec ♀).

Holotype: 1 ♂, Kom Oshime, 19. IV. 1958. Allotype: 1 ♀, Kom Oshime, 19. IV. 1958. Paratypes: Dahschour: 16. V 1 ♂; Kom Oshime: 2. IV 1 ♀, 19. IV 1 ♂, 22. IV 3 ♂, 4. V 2 ♂, 13. V 1 ♂.

♀ — Poils du vertex et du mésonotum couchés. La pilosité dense cache entièrement la sculpture en avant de l'ocelle antérieur, aux angles antérieurs du mésonotum et sur les mésopleures. La pruinosité argentée du 5^e tergite bien développée, bien que un peu plus faible que chez *T. luxuriosus* MORICE. Faces latérales du propodéum entièrement couvertes de poils couchés, sans zone glabre en avant. Tergite 5 avec une aire pygidiale plate, chagrinée à la base. Long. 11 mm.

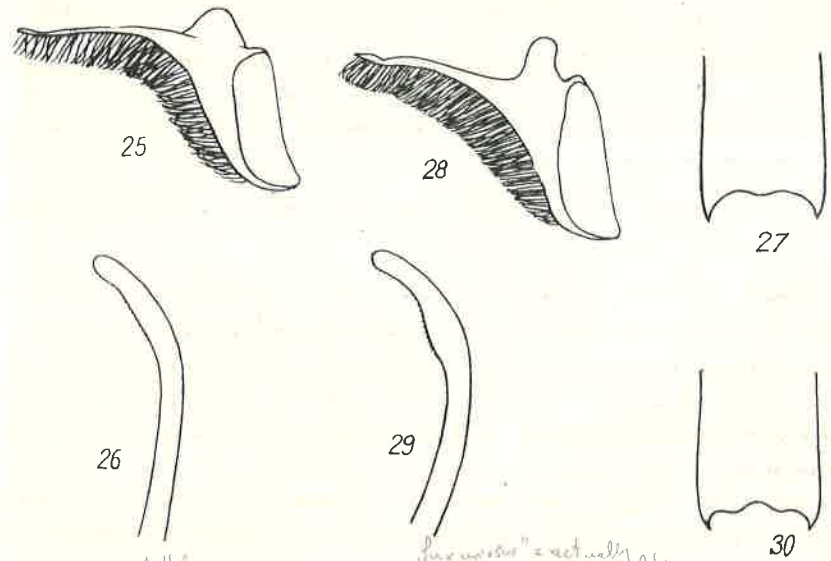


Fig. 25-27. *Tachysphex seth* sp. n. ♂; 25 — volsella, 26 — valve du pénis, 27 — huitième sternite.

Fig. 28-30. *Tachysphex luxuriosus* MORICE ♂; 28 — volsella, 29 — valve du pénis, 30 — huitième sternite.

Clypéus, abdomen, tibias et tarsi ferrugineux; hanches et trochanters noirs. La couleur noire envahit les fémurs 1, la majeure partie des fémurs 2 et à peu près la moitié des fémurs 3 chez un exemplaire examiné; chez les autres, la moitié basale des fémurs 1 et 2 est noire et les fémurs 3 sont obscurcis à la base.

♂ — Poils du vertex et du mésonotum couchés. Faces latérales du propodéum entièrement couvertes de poils couchés, sans zone glabre en avant. Peigne long, ses épines plus longues que l'article suivant du

tarse; article 2 avec deux ou trois épines. Sternite 8 avec une saillie médiane dans son échancrure apicale (fig. 27). Volsella et valve du pénis représentées sur les fig. 25 et 26. Long. 6,5–10 mm.

Clypéus en bonne partie ferrugineux, souvent la lamelle seule est ferrugineuse. Abdomen ferrugineux, sauf les 3 ou les 4 derniers segments, qui sont noirs. Hanches, trochanters et fémurs noirs, ces derniers ferrugineux à l'extrémité; fémurs 3 parfois entièrement ferrugineux. Tibias et tarses ferrugineux, tibias 1–3 parfois en partie obscurcis.

T. luxuriosus MORICE

T. luxuriosus, sp. n. — MORICE, 1897, Trans. entom. Soc. London, p. 30. ♀. Loc. typ.: Egypte. Type: Oxford.

T. luxuriosus MORICE — DE BEAUMONT, 1940, Bull. Soc. Fouad I^{er} Entom., 24, p. 167.

T. luxuriosus MORICE — HONORÉ, 1942, Bull. Soc. Fouad I^{er} Entom., 26, p. 56.

T. luxuriosus MORICE — DE BEAUMONT, 1947, Bull. Soc. Fouad I^{er} Entom., 31, p. 169.

T. luxuriosus MORICE — DE BEAUMONT, 1956, Bull. Brit. Mus. (Nat. Hist.), Entom., 4, p. 197.

T. luxuriosus MORICE — DE BEAUMONT, 1960, Bull. Brit. Mus. (Nat. Hist.), Entom., 9, p. 238.

Maadi: 23. IV 1 ♀; Kom Oshime: 2. IV 2 ♂, 14. IV 1 ♀, 19. IV 2 ♀ 13 ♂, 22. IV 3 ♀ 2 ♂, 28. IV 3 ♀, 4. V 1 ♀, 13. V 2 ♀.

♀ — Poils du vertex et du mésonotum couchés. La pilosité dense cache entièrement la sculpture avant l'ocelle antérieur, aux angles antérieurs du mésonotum et sur les mésopleures. La pruinosité argentée est bien développée sur le 5^e tergite. Faces latérales du propodéum entièrement recouvertes de poils couchés, sans zone glabre en avant. Tergite 6 brillant, convexe, avec une rangée de petits points de chaque côté, mais sans une aire pygidiale quelconque. Long. 9–12,5 mm.

Clypéus, abdomen et toutes les pattes ferrugineux; hanches 1 ferrugineuses ou noires; fémurs 1 parfois un peu obscurcis à la base.

♂ — Poils du vertex et du mésonotum couchés. Faces latérales du propodéum entièrement recouvertes de poils couchés, sans zone glabre en avant. Peigne plus court que chez *T. seth* sp. n., ses épines généralement plus courtes, parfois un peu plus longues, que l'article suivant du tarse; article 2 avec une ou deux épines. Sternite 8 montrant une double saillie dans son échancrure apicale (fig. 30). Volsella et valve du pénis représentées sur les fig. 28 et 29. Long. 8,5–10,5 mm.

Clypéus, abdomen, tibias et tarses ferrugineux. Hanches noires, fémurs noirs, sauf à l'extrémité; chez les exemplaires les plus clairs, les fémurs 3 sont entièrement ferrugineux.

***T. julliani* KOHL**

Maadi: 18. V 1 ♂.

C'est le troisième exemplaire de cette espèce cité d'Egypte. Les deux autres ont été trouvés à Wadi Hoff et à Wadi Abou Handal.

***T. vestitus* KOHL**

Abou Roasch: 4. IV 1 ♂, 16. IV 2 ♂, 24. IV 1 ♂; Saqqara: 27. IV 1 ♂; Dahschour: 8. V 3 ♀ 1 ♂, 16. V 1 ♀ 2 ♂; Kom Oshime: 14. IV 1 ♂, 19. IV 1 ♂, 22. IV 1 ♀ 3 ♂, 28. IV 2 ♂; Ouadi Halfa: 8-10. II 1 ♂.

Espèce observée pour la première fois en Nubie.

***T. deserticola* BEAUM.**

Abou Roasch: 16. IV 1 ♂; Saqqara: 27. IV 1 ♀; Dahschour: 8. V 1 ♂; Kom Oshime: 9. V 1 ♀.

Espèce connue de l'oasis de Khargèh, du désert nubique et de Cyrénaïque.

***T. nitidissimus* BEAUM.**

Maadi: 29. III 1 ♀; Sinaï: Oasis Feiran, 7. IV 2 ♀ 1 ♂.

La femelle de Maadi ne mesure que 5,2 mm; la face dorsale de son propodéum est striée à la base seulement et la striation des faces latérales est excessivement fine. Les femelles du Sinaï ont la taille plus grande (7,5 mm.) et la striation du propodéum normale; la proportion caractéristique des articles des antennes chez le mâle, de même que la structure de son organe copulateur, montrent sans doute que la forme sinaïtique appartient à cette espèce.

***T. cabrerai* MERCET**

Abou Roasch: 6 et 11. V 2 ♂, 17. V 1 ♀; Ghizèh: 5. V 1 ♂, 10. V 1 ♀; Maadi: 13. IV 2 ♂, 18. V 1 ♂; Dahschour: 2. V 1 ♀, 16. V 1 ♂; Kom Oshime: 14. IV 1 ♂, 19. IV 1 ♀ 1 ♂, 22. IV 1 ♂, 13. V 2 ♀ 4 ♂.

Le mâle de cette espèce se reconnaît immédiatement à son huitième sternite tridenté à l'apex, particularité qu'on n'a pas encore signalée.

***T. mediterraneus* KOHL**

Ghizèh: 17. XI 1 ♀.

L'espèce est nouvelle pour la faune d'Egypte.

T. mediterraneus KOHL partage avec *T. plicatus* COSTA une particularité qui n'a pas encore été notée et qui n'existe pas chez les autres espèces du bassin méditerranéen; il s'agit d'une dent à l'arête supéro-interne des hanches 3, dans leur partie basale. Cette observation confirme l'opinion de DE BEAUMONT (1936) sur la proche parenté des deux espèces et sur leur position quelque peu isolée.

***T. yarrowi* BEAUM.**

Abou Roasch: 26. III 1 ♀ 1 ♂, 31. III 2 ♂ (dont j'ai désigné l'un comme allotype); Ghizèh: 15. V 1 ♂. J'ai aussi examiné un paratype de cette espèce.

Chez la femelle, le vertex présente des poils dressés à peu près aussi longs que le diamètre de l'ocelle antérieur; les points du vertex sont séparés par des espaces par endroits nettement plus grands qu'eux-mêmes. Les poils des mésopleures sont aussi forts que ceux des métapleures. Les faces latérales du propodéum montrent une zone glabre le long des métapleures. Les poils du 1^{er} tergite sont presque aussi longs que le diamètre de l'ocelle antérieur; le 2^e sternite est lisse et glabre, avec des zones latérales densément pointillées et couvertes de pruinosité; les zones pointillées, de plus en plus larges vers l'avant, ne se touchent pas au bord antérieur du sternite. Hanches 3 avec une concavité caractéristique à la face externe.

♂ (inédit) — Distance interoculaire minimum 1,5–1,7 fois plus courte que la largeur du clypéus, égalant les 4 premiers articles du funicule et 3,4–4,7 fois plus longue que l'article 3 des antennes; celui-ci 1–1,15 fois plus long que large, plus court que l'article 4; celui-ci distinctement plus court que l'article 5. Lobe médian du clypéus avec une aire apicale brillante, aussi longue que l'aire basale; la lamelle est largement et régulièrement arquée (fig. 31). Front normal, sans protubérance, vertex très légèrement concave, presque plat. Tête très étroite derrière les yeux. La pilosité couchée cache entièrement (ou presque) la sculpture des lobes latéraux du clypéus et de la moitié inférieure du front; la sculpture des tempes facilement visible; le front est brillant et densément ponctué en avant de l'ocelle antérieur, à espaces plus petits que les points. Vertex avec des poils dressés, à peu près aussi longs que le diamètre de l'ocelle antérieur; impression postocellaire distincte, en forme d'un très large V (presque transversale), reliée au tubercule ocellaire par une fine impression longitudinale; la ponctuation est fine, les espaces à peu près aussi grands que les points. Pilosité du thorax bien développée,

mais laissant facilement voir la sculpture même aux angles antérieurs du mésonotum et sur les mésopleures; les poils sont droits et non laineux. Les poils de la face dorsale du propodéum sont inclinés en avant dans la partie médiane; ils sont environ 1,5 fois plus longs que le diamètre de l'ocelle antérieur. Poils des métapleures aussi forts que ceux des mésopleures. Faces latérales du propodéum avec une zone glabre le long des métapleures. Mésonotum et mésopleures brillants, distinctement ponctués; les espaces sont plus grands que les points sur le mésonotum, un peu plus petits que les points sur les mésopleures. Face dorsale du propodéum chagrinée, finement et irrégulièrement réticulée; face postérieure avec fine striation transversale, parfois presque effacée. La partie postérieure (presque horizontale) du mésosternum assez longue. Propodéum plus arrondi en arrière que chez *T. erythropus* SPIN., sa face postérieure plus inclinée que chez cette espèce. Poils du 1^{er} tergite nettement plus courts que le diamètre de l'ocelle antérieur. Sternites abdominaux finement et densément ponctués, avec une courte pruinosité. Bord postérieur du 8^e sternite avec une dent médiane plus ou moins développée. Volsella et valve du pénis: fig. 32 et 33. Echancrure des fémurs 1 assez profonde, sans particularités notables. Peigne du tarse 1 bien développé, les épines des articles 1-3 plus longues que l'article suivant; articles 2 avec 1 ou 2 épines. Avant-dernier article du tarse postérieur 1,25 fois plus long que large, à épines plus courtes que sa largeur apicale. Cellule radiale peu tronquée à l'extrémité, comme chez la femelle. Long. 3,5-5,2 mm.

Tête, thorax et abdomen noirs; mandibules ferrugineuses au milieu; dépressions terminales des segments décolorées; premier tergite parfois avec des zones ferrugineuses sur les côtés. Fémurs noirs; tibias noirs, ferrugineux ou bruns aux deux extrémités. Tarses bruns ou ferrugineux. Nervures des ailes jaune paille.

D'après mes observations, la femelle de *T. speciosissimus* MORICE diffère de celle de *T. yarrowi* BEAUM. par les caractères suivants: la taille plus grande, l'aire apicale du clypéus moins bombée et un peu plus petite, la forme différente de l'impression postocellaire, la ponctuation plus dense et uniforme du vertex, les mésopleures chagrinées entre les points, les faces latérales du propodéum sans zone glabre en avant, l'aire pygidiale plus large et moins brillante, les métatarses plus épineux, les hanches 3 sans concavité caractéristique à la face externe, la cellule radiale plus tronquée. Notons à cette occasion que *T. redivivus* KOHL et *T. speciosissimus* MORICE (j'ai examiné les types des deux) représentent certainement une seule et même espèce.

T. anubis sp. n.

Holotype: 1 ♀, Abou Roasch, 31. III. 1958. Allotype: 1 ♂, même localité et date. Paratypes: Abou Roasch: 26. III 5 ♀ 4 ♂, 31. III 1 ♂, 4. IV 2 ♀ 2 ♂.

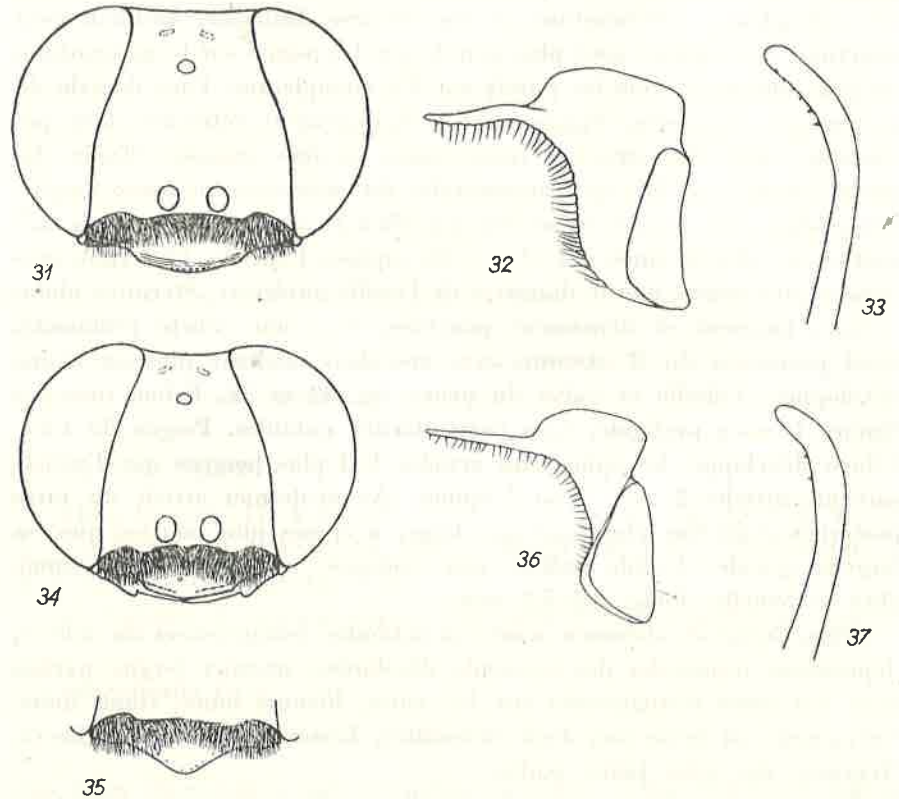


Fig. 31-33. *Tachysphex yarrowi* BEAUM. ♂; 31 — tête vue par la face antérieure, 32 — volsella, 33 — valve du pénis.

Fig. 34-37. *Tachysphex anubis* sp. n.; 34 — tête de la ♀, vue par la face antérieure, 35 — clypéus du ♂, 36 — volsella, 37 — valve du pénis.

♀ — Distance interoculaire minimum 2 fois plus étroite que le clypéus, aussi longue que les articles 3 et 4 des antennes réunis, 2,25-2,4 fois plus longue que l'article 3; celui-ci 1,8-2,1 (1,95) fois plus long que large, un peu plus court que les articles suivants. Lobe médian du clypéus bombé, son aire apicale brillante, imponctuée, plus courte que

l'aire basale. Lamelle large, régulièrement arquée (fig. 34). Dernier article des palpes maxillaires plus long que l'avant dernier. Front normal, sans protubérance, vertex plat (non concave). Tête peu développée derrière les yeux, à peine plus que chez *T. erythropus* SPIN. La pilosité couchée cache entièrement la sculpture de l'aire basale du clypéus et de la moitié inférieure du front; elle laisse voir la sculpture des tempes. La ponctuation est très serrée en avant de l'ocelle antérieur, les espaces sont plus petits que les points. Vertex avec des points distincts, séparés par des espaces à peu près égaux à leur propre diamètre: la pilosité y est peu dense, dressée, la longueur des poils égale ou dépasse légèrement le diamètre de l'ocelle antérieur. L'impression postocellaire est petite, en forme de fossette transversale à bords peu nettement limités; elle est reliée au tubercule ocellaire par une très fine impression longitudinale. Pilosité du thorax bien développée (les poils sont droits et non laineux), laissant difficilement voir la sculpture aux angles antérieurs du mésonotum et sur les mésopleures; poils des métapleures beaucoup plus faibles que ceux des mésopleures; poils de la face dorsale du propodéum inclinés en avant dans la partie médiane, environ 2 fois plus longs que le diamètre de l'ocelle antérieur; faces latérales du propodéum avec une zone glabre en avant. Mésonotum brillant, distinctement ponctué, les espaces, au milieu, à peu près aussi grands que les points. Ponctuation des mésopleures fine et dense, les points sont beaucoup plus petits que ceux du mésonotum et très serrés; les espaces sont lisses, 2 à 3 fois plus petits que les points; corrélativement, le tégument n'est que peu brillant. Face dorsale du propodéum chagrinée, avec une striation fine et irrégulière qui devient plus ou moins longitudinale chez certains spécimens; faces latérales avec une très fine striation oblique assez régulière; face postérieure finement striée transversalement. La partie postérieure (presque horizontale) du mésosternum est longue et le contour du mésothorax ressemble beaucoup à celui de *T. laniger* sp. n. (voir la fig. 44). Propodéum plus arrondi en arrière que chez *T. erythropus* SPIN., sa face postérieure plus inclinée que chez cette espèce. Tergites abdominaux 1-5 avec une microsculpture distincte, recouverts de pruinosité argentée bien développée; sur le 1^{er} tergite, les cils sont un peu plus courts que le diamètre de l'ocelle antérieur. Sternite 1 sans trace de carène longitudinale. Sternite 2 avec une zone médiane imponctuée et glabre et avec deux zones latérales finement pointillées et recouvertes de pruinosité; les zones latérales, de plus en plus large vers l'avant, ne se touchent pas en avant. Le 5^e tergite avec une dépression terminale très peu marquée, sans soies à sa base. Aire pygidiale assez étroite, lisse et brillante, légè-

rement chagrinée à la base; elle est légèrement bombée, parfois plus ou moins aplatie en arrière. Fémurs 1 et 2, sur leur face postéro-inférieure, avec de denses poils droits, inclinés vers la base de l'article et 1,5 fois plus longs que le diamètre de l'ocelle antérieur; la ponctuation des fémurs est très dense sous les poils mentionnés. Tibias 1 avec 2 épines, une plus longue et l'autre plus courte, à l'angle inféro-externe. Métatarse 1 avec 5 épines du côté externe, au plus avec une seule faible épine sur la face dorsale. Métatarse 2 avec une ou deux épines, métatarses 3 avec une seule épine ou sans épines, sur la face dorsale (sans compter les épines apicales). L'avant-dernier article des tarsi postérieurs 1,25 fois plus long que large, ses épines plus courtes que sa largeur terminale. Cellule radiale plus largement tronquée à l'extrémité que chez *T. yarrowi* BEAUM., mais moins que chez *T. speciosissimus* MORICE; cellule anale des ailes postérieures étroite à l'extrémité. Long. 4,5-5,5 mm.

Tête noire, mandibules jaune ferrugineux au milieu; scapes noirs, en partie décolorés en dessous. Thorax noir (les tubercules huméraux ne sont pas jaunâtres). Abdomen noir, avec les dépressions terminales des segments décolorées; le 1^{er} et le 2^e tergite, généralement aussi le 2^e sternite, sont ferrugineux sur les côtés; chez certains exemplaires, le ferrugineux peut envahir tout le 1^{er} (sauf la base) et le 2^e tergite. Fémurs noirs, l'apex des fémurs 3 est ferrugineux. Tibias 1 et 2 noirs, ferrugineux à l'apex, tibias 3 ferrugineux en dessus, foncés à la face inférieure. Tarsi ferrugineux. Pilosité du corps et épines des pattes argentées. Nervures des ailes jaune paille.

♂ — Sculpture de la tête et du thorax, forme de la tête, du mésothorax, du propodéum et des palpes maxillaires, sternite 1 et nervures des ailes, comme chez la femelle. Pilosité comme chez l'autre sexe, mais un peu moins dense. Distance interoculaire minimum 1,5-1,65 fois plus étroite que le clypéus, égalant la longueur des 4 premiers articles du funicule et 3-4,5 (4) fois plus longue que l'article 3 des antennes; celui-ci 1,1-1,2 fois plus long que large, plus court que l'article 4 qui est aussi long que l'article 5. Clypéus avec une aire apicale brillante, aussi longue que l'aire basale, lamelle (fig. 35) nettement arquée, en triangle arrondi. Poils du 1^{er} tergite nettement plus courts que le diamètre de l'ocelle antérieur. Sternites abdominaux finement mais distinctement ponctués, avec une courte pruinosité. Sternite 8 tridenté à l'apex, la dent médiane souvent plus ou moins réduite. Volsella et valve du pénis: fig. 36 et 37. Echancre des fémurs 1 peu profonde, sans particularités notables. Peigne du tarse 1 bien développé, les épines des articles 1-3 plus longues, rarement aussi longues, que l'article suivant; article 2 avec deux

épines. Avant-dernier article des tarses postérieurs 1,25 fois plus long que large, ses épines plus courtes que sa largeur apicale. Long. 3,9-4,3 mm.

Coloration comme chez la femelle, les mandibules un peu plus foncées.

Cette espèce est semblable à *T. yarrowi* BEAUM., mais s'en distingue par plusieurs caractères. Chez la femelle de *T. anubis* sp. n., la taille est plus petite; l'aire apicale du clypéus imponduée; vertex pas concave, à espaces aussi grands ou à peine plus grands que les points; les points des mésopleures sont très serrés et nettement plus petits que ceux du mésonotum; la pilosité des métapleures est moins développée que celle des mésopleures; tibias 1 avec deux épines à l'angle inféro-externe; article 4 des tarses 3 à épines aussi longues que sa largeur terminale; tubercules huméraux noirs. Chez le mâle de *T. anubis* sp. n. le clypéus est anguleux au milieu; le 4^e article des antennes est aussi long que le 5^e; aux mésopleures, les espaces sont environ 2 fois plus petits que les points, qui sont plus fins que ceux du mésonotum; les poils des métapleures plus faibles que ceux des mésopleures; échancrure des fémurs 1 moins profonde.

T. pectoralis sp. n.

No. 18 — DE BEAUMONT, 1940, Bull. Soc. Fouad I^{er} Entom., 24, p. 178, partim.

Holotype: 1 ♀, Abou Roasch, 11. V. 1958. Allotype: 1 ♂, Abou Roasch, 29. IV. 1958. Paratypes: Abou Roasch: 6. V 1 ♂, 11. V 1 ♀ 3 ♂; Ghizèh: 5. V 4 ♀; Dahschour: 2. V 1 ♂, 16. V 2 ♀ 5 ♂. J'ai aussi examiné une ♀ d'Abou Roasch, 5. VI. 1926, leg. R. MABROUK (coll. DE BEAUMONT) que DE BEAUMONT (1940) a nommée No. 18.

♀ — Distance interoculaire minimum 2-2,2 fois plus étroite que le clypéus, 1,65-2,25 (1,9) fois plus longue que l'article 3 des antennes, à peu près aussi longue que l'article 2+3+¹/₂ du 4^e réunis. Troisième article des antennes 2,3-2,5 fois plus long que large, aussi long que le 4^e et les suivants. Lobe médian du clypéus (fig. 38) bombé; aire apicale brillante, avec quelques points épars, plus courte que l'aire basale. Lamelle large, régulièrement arquée, avec un décrochement latéral à peine marqué de chaque côté. Le dernier article des palpes maxillaires est aussi long que l'avant-dernier. Front normal, pas particulièrement bombé; vertex non concave. Tête peu développée derrière les yeux, presque comme chez *T. erythropus* SPIN. ou *T. albocinctus* LUCAS. La

pilosité dense bien développée cache entièrement l'aire basale du clypéus, les tempes et une bonne partie du front; elle laisse voir le tégument sur le haut du front et sur le vertex. Le front est mat en avant de l'ocelle antérieur, chagriné-rugueux, avec une très fine et très dense ponctuation. Ponctuation du vertex fine et très dense sur fond mat; les poils du vertex, longs et couchés, laissent difficilement voir l'impression postocellaire; celle-ci est petite, presque transversale, à bord postérieur distinct. Tout le thorax couvert de pilosité bien fournie d'aspect laineux; elle cache totalement les mésopleures et les angles antérieur du mésonotum; il n'y a pas de zones glabres sur les faces latérales du propodéum; sur la face dorsale du propodéum, les poils (inclinés vers l'arrière) sont 2-2,5 fois plus longs que le diamètre de l'ocelle antérieur. Mésonotum à ponctuation fine, distincte et très dense; les espaces, non chagrinés, sont plus petits que les points. Mésopleures mates, chagrinées-rugueuses. Faces dorsale et latérales du propodéum à sculpture semblable, avec une réticulation irrégulière assez faible; face postérieure avec de faibles stries transversales. Mésosternum avec une impression symétrique large et peu profonde dans sa partie antérieure, en arrière des hanches 1; corrélativement, le contour du mésosternum est caractéristique en vue latérale (fig. 38): on y distingue une courte partie presque horizontale avant les hanches 2 et une longue partie ascendante qui aboutit aux tubercules huméraux. Propodéum plus arrondi en arrière que chez *T. erythropus* SPIN., sa face postérieure plus inclinée que chez cette espèce. Sculpture de l'abdomen très fine, la pruinosité extrêmement courte recouvre les 4 premiers tergites; sur le 5^e tergite elle est très peu développée et seulement sur les côtés. Sternite 1 sans trace de carène longitudinale; sternite 2 avec une zone médiane lisse et glabre et avec deux zones latérales densément pointillées et couvertes de pruinosité; les zones latérales deviennent de plus en plus larges vers l'avant et se touchent à l'extrême base du sternite. Tergite 5 avec une dépression terminale bordée de soies fines mais longues. Aire pygidiale (fig. 40) large à la base, rétrécie vers l'apex; elle est légèrement bombée, brillante, et montre quelques points très fins et très peu distincts. Fémurs 1 avec une couche de poils couchés d'aspect laineux à la face postéro-inférieure; le tégument y est brillant, avec des points très fins et très denses. Fémurs 2 avec une couche semblable de poils qui sont cependant en partie dressés. Tibias 1 avec 2 longues épines à l'angle inféro-externe, dont l'une est un peu plus courte que l'autre. Métatarse 1 avec 8 ou 9 épines du côté externe, sans épines sur la face dorsale. Métatarse 2 avec 2 ou 3 épines, métatarse 3 avec 1 ou 2 épines sur la face dorsale (sans compter les épines

apicales). Avant dernier article du tarse postérieur 1,1 fois plus long que large, échancré presque sur les $\frac{2}{3}$ de sa longueur. Epines des tarses longues, épines apicales des articles 2-4 des tarses moyens et postérieurs plus longues que la largeur apicale de l'article correspondant. Cellule radiale largement tronquée à l'extrémité, comme chez *T. speciosissimus* MORICE; cellule anale de l'aile postérieure étroite à l'apex. Long. 7-10 mm.

Tête noire; scapes, aire apicale et lamelle du clypéus, mandibules (sauf le tiers apical) brun ferrugineux. Thorax noir, tubercules huméraux jaunâtres, une partie du mésosternum et le métasternum généralement ferrugineux. Abdomen et pattes ferrugineux, hanches 1 parfois noires. Pilosité du corps argentée, épines des pattes claires, nervures des ailes ferrugineux clair.

♂ — Sculpture du corps, forme de la tête, du mésothorax, du propodéum et des palpes maxillaires, sternite 1 et nervulation des ailes, comme chez la femelle; la pilosité est un peu moins dense et (sauf la face dorsale du propodéum) plus longue. Distance interoculaire minimum 1,55-1,8 fois moins large que le clypéus, à peu près aussi longue que les 3 premiers articles du funicule réunis, 2,4-3 (2,7) fois plus longue que l'article 3 des antennes; celui-ci 1,9-2,1 fois plus long que large, aussi long que l'article 4 qui est insensiblement plus court que l'article 5. Clypéus avec une aire apicale plus courte que l'aire basale; lamelle largement, régulièrement arquée, ses angles latéraux étirés chacun en une dent plus ou moins nette. Poils du 1^{er} tergite beaucoup plus courts que le diamètre de l'ocelle antérieur. Sternites abdominaux densément et uniformément pointillés et couverts de courte pruinosité. L'échancrure apicale du 8^e sternite avec une saillie médiane régulièrement arrondie. Volsella et valve du pénis: fig. 41 et 42. Echancrure des fémurs 1 moyennement développée, sans particularités notables. Peigne du tarse 1 bien développé, ses épines dépassent nettement l'apex de l'article suivant; article 2 avec 2 ou 3 épines. Avant-dernier article du tarse postérieur 1,25 fois plus long que large, ses épines distinctement plus longues que sa largeur. Long. 6-8 mm.

Coloration comme chez la femelle ou bien l'aire apicale et les scapes (sauf en dessous) sont noirs; l'extrémité de l'abdomen est parfois légèrement rembrunie.

Cette espèce fait partie du groupe de *T. speciosissimus* MORICE. Elle se distingue de toutes les formes actuellement connues qui y appartiennent par la ponctuation du mésonotum beaucoup plus dense et par ses mésopleures réticulées (particularités qu'elle partage avec *T. laniger* sp. n.);

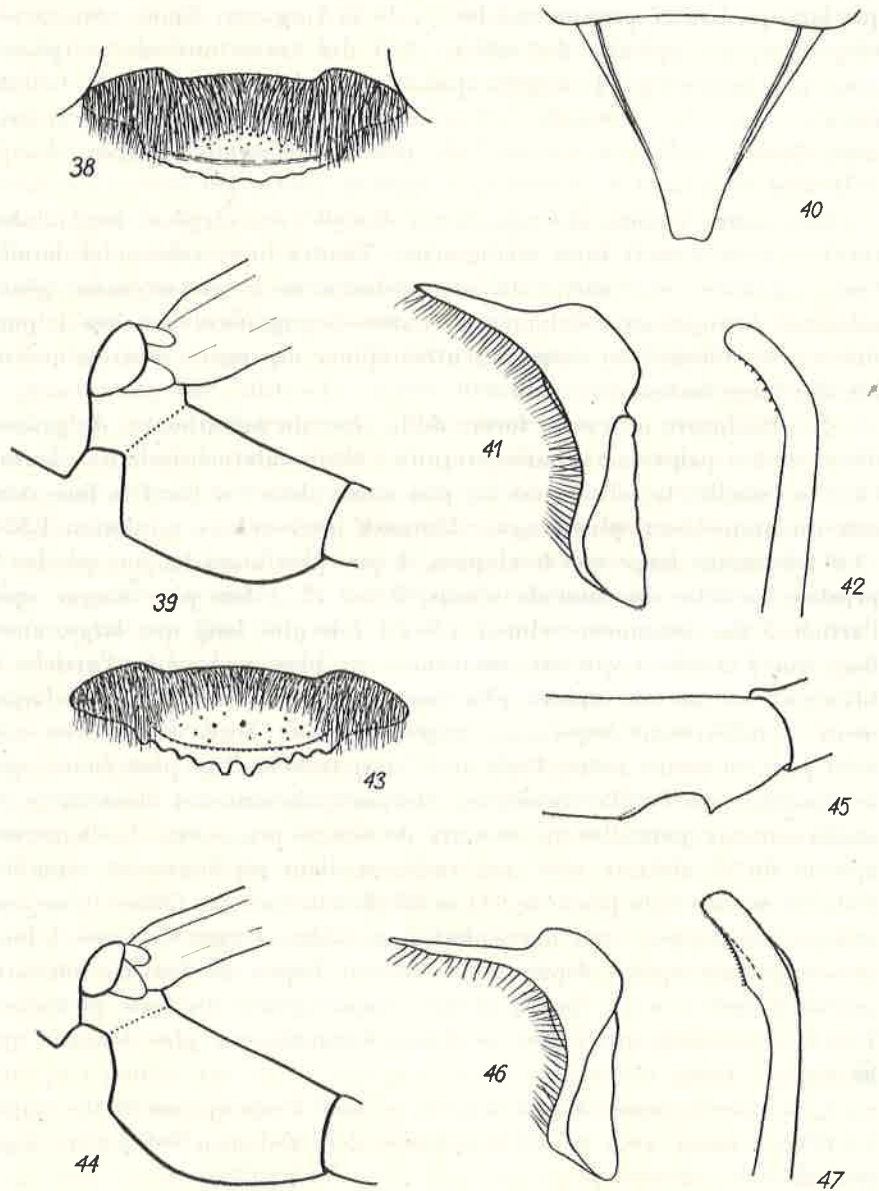


Fig. 38-42. *Tachysphex pectoralis* sp. n.; 38 — clypéus de la ♀, 39 — mésopleure de la ♀, 40 — aire pygidiale, 41 — volsella, 42 — valve du pénis.

Fig. 43-47. *Tachysphex laniger* sp. n.; 43 — clypéus de la ♀, 44 — mesopleure de la ♀, 45 — base d'un fémur antérieur du ♂, 46 — volsella, 47 — valve du pénis.

la forme de son mésosternum est également caractéristique. Notons aussi que la pilosité est très dense chez cette espèce et chez *T. laniger* sp. n., que les poils du vertex sont couchés et ceux de la face dorsale du propodéum dirigés en arrière.

T. laniger sp. n.

No. 18 — DE BEAUMONT, 1940, Bull. Soc. Fouad I^{er} Entom., 24, p. 178, partim.

Holotype: 1 ♀, Abou Roasch, 17. V. 1958. Allotype: 1 ♂, même origine et date. Paratypes: Abou Roasch: 11. V 3 ♂, 17. V 1 ♀ 2 ♂; Ghizèh: 30. IV 1 ♂, 5. V 1 ♂, 10. V 3 ♂, 15. V 1 ♀; Maadi: 23. IV 1 ♂; Kom Oshime: 22. IV 1 ♂, 28. IV 1 ♂, 4. V 1 ♂, 9. V 1 ♀. J'ai aussi examiné un ♂ d'Abou Zabab (Egypte), 24. VI. 1934, leg. A. MOCHI, que DE BEAUMONT (1940) a nommé No. 18 (coll. DE BEAUMONT).

♀ — Distance interoculaire minimum 2,53–2,77 fois moins large que le clypéus, 1,8–2 fois plus longue que l'article 3 des antennes, aussi longue que les articles 2 + 3 + 1/2 du 4^e réunis. Troisième article des antennes 1,75–1,88 fois plus long que large, plus court que le 4^e et les suivants. Lobe médian du clypéus bombé, son aire apicale lisse et brillante, avec quelques points peu distincts; elle est plus courte que l'aire basale. Lamelle (fig. 43) denticulée: il y a une paire de dents médianes, plus longues, et 3 à 5 dents latérales, de forme variable, de chaque côté. Dernier article des palpes maxillaires aussi long que l'avant-dernier; celui-ci est nettement plus court que le dernier chez un spécimen. La pilosité dense, bien développée, cache entièrement l'aire basale du clypéus et les parties inféro-latérales du front; elle laisse difficilement voir la sculpture des tempes; elle est peu développée sur le vertex, où les poils sont couchés. Front normal, pas particulièrement bombé, vertex non concave; l'impression postocellaire étroite, assez profonde, transversale. Tête étroite derrière les yeux, mais cependant plus développée que chez *T. erythropus* SPIN. Front mat, densément ponctué-rugueux en avant de l'ocelle antérieur. Vertex nettement chagriné, finement ponctué, les espaces un peu plus grands que les points. Sur le thorax, la pilosité dense laisse difficilement voir la sculpture des mésopleures et des angles antérieurs du mésonotum (mais ne la cache pas entièrement); il n'y a pas de zones glabres sur les faces latérales du propodéum; sur la face dorsale du propodéum, les poils, inclinés surtout vers l'arrière, en partie vers les côtés, sont 2,5 fois plus longs que le diamètre de l'ocelle antérieur. Poils du mésonotum (sauf en avant) de forme particulière: lis

sont assez courts, fortement courbés en demi-cercle, et leurs extrémités se rapprochent du tégument. Ponctuation du mésonotum distincte, assez forte, très dense; les espaces entre les points beaucoup plus petits que les points eux-mêmes. Mésopleures mates, nettement et irrégulièrement réticulées. Face dorsale du propodéum mate et chagrinée, généralement avec des stries longitudinales peu régulières, faces latérales obliquement et régulièrement striées en arrière; face postérieure avec des stries transversales assez fines. Vu latéralement, le bord inférieur des mésopleures se compose des deux lignes obliques (fig. 44): l'une prend naissance au tubercule huméral et l'autre aux hanches 2; la seconde est plus longue que la première. Propodéum un peu plus arrondi en arrière que chez *T. erythropus* SPIN. ou *T. albocinctus* LUC., sa face postérieure un peu plus inclinée que chez ces espèces. Sculpture de l'abdomen très fine, la pruinose très courte est développée sur les 4 premiers tergites et absente sur le 5°. Sternite 1 sans trace de carène longitudinale. Sternite 2 avec une zone médiane lisse et glabre; les zones latérales, finement pointillées et couvertes de pruinose, sont de plus en plus larges vers l'avant, mais ne se touchent pas à la base du sternite. Tergite 5 avec une dépression terminale bordée de fines soies sur les côtés. Aire pygidiale assez large (plus large que chez *T. pompiliformis* PANZ.), légèrement bombé, lisse et brillante, avec quelques points peu distincts. Fémurs 1 avec une couche dense de poils couchés d'aspect laineux à la face postéro-inférieure; le tégument y est brillant, avec de très petits points épars. Fémurs 2 avec des poils pareils. Tibias 1 avec 2 épines à l'angle inféro-externe, dont une est plus longue que l'autre. Métatarse 1 sans épines sur la face dorsale, avec 7-9 épines du côté externe. Métatarse 2 avec 2 ou 3 épines, métatarse 3 avec 2 épines, sur la face dorsale (sans compter les épines apicales). Aux pattes 2 et 3, les épines terminales des articles 2-4 sont plus longues que la largeur apicale de l'article correspondant. Article 4 des tarsi postérieurs 1,2 fois plus long que large, son échancrure n'atteint pas la moitié de sa longueur. Cellule radiale moins largement tronquée à l'extrémité que chez *T. speciosissimus* MORICE, mais davantage que chez *T. yarrowi* BEAUM.; cellule anale des ailes postérieures étroite à l'apex. Long. 7-8,5 mm.

Tête noire; mandibules (sauf le tiers apical), aire apicale du clypéus et la lamelle, ainsi que les scapes en dessous, d'un ferrugineux jaunâtre. Thorax noir; tubercules huméraux jaunâtres; une petite partie en arrière du mésosternum et le métasternum avec des taches ferrugineuses jaunâtre. Abdomen ferrugineux. Pattes ferrugineuses, hanches 1 et une partie des hanches 2 noires. Pilosité du corps argentée, celle

du vertex, du mésonotum (sauf en avant) et du scutellum avec une teinte dorée plus ou moins nette. Épines des pattes argentées, nervures des ailes ferrugineuses à la base.

♂ — Sculpture du corps, forme de la tête, du mésothorax, du propodéum et des palpes maxillaires, sternite 1 et nervulation des ailes, comme chez la femelle; la pilosité est un peu plus longue et moins dense, les poils du mésonotum moins caractéristiques. Distance interoculaire minimum 2-2,3 fois plus étroite que le clypéus, égalant les 3 premiers articles du funicule et 3-3,5 (3,2) fois plus longue que l'article 3 des antennes; ce dernier 1-1,1 fois plus long que large, nettement plus court que l'article 4 qui est beaucoup plus court que le 5°. Clypéus avec une aire apicale brillante, plus courte que l'aire basale; lamelle régulièrement arquée. Poils du 1^{er} tergite beaucoup plus courts que le diamètre de l'ocelle antérieur. Sternites abdominaux densément et uniformément pointillés et couverts de courte pruinosité. Echancrure terminale du 8^e sternite avec une saillie médiane qui disparaît entièrement chez certains exemplaires. Volsella et valve du pénis: fig. 46 et 47. Echancrure des fémurs 1 moyennement développée, avec le bord interne étiré en dent aiguë, avec une sorte de petite lamelle près du bord externe (fig. 45). Peigne du tarse 1 bien développé: au moins les épines du 2^e article (il y en a 2) dépassent l'apex de l'article suivant. Avant-dernier article des tarses postérieurs 1,25 fois plus long que large, à épines plus courtes que sa largeur. Long. 5-6 mm.

Tête et thorax noirs; aire apicale du clypéus, mandibules, souvent aussi la lamelle du clypéus et la face inférieure des scapes, jaune ferrugineux; tubercules huméraux généralement jaunâtres. Abdomen ferrugineux, ses derniers segments légèrement rembrunis; il est presque entièrement foncé chez un spécimen (les dépressions apicales des tergites restent cependant décolorées). Fémurs, tibias et tarses ferrugineux, souvent aussi une partie des hanches et des trochanter 2 et 3; les fémurs (surtout antérieurs) peuvent être plus ou moins obscurcis à la base et, chez un spécimen, presque tous les fémurs 1 et 2 sont noirs. Épines des pattes et pilosité du corps argentées, poils du vertex plus ou moins dorés.

L'espèce est voisine de *T. pectoralis* sp. n. dont elle se distingue par une autre forme du mésosternum, le 3^e article des antennes plus court et la ponctuation du vertex moins serrée; la femelle a le clypéus denticulé; chez le mâle, la forme de l'échancrure des fémurs 1 est caractéristique, et les épines des tarses 3 sont plus courtes que chez *T. pectoralis* sp. n.

T. sinaiticus sp. n.

Holotype et paratype: 2 ♀, Sinaï mér., Oasis Feiran, 7. IV. 1958.

L'espèce fait partie du groupe de *T. brevipennis* MERCET.

♀ — Distance interoculaire minimum respectivement 2,75 et 2,93 fois moins large que le clypéus, plus courte que les articles 1 + 2 du funicule réunis, 1,25 fois plus longue que l'article 3 des antennes; celui-ci 2,6–2,7 fois plus long que large, aussi long que l'article 4. Clypéus avec une aire apicale semicirculaire, grande et brillante; lamelle en arc régulier très peu prononcé, sans dents sur les côtés. La longueur minimum des joues égale la moitié du diamètre de l'ocelle antérieur. Les scapes sont brusquement renflés vers la moitié de leur longueur. Face plate, très densément ponctuée, tempes et pronotum comme chez *T. imperfectus* BEAUM. Tempes, vertex et mésonotum brillants. Les espaces sont à peu près aussi grands que les points au vertex, en arrière de l'impression postocellaire, et au mésonotum (sauf à la périphérie); ils sont en moyenne plus grands que les points au scutellum. Mésopleures légèrement brillantes dans le haut et chagrinées en bas, à ponctuation très serrée (les espaces 2–3 fois plus petits que les points). Pilosité du postscutellum moins dense que chez *T. imperfectus* BEAUM. Métapleures striées. Forme du propodéum comme chez les autres espèces du groupe; faces latérales nettement striées obliquement, face postérieure à striation transversale; face dorsale avec de fortes stries longitudinales, entièrement glabre chez un individu, avec quelques poils extrêmement courts et peu visibles sur la ligne médiane chez l'autre (les spécimens étudiés sont frais et l'absence de pilosité n'est pas due à l'usure). Tergites abdominaux 1 et 2 finement chagrinés, brillants; tergites 4 et 5 fortement chagrinés et mats. La ponctuation des tergites est fine et distincte, les espaces plus grands que les points au 1^{er} tergite, à peu près aussi grands que les points au 2^e tergite et plus petits que les points aux tergites suivants; sur les dépressions apicales, la ponctuation est peu distincte, beaucoup plus fine que sur les disques. Les trois premiers tergites montrent des bandes de pruinosité argentée. Ponctuation des sternites plus faible que chez *T. imperfectus* BEAUM., à peu près comme chez *T. brevipennis* MERCET. Aire pygidiale étroite, à peu près comme chez *T. pompiliformis* PANZ., nettement chagrinée (un peu moins que chez *T. imperfectus* BEAUM.), avec des points dispersés. Tibias 1 avec une longue épine à l'angle inféro-externe. Métatarse 1 avec 6 ou 7 épines du côté externe, sans épines sur la face dorsale; métatarse 2 avec 2 ou 3 épines, métatarse 3 sans épines (sans compter l'apicale) sur la face dorsale. Avant-dernier article des tarses postérieurs

1,6 fois plus long que large, échancré sur la moitié de sa longueur; son épine apicale interne est plus longue, son épine externe aussi longue, que sa largeur. Troisième cellule cubitale un peu plus étirée que chez *T. brevipennis* MERCET, un peu plus que chez *T. imperfectus* BEAUM., cellules radiale et anale comme chez ces espèces. Long. 7,5-8,5 mm.

Corps noir. Mandibules jaune ferrugineux au milieu; lamelle du clypéus ferrugineuse; face inférieure des scapes décolorée dans la partie distale; tegulae brun ferrugineux en arrière; derniers articles des tarsi ferrugineux. Pilosité du corps argentée, y compris celle du vertex et du mésonotum. Ailes hyalines.

Mâle inconnu.

La nouvelle espèce se distingue aisément de *T. brevipennis* MERCET et de *T. heterochromus* BEAUM. par la coloration de l'abdomen et des pattes différente, ainsi que par les joues plus courtes; chez *T. imperfectus* BEAUM., les scapes et la partie basale du funicule sont ferrugineux clair, et le tégument est beaucoup plus chagriné au vertex, au mésonotum et à l'abdomen; *T. rhodius* BEAUM. a la taille plus petite, les stries de la face dorsale du propodéum divergentes et le vertex plus large; *T. carli* BEAUM. a une autre forme des scapes et du pronotum, les mésopleures striées en arrière et les deux premiers segments abdominaux ferrugineux. Toutes ces espèces (sauf peut être *T. carli* BEAUM. que je ne connais que par la description) ont la face dorsale du propodéum couverte de fins et courts poils inclinés vers l'avant.

Prosopigastra COSTA

P. insignis SAUND.

Abou Roasch: 11 et 17. V 2 ♂; Ghizèh: 10. V 5 ♂, 15. V 1 ♀ 10 ♂; Saqqara: 27. IV 1 ♂; Kom Oshime: 4. V 1 ♀, 9. V 2 ♂, 13. V 2 ♂.

Espèce citée d'Égypte par DE BEAUMONT (1954), mais sans localité exacte.

P. minima BEAUM., 1956

Abou Roasch: 16. IV 1 ♀ (que j'ai désignée comme allotype) 1 ♂, 24. IV 2 ♀, 29. IV 2 ♂, 6. V 1 ♂, 17. V 1 ♀; Ghizèh: 15. IV 3 ♀ 4 ♂, 20. IV 2 ♀ 1 ♂, 25. IV 1 ♀, 30. IV 1 ♂; Maadi: 29. III 1 ♂, 13. IV 5 ♂, 23. IV 1 ♀; Saqqara: 28. III 1 ♀ 12 ♂, 3. IV 5 ♀ 13 ♂, 18. IV 5 ♀ 11 ♂, 24. IV 6 ♂, 27. IV 4 ♂; Dahschour: 2. V 1 ♂; Kom Oshime: 2. IV 3 ♂, 14. IV 2 ♀ 2 ♂, 19. IV 2 ♀ 1 ♂, 22. IV 2 ♀, 28. IV 1 ♀ 1 ♂, 9. V 4 ♀, 13. V 2 ♂.

♀ (inérite) — Aire apicale du clypéus lisse et brillante, imponctuée, nettement bombée, à peu près 3 fois plus longue au milieu que l'aire basale. La lamelle montre deux lobes bordant une échancrure médiane, et deux saillies latérales (fig. 48). Troisième article des antennes 2-2,1 fois plus long que large, 1,07-1,21 (1,13) fois plus long que le quatrième. Tubercule frontal aussi fort que chez *P. punctatissima* COSTA ou *P. orientalis* BEAUM., avec un sillon médian et avec quelques points dans le haut. Front à ponctuation dense des deux côtés de l'ocelle antérieur (les espaces à peu près aussi grands que les points). Tubercule ocellaire bien prononcé, lisse au milieu, à ponctuation plutôt espacée sur les côtés. Au vertex, les espaces sont un peu plus petits que les points. La distance interoculaire minimum égale la longueur du métatarse augmentée de la moitié de l'article suivant. Tempes brillantes, à ponctuation très fine et très espacée. Mésonotum et scutellum brillants, à ponctuation distincte très

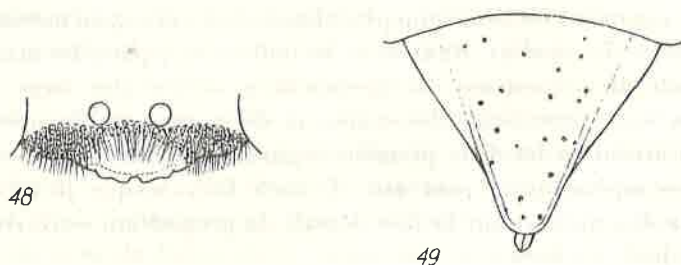


Fig. 48-49. *Prosopigastra minima* BEAUM. ♀; 48 — clypéus, 49 — aire pygidiale.

espacée, plus dense à la déclivité antérieure du mésonotum. Les épisternes et la partie supérieure des épimères sont ponctuées sur fond plus ou moins chagriné; la partie inférieure des épimères est nettement rugueuse. Aire dorsale du propodéum semi-circulaire, limitée par une carène, irrégulièrement réticulée; faces latérales striées, rugueuses en arrière. Les poils du thorax sont argentés, couchés, très courts (les poils du mésonotum sont à peine plus longs que le diamètre de l'ocelle antérieur); seuls les poils des côtés du propodéum sont plus longs et légèrement dressés. Tergites abdominaux brillants, à ponctuation régulière, assez fine et dense; les espaces à peu près aussi grands que les points. Dépressions apicales des tergites 1-3 ponctuées, lisses au milieu; celles des tergites 4 et 5 lisses. Aire pygidiale (fig. 49) arrondie à l'extrémité; bombée, lisse et brillante, avec des poils fins et peu nombreux; ses carènes latérales sont peu distinctes. Epines externes des tarsi 2 et 3 peu épaissies, nettement moins que chez *P. bulgarica* PUL. Cellule radiale

courte, comme chez le mâle (voir la figure de DE BEAUMONT, 1956). Long. 5,5-6,5 mm.

Tête, thorax abdomen et fémurs (sauf à l'apex) noirs. Mandibules ferrugineuses dans le tiers central. Dépressions apicales des segments abdominaux et la partie postérieure de l'aire pygidiale décolorées. Chez certains exemplaires, le premier tergite montre des zones ferrugineuses avant la dépression apicale. Genoux et extrémités des tibias brun ferrugineux (la zone claire est la plus petite aux pattes 1 et la plus grande aux pattes 3); autres parties des tibias noires. Tarses ferrugineux, les deux derniers articles bruns. Nervures des ailes, y compris le ptérostigma, jaune brun clair.

La femelle de *P. minima* BEAUM. est voisine de *P. kohli* MERCET, de *P. bulgarica* PUL. et de *P. zalinda* BEAUM.; elle se reconnaît à la forme de son clypéus, à son tubercule intercellulaire presque lisse, à la sculpture des mésopleures, à la ponctuation fine sur le mésonotum, fine et dense sur l'abdomen, à la forme et la ponctuation de son aire pygidiale, à la coloration des nervures alaires. Chez *P. zalinda* BEAUM., les tegulae sont jaunes et l'abdomen ferrugineux à la base.

Gastrosericus SPIN.

G. waltli SPIN.

Cette espèce est d'après HONORÉ (1942) „assez commune aux environs du Caire”. Elle l'est également dans la province de Fayoum, où j'ai pris plusieurs exemplaires à Kom Oshime, entre le 2. IV et 13. V.

G. guigliae BEAUM., 1956

Kom Oshime: 4. V 1 ♂, 9. V 2 ♂ (dont j'ai désigné l'un comme allotype).

♂ (inédit) — Semblable au précédent: la pilosité laineuse est bien développée sur les tempes, sur le front, sur tout le thorax (y compris le propodéum) et sur les fémurs; mandibules échancrées; sternites 3 et 4 avec une frange de poils à la base; hanches 1 sans particularités notables; cellule radiale nettement plus longue que haute, plus longue en haut qu'en bas; épines des pattes et la 2^e cellule discoïdale comme chez l'espèce mentionnée.

Lobe médian du clypéus convexe, son bord antérieur anguleux (fig. 50). La pilosité couchée du clypéus et du front est un peu plus dense, les poils dressés du scape plus courts, que chez *G. waltli* SPIN. La ponctuation du vertex beaucoup plus fine et plus dense que chez cette espèce. Aire pygidiale glabre, lisse. Long. 8-9 mm.

Tête et thorax noirs: mandibules (sauf les pointes), clypéus, anneau apical et face inférieure du scape, tubercules huméraux en arrière, jaune pâle. Dépressions apicales des segments abdominaux largement décolorées, un ou deux premiers segments ferrugineux. Fémurs noirs, jaunes à l'extrémité. Tibias ferrugineux, plus ou moins foncés en dessous, avec une strie jaune à la face externe. Métatarses jaunes, articles 2-5 du tarse ferrugineux.

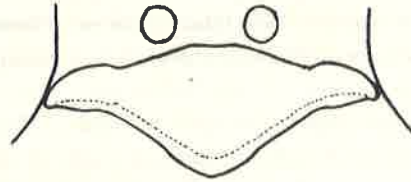


Fig. 50. *Gastrosericus guigliae* BEAUM. ♂ — clypéus.

Plusieurs caractères de sculpture et de coloration ne laissent pas de doutes sur la correspondance de sexes.

***G. moricei* SAUND.**

Abou Roasch: 11. V 1 ♂, 17. V 2 ♀ 5 ♂; Ghizèh: 20. IV 1 ♂, 30. IV 1 ♂, 5. V 2 ♂, 10. V 12 ♂, 15. V 3 ♂; Maadi: 18. V 2 ♂; Dahschour: 2. V 2 ♂; Kom Oshime: 13. V 2 ♂.

En Egypte, *G. moricei* SAUND. fut observé à Hawamdièh seulement.

***G. marginalis* GUSS.**

Kom Oshime: 28. IV 1 ♀, 13. V 1 ♀.

Les deux exemplaires capturés sont identiques à une femelle de Khiva, déterminée par GUSSAKOVSKIJ que j'ai pu examiner.

***Palarus* LATR.**

***P. laetus* KLUG**

Abou Roasch: 24. IV 2 ♀ 2 ♂, 29. IV 3 ♀ 4 ♂, 11. V 2 ♀, 17. V 5 ♀ 1 ♂; Ghizèh: 15. IV 7 ♀ 4 ♂, 20. IV 14 ♂, 25. IV 6 ♀ 10 ♂, 30. IV 11 ♀ 5 ♂, 10. V 2 ♂, 15. V 2 ♂; Maadi: 23. IV 1 ♀ 1 ♂; Dahschour: 2. V 7 ♀ 1 ♂, 8. V 3 ♀ 2 ♂, 16. V 3 ♀ 3 ♂; Kom Oshime: 22. IV 1 ♀ 1 ♂, 28. IV 2 ♀ 4 ♂, 13. V 1 ♀.

Les mâles les plus petits (6,5 mm.), à dessins clairs blanchâtres et à caractères sexuels peu prononcés, sont identiques au type de *P. eximius* HON. (que j'ai pu voir dans la collection ALFIERI). Cette dernière espèce est donc en effet synonyme de *P. laetus* KLUG, comme DE BEAUMONT (1949) l'a admis.

Miscophus JUR.

M. aenigma HON.

Ghizèh: 5. V 1 ♀; Kom Oshime: 14. IV 1 ♂, 29. IV 1 ♂, 4. V 1 ♀; Abydos: 3-5. III 1 ♀; Kom Ombo: 16-18. II 1 ♀; Ouadi Halfa: 8-10. II 5 ♂. J'ai désigné un mâle de Kom Oshime comme allotype de *M. aenigma* HON.

♀ — Les exemplaires que j'ai pris correspondent entièrement à la description de DE ANDRADE, cependant leurs tarses, et les scapes en dessous, sont bruns. La tache claire, à la base des tibias 3, est peu distincte chez la ♀ de Kom Ombo; il est donc probable que l'on trouve des individus chez qui cette tache n'est pas développée. Notons en passant qu'il y a une erreur dans le tableau de détermination de DE ANDRADE (1960, p. 14, point 12): ce sont les tibias (et non les fémurs) qui montrent, chez *M. aenigma* HON., une tache claire basale à la face supérieure.

Relation entre la longueur et la hauteur du propodéum = 1,22-1,39 (1,28); relation entre la largeur de la face et la distance interoculaire minimum = 1,33-1,52 (1,44); POL:OOL = 2,66-3,20 (2,86); SOL:OOL = 2,00-2,40 (2,19); distance entre l'apex de la 2^e cellule cubitale et celui de l'aile 1,03-1,11 (1,06) fois plus grande que la largeur maximum de l'aile.

♂ (inédit) — Semblable à *M. nevesi* ANDR. et *M. minutus* ANDR. Comme chez ces espèces, le 3^e article des antennes est aussi long que le 2^e; le front est nettement convexe; les bords internes des yeux convergent en même temps vers le haut et vers le bas; la distance interoculaire minimum au vertex est pratiquement identique à celle qui sépare les yeux en bas; les articles du funicule sont plutôt courts et épaissis; les tarses sont courts, les métatarses antérieurs 4 fois plus longs que larges à l'apex; la face dorsale du propodéum est nettement carrée.

Bord antérieur du clypéus identique à celui de *M. minutus* ANDR.; lobe médian du clypéus à ponctuation pas très dense au milieu, les espaces à peu près aussi grands que les points. Collare et mésonotum à sculpture un peu plus forte que chez la femelle, un peu plus brillants. Sternite 8 normal; gonoforceps (fig. 51) plus larges, avec des poils plus longs,

que chez *M. nevesi* ANDR. et *M. minutus* ANDR.; valve du pénis: fig. 52. Long. 3-4 mm.

Corps noir; mandibules ferrugineux brun (sauf à la base), ferrugineux foncé à l'apex. Scapes jaunes ou bruns en dessous; les deux ou trois premiers articles du funicule sont tachés de jaune ou de jaune brun à la face interne. Fémurs 1, à l'apex, avec une tache jaune pâle en dessous; tibias 1-3 jaunes à la face externe, plus foncés chez un spécimen de Kom Oshime (tibias 1 et 2 bruns aux deux extrémités, tibias 3 avec une tache basale jaune pâle). Tarses bruns, métatarses généralement jaunes. Tegulae, plaques basales des ailes et nervures brunes. Ailes hyalines.

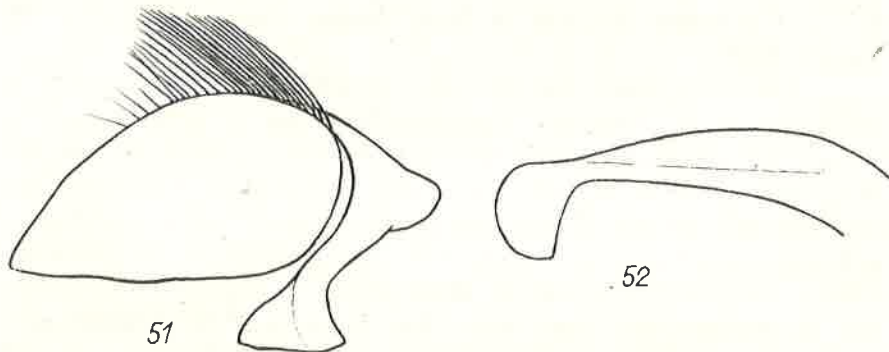


Fig. 51-52. *Miscophus aenigma* HON. ♂; 51 — gonoforceps, 52 — valve du pénis.

Relation entre la longueur et la hauteur du propodéum = 1,13-1,33 (1,25); relation entre la largeur de la face et la distance interoculaire minimum = 1,14-1,24 (1,20); POL:OOL = 1,66-2,12 (1,9); SOL:OOL = 1,25-1,43 (1,29); distance entre l'apex de la 2^e cellule cubitale et celui de l'aile 1,09-1,20 (1,16) fois plus grande que la largeur maximum de l'aile.

Le mâle de *M. aenigma* HON. se distingue des deux espèces voisines par ses pattes tachées de jaune et par la forme des genitalia. Il diffère de *M. nevesi* ANDR. encore par le clypéus beaucoup plus saillant et par le front moins convexe.

A mon avis, *M. minutus* ANDR. est une espèce distincte plutôt qu'une race géographique de *M. aenigma* HON.

M. clypearis HON.

Abou Roasche: 30. X et 10. XI 2 ♀ (dont j'ai désigné l'une comme allotype).

♀ (inédite) — Lobe médian du clypéus bombé, éparsément ponctué et brillant au milieu, à ponctuation dense sur les côtés; lobes latéraux à ponctuation superficielle, fine et dense; lamelle régulièrement arquée (fig. 53). Front fortement chagriné, avec de points très fins, peu dis-

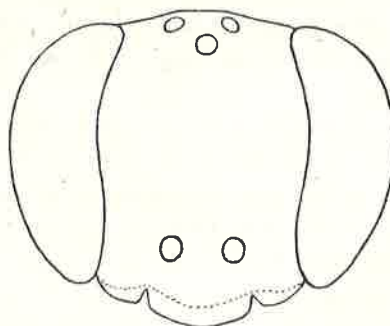


Fig. 53. *Miscophus clypearis* HON. ♀ — tête vue par la face antérieure.

tincts, assez serrés. Bords internes des yeux légèrement convergents vers le bas dans la partie inférieure du front. Collare et mésonotum chagrinés, mais légèrement brillants; ponctuation du collare très fine, celle du mésonotum plus forte, avec les espaces à peu près aussi grands que les points. Mésopleures fortement chagrinées, mates, à ponctuation semblable à celle du mésonotum. Ponctuation du mésosternum fine et dense, très peu profonde. Partie supérieure des métapleures légèrement chagrinée, avec quelques points très fins. Propodéum, vu par dessus, en ogive; ses angles postéro-latéraux largement arrondis; ses bords latéraux divergent moins fortement en avant que chez *M. verhoeffi* ANDR.; toute la surface du propodéum nettement chagrinée; les faces latérales montrent une ponctuation assez forte et régulière, les espaces en moyenne un peu plus grands que les points; la face dorsale montre une carène longitudinale bien développée; celle-ci donne naissance à de courtes stries obliques, peu régulières et anastomosées; il y a, de plus, des points serrés; sculpture de chaque tiers latéral de la face dorsale presque identique à celle des faces latérales; face postérieure, dans le haut, avec une forte carène transversale, interrompue au milieu; plus bas, il y a de faibles carènes peu serrées, asymétriques, ne se prolongeant pas sur les côtés. Tergites abdominaux chagrinés et ponctués, la ponctuation s'effaçant avant le bord postérieur. Métatarse 1 à 3 épines du côté externe, celle qui se trouve à l'apex égale l'article $2 + \frac{1}{2}$ de l'article 3.

Tête, thorax et abdomen noirs, avec un léger reflet cuivré. Mandibules ferrugineuses (foncées à l'apex), scapes jaunes en dessous; tubercules huméraux rembrunis à l'apex chez un individu. Hanches noires, tachées de ferrugineux à l'apex; trochanters et fémurs noirs, tibias et tarses ferrugineux brun, avec des zones foncées. Tegulae brun foncé, plaques basales des ailes noires, à bords bruns. Ailes faiblement et uniformément enfumées. Pilosité du corps très peu développée, moins que chez *T. nicolai* FERT.

Relation entre la longueur et la hauteur du propodéum, chez les deux exemplaires examinés, respectivement 1,10 et 1,15; relation entre la largeur de la face et la distance interoculaire minimum = 1,41 et 1,43. POL:OOL = 1,55 et 1,66; SOL:OOL = 1,33 et 1,33; VOL plus grand que la moitié du diamètre d'un ocelle postérieur, 2,40 et 2,80 fois plus petit que POL; distance entre l'apex de la 2^e cellule cubitale et celui de l'aile 1,12 et 1,15 fois plus grande que la largeur maximum de l'aile.

La femelle de *M. clypearis* HON. est très proche de celles de *M. verhoeffi* ANDR., *M. corsicus* ANDR. et *M. gibbicollis* GINER. Chez *M. verhoeffi* ANDR., cependant, les tibias sont noirs, les scapes ferrugineux en dessous et les tegulae en arrière, les faces latérales du propodéum obliquement striées. Chez les deux autres espèces, les fémurs sont ferrugineux; chez *M. gibbicollis* GINER la ponctuation de l'espace interoculaire et des côtés de la face dorsale du propodéum est plus espacée, VOL à peu près aussi grand que la moitié du diamètre d'un ocelle postérieur; chez *M. corsicus* ANDR., les fémurs antérieurs sont tachés de jaune en dessous.

Le seul individu connu jusqu'ici de cette espèce est originaire de Dahschour.

M. mimeticus HON.

Abou Roasch: 31. X 1 ♂, 3. XI 3 ♀ 1 ♂, 10 et 11. XI 2 ♂, 17. V 1 ♂; Ghizèh: 8. XI 1 ♀, 16 et 17. XI 4 ♀, 24. XI 1 ♀ 1 ♂, 17. XII 2 ♀ 1 ♂, 13. III 2 ♂, 25. III 1 ♂; Maadi: 15. XI 1 ♂; Kom Oshime: 9. V 1 ♂; Abydos: 3-5. III 1 ♀ 1 ♂; Louxor: 2. II 2 ♂; Kom Ombo: 16-18. II 2 ♂.

Observé en Egypte aux environs du Caire et à Fayoum.

M. affinis sp. n.

Holotype: 1 ♀, Abou Roasch, 31. XI. 1957. Allotype: 1 ♂, Abou Roasch, 16. IV. 1958. Paratypes: 1 ♀, Abou Roasch, 31. XI. 1957; 1 ♀, Ghizèh, 10. V. 1958; 1 ♂, Abou Roasch, 16. IV. 1957.

♀ — Lamelle du clypéus continue, sans incisions; clypéus peu saillant, à peine plus que chez *M. mimeticus* HON.; son lobe médian, légèrement bombé, montre une ponctuation très fine, peu distincte et superficielle; celle-ci est très dense, moins serrée seulement en avant, où les espaces sont plus grands que les points. Ponctuation du front peu profonde (les points à fond plat) et très dense, les espaces entre les points linéaires. Bords internes des yeux sinueux, comme chez *M. mimeticus* HON. Collare relativement bien développé, brillant, chagriné plutôt que ponctué; son bord postérieur, presque entièrement lisse, est un peu déprimé sur les côtés. Mésonotum brillant, lisse ou légèrement chagriné, à points généralement peu distincts; les espaces aussi grands ou un peu plus petits que les points. Partie supérieure des épimères (= épimères de DE ANDRADE) entièrement lisse; partie inférieure légèrement chagrinée, finement striolée longitudinalement (sauf en bas), avec des points peu nets (très espacés en bas). Mésosternum avec des points assez grands, peu profonds et peu serrés. Métapleures brillantes, presque lisses, à très fine sculpture fondamentale irrégulière. Face dorsale du propodéum avec une carène médiane et des stries obliques un peu irrégulières marquant une aire dorsale; les côtés de la face dorsale finement et irrégulièrement rugueux; l'aire dorsale est couverte de stries longitudinales chez un individu d'Abou Roasch. La pilosité de la face dorsale du propodéum, bien développée, est nettement plus longue que chez *M. mimeticus* HON.; les poils égalent $\frac{1}{2}$ à $\frac{1}{3}$ du diamètre de l'ocelle antérieur. Les poils de l'aire dorsale sont dirigés en avant, ceux des côtés de la face dorsale du propodéum en arrière. Faces latérales du propodéum nettement striées obliquement. Abdomen chagriné, à ponctuation très fine, superficielle, pas dense. Des bandes de pruinosité (d'ailleurs peu développées) ne sont bien visibles que sur les deux premiers tergites. Métatarse 1 à 3 épines du côté externe; épine apicale un peu plus longue que la moitié de l'article suivant. Long. 4,5–5,5 mm.

Tête, thorax et abdomen noirs; mandibules (sauf à l'apex) et scapes (sauf en dessus) jaune brun; une bande étroite au bord antérieur du clypéus, de même que la lamelle, brun ferrugineux; tubercules huméraux jaune pâle ou jaune brun dans la moitié postérieure. Bords postérieurs des segments abdominaux décolorés. Hanches noires, brun ferrugineux à l'apex, trochanters et fémurs noirs; extrémité des fémurs, tibias et tarses brun ferrugineux. Tegulae jaunes, avec une teinte brunâtre; plaques basales des ailes antérieures et nervure anale dans la moitié basale jaunes; autres nervures brun pâle. Ailes hyalines. Chez un individu de Ghizèh, le pédicelle est ferrugineux et l'article suivant brun

ferrugineux en dessous; le tiers apical des fémurs et les deux premiers segments abdominaux sont ferrugineux.

Relation entre la longueur et la hauteur du propodéum, chez les 3 individus examinés, respectivement 1,43, 1,50 et 1,64; relation entre la largeur de la face et la distance interoculaire minimum = 1,26, 1,27 et 1,33. POL:OOL = 1,54, 1,70 et 1,77; SOL:OOL = 1,00, 1,00 et 1,07. VOL égalant la moitié du diamètre d'un ocelle postérieur; distance entre l'apex de la 2^e cellule cubitale et celui de l'aile 0,91, 1,00 et 1,04 fois plus grande que la largeur maximum de l'aile.

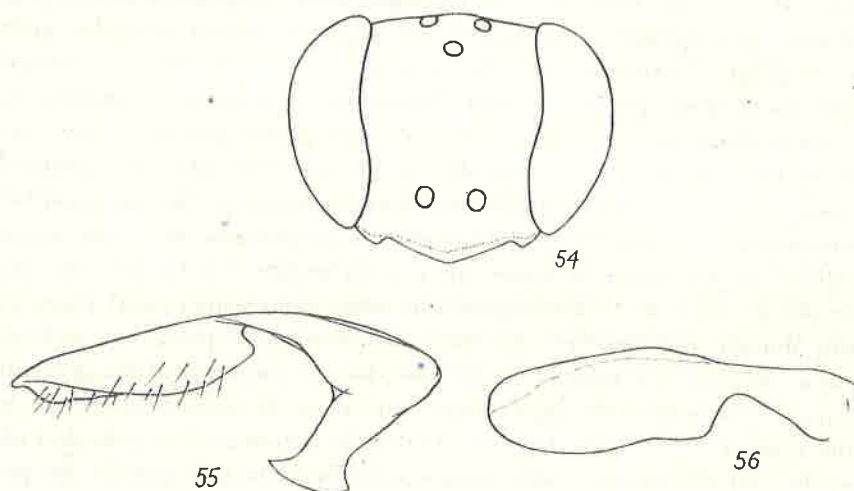


Fig. 54-56. *Miscophus affinis* sp. n. ♂; 54 — tête vue par la face antérieure, 55 — gonoforceps, 56 — valve du pénis.

♂ — Lobe médian du clypéus largement arqué (fig. 54). Ponctuation du clypéus et du front comme chez la femelle. Collare brillant, très légèrement chagriné, de forme semblable à celle de *M. mimeticus* HON. Mésonotum brillant, les espaces plus grands que les points. Mésopleures brillantes, partie inférieure des épimères éparsément ponctuée (sauf dans le bas). Sculpture et pilosité du propodéum, ainsi que la sculpture de l'abdomen, comme chez la femelle. Tarse 1 sans peigne. Long. 3,5 mm.

Sternite 8 comme chez *M. mimeticus* HON.; gonoforceps: fig. 55; valve du pénis: fig. 56.

Coloration comme chez la femelle, mais la bande brun ferrugineux du clypéus est peu nette; articles basaux du funicule bruns; dernier segment abdominal brun ferrugineux. Relation entre la longueur et la

hauteur du propodéum, chez les deux exemplaires examinés, respectivement, 1,35 et 1,44; relation entre la largeur de la face et la distance interoculaire minimum = 1,13 et 1,29; POL:OOL = 1,66 et 1,80; SOL:OOL = 1,00 et 1,00; distance entre l'apex de la 2^e cellule cubitale et celui de l'aile égalant 1,00 et 0,97 de la largeur maximum de l'aile.

La femelle de la nouvelle espèce semble être surtout proche de *M. transcaspicus* ANDR.; elle s'en distingue par le clypéus moins saillant, montrant une bande brun ferrugineux au bord antérieur (mis à part la lamelle) et par la pilosité du propodéum beaucoup plus fournie. Le mâle est voisin de *M. mimeticus* HON. et de *M. littoreus* ANDR.; il se reconnaît à ses mésopleures éparsément ponctuées (en bonne partie lisses), à son clypéus taché de brun ferrugineux, à la coloration jaune pâle des plaques basales des ailes antérieures et des nervures à la base, à ses tibias et ses tarsi ferrugineux (les premiers en partie rembrunis).

***M. bicolor* JUR. ssp.**

Abou Roasch: 1. XI 1 ♀.

Comparée à des spécimens de Pologne, cette femelle leur ressemble beaucoup; elle a cependant la 2^e cellule cubitale plus petite, comme chez *M. lusitanicus* ANDR. (OOL est pourtant plus petit que l'ocelle antérieur); face postérieure des fémurs 3 avec des zones jaune ferrugineux pâle.

L'espèce est nouvelle pour la faune d'Égypte.

***M. aegyptius* MORICE**

Ouadi Digla: 23. III 2 ♀ 3 ♂; Ghizèh: 15. IV 1 ♂; Saqqara: 28. III 1 ♀ 2 ♂; Tell-el-Amarna: 8. III 4 ♂, 17-18. III 3 ♀; Louxor: 1. II 1 ♂; Edfou: 20-22. II 1 ♂.

Espèce connue en Égypte des environs du Caire (Abou Roasch, Helouan) et de Fayoum.

***M. pharaonis* ARN.**

Louxor: 20 et 23. I 2 ♂, 24. II 1 ♀; Edfou: 20-22. II 1 ♂.

En Égypte, l'espèce a été observé à Aboukir, à Saqqara et à Fayoum.

***M. sericeus* RAD.**

Tell-el-Amarna: 17-18. III 1 ♀, 20. III 1 ♀.

Espèce signalée en Égypte des environs de Caire et de Fayoum.

***M. ctenopus* KOHL**

Abou Roasch: 30. X 1 ♂, 1 XI 4 ♀ 1 ♂, 3. XI 2 ♂, 10. XI 5 ♀ 1 ♂, 26. III 1 ♂, 31. III 1 ♂, 11. V 1 ♀; Ghizèh: 5. XI 1 ♀, 16. XI 1 ♀, 2. XII 1 ♀, 20. IV 1 ♀, 5. V 1 ♀; Dahschour: 8. V 1 ♀; Kom Oshime: 19. XI 1 ♀, 2. IV 1 ♂, 19. IV 2 ♀, 4. V 1 ♂; Sinaï: Couvent Ste Catherine: 10. IV 1 ♂.

Espèce décrite de Thor dans la presqu'île du Sinaï, connue en Egypte du Caire et de Bekeihla.

***M. obscuritarsis* sp. n.**

Holotype: 1 ♀, Maadi, 23. IV. 1958. Allotype: 1 ♂, Ghizèh, 20. IV. 1958. Paratypes: 1 ♀, Ghizèh, 20. IV. 1958; 1 ♀, Maadi, 23. IV. 1958.

♀ — Pilosité du clypéus et de la partie inférieure du front bien développée, cachant le tégument; celle de la partie supérieure du front et du vertex extrêmement courte, laissant voir facilement la sculpture. Pilosité du thorax (y compris le propodéum) bien distincte, laissant par endroits difficilement voir la sculpture.

Lobe médian du clypéus (fig. 57) avec une convexité longitudinale brillante; lamelle régulièrement arquée, très légèrement déprimée au milieu; incisions latérales peu profondes. Bords internes des yeux légèrement concaves dans la partie supérieure du front et légèrement convexes dans la partie inférieure, nettement convergents vers le haut et divergents vers le bas de la tête. Scapes longs, presque 3,5 fois plus longs que leur plus grande largeur. Front avec une ligne médiane bien distincte, brillante et glabre, n'aboutissant pas jusqu'à l'ocelle antérieur. Vertex avec une très fine impression longitudinale, légèrement brillante. Sculpture du mésothorax fine et très dense, tégument mat. Face dorsale du propodéum irrégulièrement rugueuse, avec une impression médiane très finement striée transversalement; faces latérales irrégulièrement striées, avec tendance à la direction oblique. Côtés du 6^e tergite et du 6^e sternite avec de nombreuses soies noires très courtes.

Hanches 1 comme chez *M. ctenopus* KOHL, nettement plus longues que larges à la base. Épines du peigne spatulées (fig. 58), mais moins que chez l'espèce mentionnée; métatarse 1 avec 4 épines du côté externe; l'épine apicale est aussi longue que les articles 2 et 3 et la moitié du 4^e réunis. Long. 7–8 mm.

Tête et thorax noirs; mandibules jaune brun pâle, noires et brun ferrugineux dans le tiers apical; lamelle du clypéus transparente, brun ferrugineux; scapes jaunes en dessous; tubercules huméraux brun fer-

rugineux et jaune, au moins en arrière. Tegulae et plaques basales des ailes ferrugineuses, rembrunies au milieu. Abdomen ferrugineux. Expansions latérales du mésosternum, une partie des hanches, trochanters (sauf en dessus), fémurs et tibias ferrugineux; fémurs 1 plus ou moins noirs à la face postérieure; tibias 3 en partie foncés dans la région api-

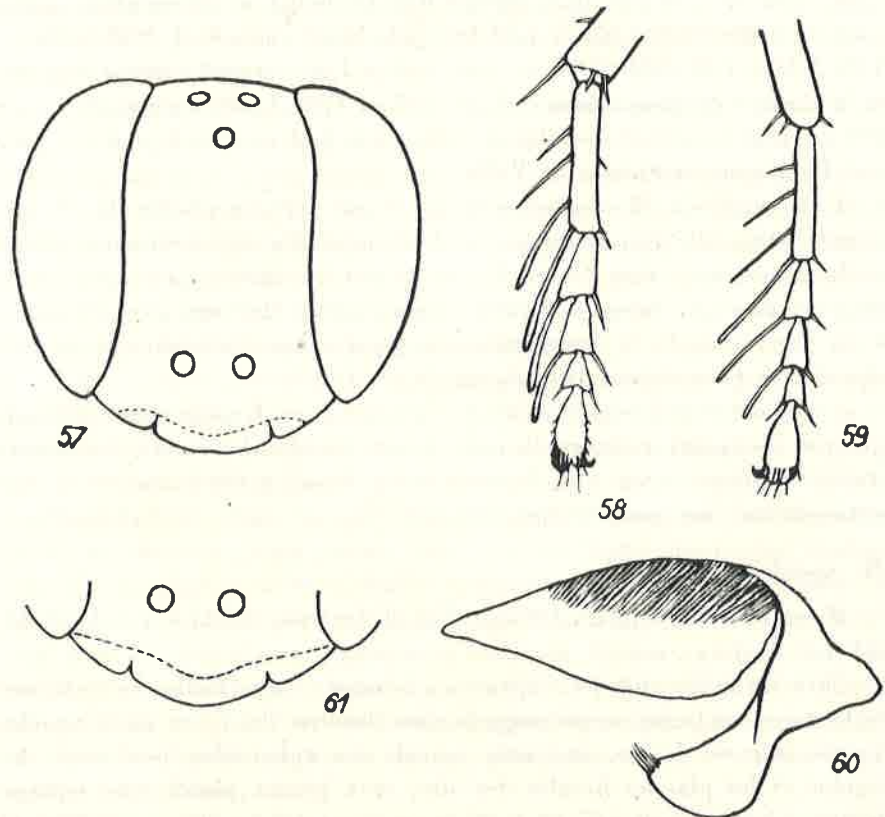


Fig. 57-60. *Miscophus obscuritarsis* sp. n.; 57 — tête de la ♀ vue par la face antérieure, 58 — tarse 1 de la ♀, 59 — tarse 1 d'une ♀ aberrante, 60 — gonoforceps.

Fig. 61. *Miscophus ctenopus* KOHL ♀ — clypéus.

cale; tarse 1 ferrugineux foncé, tarse 2 et 3 d'un ferrugineux très foncé, presque noirs. Zone apicale (sans cellules) de l'aile antérieure fortement enfumée, peu nettement limitée de la zone basale plus claire; nervures brunes, nervure costale brun ferrugineux dans la partie basale, nervure subcostale noire.

Une ♀ de Maadi diffère des deux autres exemplaires examinés par la face dorsale du propodéum finement et obliquement striée, par les épines du peigne (fig. 59) encore moins dilatées (à peine davantage que chez *M. dispersus* ANDR.), par la taille plus petite (6 mm.) et par les tegulae ferrugineuses, sans tache brune au milieu.

La largeur de la face, chez les 3 exemplaires examinés, respectivement 1,29, 1,36 et 1,38 fois plus grande que la distance interoculaire minimum; la face 1,65, 1,68, et 1,72 fois plus large qu'un oeil. POL:OOL = 1,15, 1,15 et 1,23. SOL:OOL = 1,31, 1,46 et 1,46; rapport entre la longueur et la hauteur du propodéum = 1,36, 1,37 et 1,40; la distance entre l'apex de la 2^e cellule cubitale et celui de l'aile 1,14, 1,14 et 1,15 fois plus grande que la largeur maximum de l'aile.

La femelle de *M. obscuritarsis* sp. n. est surtout proche de *M. ctenopus* KOHL; elle s'en distingue par le clypéus (fig. 61) nettement moins saillant, par les tarsi 2 et 3 foncés et par les épines du peigne moins larges. Chez *M. honorei* BALTH. (*rubriventris* HONORÉ nec FERTON), à en juger d'après la description, les tegulae sont jaunâtres et la face dorsale du propodéum striée finement et densément.

♂ — Très semblable à celui de *M. ctenopus* KOHL, n'en différant que par les épines externes du tarse 1 non dilatées, les tarsi plus foncés (tarsi 3 noirs, tarsi 1 et 2 ferrugineux foncé, presque noirs) et une autre forme des gonoforceps (fig. 60).

M. mochii ARN.

Maadi: 13. III 1 ♀, 29. III 2 ♀; Tell-el-Amarna: 8. III 3 ♀ 1 ♂, 17-18. III 1 ♀ 1 ♂.

Chez les mâles que j'ai capturés, les scapes sont jaunes, excepté une tache noire sur la face supérieure; la face interne du 1^{er} et du 2^e articles du funicule est jaune; la partie apicale des tubercules huméraux, les tegulae et les plaques basales des ailes sont jaunes plutôt que ferrugineuses; généralement le 5^e et le 6^e tergites sont brun clair, tout le reste de l'abdomen étant ferrugineux; fémurs 3 ferrugineux ou ne portant que de petites zones noires; les nervures des ailes antérieures sont ferrugineux très pâle (seule la nervure subcostale est plus foncée), brun ferrugineux assez clair chez un individu; ailes hyalines, tout au plus la zone sans cellules est très légèrement enfumée. Rapport entre la plus grande largeur de la face et la distance interoculaire minimum = 1,06-1,08-1,10; POL:OOL = 0,80-0,89-1,00; SOL:OOL = 0,73-0,84-0,91 (dix spécimens ont été mesurés).

En Egypte, *M. mochii* ARN. fut observé dans 3 localités: à Ouadi Digla, à Shaluf et à Ouadi Hoff.

***M. papyrus* ANDR.**

Abou Roasch: 1. XI 2 ♀, 10. XI 1 ♀, 31. III 1 ♀; Maadi: 22. XI 2 ♀, 29. III 2 ♀ 1 ♂ (j'ai désigné ce mâle comme allotype), 13. IV 1 ♀ 1 ♂; Kom Oshime: 2. IV 1 ♀ 1 ♂, 22. IV 1 ♂, 28. IV 2 ♀ 1 ♂, 4. V 2 ♀; Louxor: 18. I 2 ♂; Edfou: 20-22. II 3 ♂; Kom Ombo: 16-18. II 1 ♂; Ouadi Halfa: 8-10. II 2 ♂.

♂ (inédit) — Pilosité de la tête et du thorax argentée, avec un très léger reflet jaunâtre; sculpture du clypéus et de la partie inférieure du front cachée sous la pubescence couchée; sculpture de la partie supérieure du front difficilement reconnaissable; espaces oculo-ocellaire et interocellaire avec de poils fins et extrêmement courts qui laissent facilement voir le tégument. Pilosité du thorax bien développée, à peu près comme celle de la partie supérieure du front. La pruinosité argentée est développée sur les 5 premiers tergites abdominaux.

Lobe médian du clypéus (fig. 62) pointu. Bords internes des yeux presque parallèles dans la partie supérieure du front, très légèrement convexes dans la partie inférieure. Face, vertex, mésonotum et mésopleures mats, densément ponctués-rugueux; mésosternum finement sculpté, brillant. Face dorsale du propodéum finement et densément striée en chevrons, sans carène, avec une très légère impression médiane (striée elle aussi); faces latérales finement et obliquement striées, les stries anastomosées, plus ou moins régulières; espaces entre les stries, sur tout le propodéum, légèrement brillants. Epines externes du tarse 1 nettement plus longues que les internes; celle du métatarse nettement plus courte, celle de l'article 2 aussi longue ou un peu plus courte, celle de l'article 3 aussi longue ou un peu plus longue, que l'article suivant. Long. 4,5-6,5 mm.

Pointes terminales du sternite 8 (fig. 63) plus longues que chez *M. gallicus* KOHL; gonoforceps (fig. 64) semblables à ceux de *M. pardoi* GINER.

Tête et thorax noirs; mandibules jaunes, sauf à la base et à l'apex; partie antérieure des lobes latéraux du clypéus généralement jaune; scapes jaunes, avec une tache foncée à la face supérieure; extrémité du 1^{er} article du funicule, de même que la face interne du 1^{er} et du 2^e articles, jaunes; tubercules huméraux jaunes au moins dans la partie postérieure; tegulae et plaques basales des ailes jaunes, souvent plus ou moins rembrunies au milieu. Abdomen ferrugineux, plus ou moins foncé à

l'apex; chez les individus les plus clairs, seulement les tergites 4 et 5 sont brun clair; chez les individus foncés, seules les tergites 1 et 2 et les sternites 1-3 sont ferrugineux, tout le reste de l'abdomen étant brun. Hanches 1 jaune brun ou ferrugineux brun à l'apex; trochanters rarement entièrement noirs, généralement jaune brun ou ferrugineux brun, entièrement ou en partie; fémurs 1 noirs à la face postérieure; la face

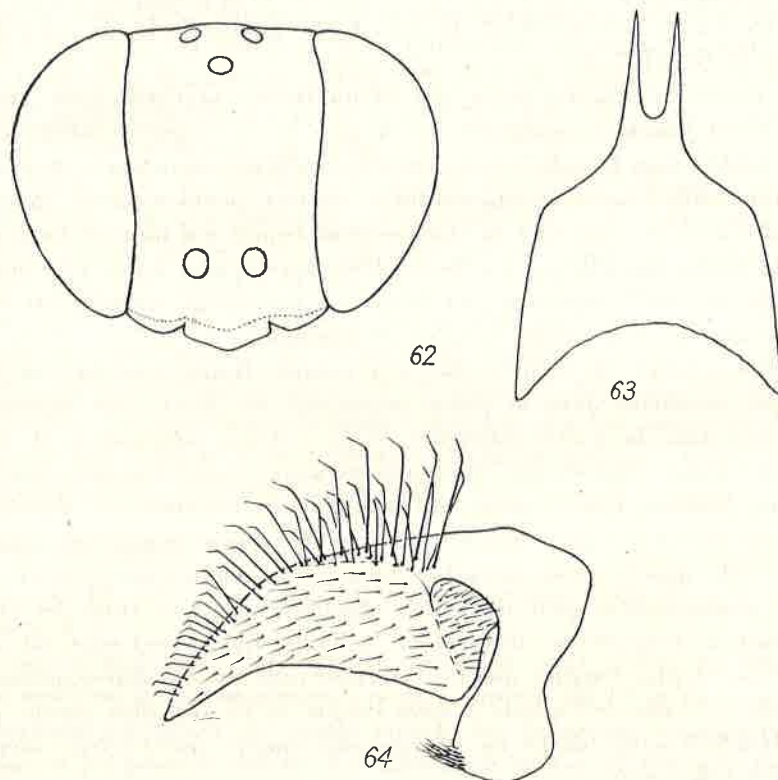


Fig. 62-64. *Miscophus papyrus* ANDR. ♂; 62 — tête vue par la face antérieure, 63 — huitième sternite, 64 — gonoforceps.

antérieure est ferrugineuse à la base et jaune à l'apex (l'une ou l'autre de ces couleurs peut être plus ou moins réduite); fémurs 2 et 3 ferrugineux ou plus ou moins obscurcis (chez certains spécimens les fémurs 3 sont noirs, sauf le quart apical), souvent plus ou moins jaunes à l'apex. Tibias ferrugineux, plus ou moins jaunes à la face supéro-externe; tibias 1 souvent noirs en dessous. Tarses bruns, métatarses ferrugineux jaunâtre. Partie apicale des ailes antérieures (zone sans cellules) enfumée,

mais assez faiblement, moins que chez *T. nigripes* HON.; nervure costale jaune à la base, brune dans la partie apicale.

Relation entre la longueur et la hauteur du propodéum = 1,50-1,70-1,90; relation entre la largeur de la face et la distance interoculaire minimum = 1,05-1,08-1,14; POL:OOL = 1,00-1,07-1,16; SOL:OOL = 0,88-0,94-1,22.

Le mâle de *M. papyrus* ANDR. se distingue aisément de *M. ctenopus* KOHL par l'absence de carène brillante sur le clypéus et de ligne brillante sur le front, par la face dorsale du propodéum striée en chevrons et par les fémurs 1 en bonne partie noirs; il diffère de *M. dispersus* ANDR. par l'absence de carène brillante sur le clypéus et de ligne brillante sur le front, par une autre forme de la tête (y compris la disposition des ocelles), par la pilosité beaucoup plus fournie de la partie supérieure du front, la face dorsale du propodéum striée en chevrons et par la présence de couleur jaune aux fémurs 1. C'est de *M. mochii* ARN. qu'il se rapproche le plus; ce dernier a cependant la zone apicale (sans cellules) des ailes antérieures hyaline ou très légèrement enfumée, les nervures des ailes ferrugineux clair ou brun ferrugineux clair (brunes chez *M. papyrus* ANDR.) et les mésopleures brillantes.

En Egypte, on a observé cette espèce au Caire, à Siala et à Abbasièh.

M. dispersus ANDR.

Abou Roasch: 17. V 1 ♀; Maadi: 13. IV 1 ♀; Kom Ombo: 16-18. II 1 ♀ 9 ♂; Ouadi Halfa: 8-10. II 3 ♂.

Les mâles que j'ai capturés correspondent parfaitement à la description de DE ANDRADE (1954) et ressemblent en même temps beaucoup aux femelles. Il me paraît certain que la correspondance des sexes admise par cet auteur est correcte.

Chez une des femelles, les fémurs sont presque entièrement ferrugineux (foncés à la face supérieure), chez une autre presque entièrement noirs (ferrugineux à l'extrémité).

L'espèce n'a pas encore été observée dans la Haute Egypte et en Nubie.

M. imitans GINER

Abou Roasch: 30. X 2 ♀, 3. X 1 ♀, 10. XI 1 ♀ 1 ♂, 17. V 1 ♀ 1 ♂; Ghizèh: 8. XI 1 ♀ 1 ♂, 17. XI 1 ♀, 24. XI 1 ♀, 13. III 1 ♀, 30. III 1 ♀, 20. IV 1 ♀, 5. V 1 ♀, 10. V 1 ♀; Ouadi Digla: 23. III 1 ♂; Maadi: 13. IV 1 ♀; Saqqara 27. IV 1 ♀; Kom Oshime: 2. IV 1 ♀ 2 ♂, 14. IV 2 ♀, 19. IV

2 ♀ 1 ♂, 28. IV 1 ♀; Tell-el-Amarna: 17-20. III 8 ♀ 2 ♂; Abydos: 3-5. III 1 ♀ 1 ♂; Louxor: 18. I 1 ♀, 22. I 2 ♀ 1 ♂, 23. I 1 ♀ 1 ♂, 25. I 1 ♂, 26. I 4 ♀, 27. I 1 ♂, 28. I 4 ♂, 2. II 2 ♂, 24. II. 2 ♂; Edfou: 20-22. II 1 ♂.

Connu en Egypte du Caire, de Kardasèh près du Caire et de Fayoum.

M. flavopictus sp. n.

Holotype: 1 ♀, Sinaï méridional, Couvent Ste Catherine, 10. IV. 1958; allotype: 1 ♂, même localité, 8. IV. 1958.

♀ — Pilosité de la tête forte, cachant entièrement la sculpture du clypéus et du front; sculpture de l'espace interocellaire et du vertex bien visible. Pilosité du thorax (y compris le propodéum) bien développée, mais laissant voir le tégument. Tous les tergites (sauf le 6^e) avec de la pruinosité argentée.

Lobe médian du clypéus plat, lamelle peu arquée, presque droite; incisions latérales à bord externe peu convexe (bord antérieur du lobe latéral régulièrement arqué). Bords internes des yeux presque parallèles dans la partie supérieure du front, divergents vers le bas dans la partie inférieure. Scapes courts, 2 fois plus longs que leur largeur maximum. Front et espace interocellaire sans impression médiane. Sculpture du thorax très fine et très dense, tégument mat. Face dorsale du propodéum chagrinée, sans stries et sans impression ni carène médiane; faces latérales très finement striées obliquement. Segment 6 sans soies noires très courtes.

Hanches antérieures 1,25 fois plus longues que larges à la base. Épines du peigne aiguës; métatarse 1 avec 3 épines du côté externe; épine apicale aussi longue que l'article 2 augmenté de $\frac{1}{3}$ de l'article 3 du tarse. Long. 7 mm.

Tête et thorax noirs, mandibules jaune pâle, presque noires dans le tiers apical. La moitié antérieure du clypéus jaune, seul le bord antérieur de la lamelle est brun. Scapes jaune pâle avec une tache noire à la face supérieure; les deux premiers articles du funicule jaune pâle en dessous, noirs en dessus. Tubercules huméraux jaune pâle; plaques basales des ailes antérieures et tegulae jaune ferrugineux, ces dernières avec une grande tache brune à la base. Abdomen ferrugineux clair. Expansions latérales du mésosternum à bord brun ferrugineux. Hanches 1-3 jaune brun à l'apex. Trochanters brun ferrugineux. Face inférieure des fémurs 1 brun ferrugineux, jaune pâle dans la moitié basale; face supérieure noire (sauf aux deux extrémités). Fémurs 2 brun ferrugineux,

jaune pâle à l'apex; face postérieure noire au milieu. Fémurs 3 brun ferrugineux, noircis à la base de la face interne. Tibias 1-3 jaune pâle en dessus, brun ferrugineux à la face inférieure. Métatarses 1-3 jaune pâle, articles 2-5 des tarsi bruns. Ailes hyalines, légèrement enfumées dans la zone sans cellules (elle est fortement enfumée près du bord antérieur). Nervures brunes, nervure costale jaune pâle.

Distance entre l'apex de la 2^e cellule cubitale et celui de l'aile 1,11 fois plus grande que la largeur maximum de l'aile; la largeur de la face 1,15 fois plus grande que la distance interoculaire minimum; face 1,17 fois plus large qu'un oeil. POL:OOL = 1,32. SOL:OOL = 1,45. VOL un peu plus petit que 1 $\frac{1}{2}$ de l'ocelle antérieur. Propodéum 2,16 fois plus long que haut.

♂ — Pilosité du corps comme chez la femelle, mais plus courte et moins fournie. Lobe médian du clypéus peu proéminent, presque plat, entièrement velu; lamelle légèrement arquée, incisions latérales larges et peu profondes. Bords internes des yeux et sculpture du thorax comme chez la femelle; face dorsale du propodéum avec des stries microscopiques très denses, avec une impression médiane dans la moitié postérieure. Epines externes du tarse 1 plus longues que les internes, mais plus courts que l'article suivant. Long. 4,5 mm.

Tête et thorax noirs; clypéus jaune pâle, lobe médian avec une tache brune à la base; lamelle brunâtre. Mandibules (sauf dans le tiers apical) et tubercules huméraux jaune pâle. Coloration des antennes comme chez la femelle. Tegulae et plaques basales des ailes antérieures brun ferrugineux mêlé de jaune. Abdomen ferrugineux, tergites 4-6 noirs, derniers sternites légèrement rembrunis. Hanches 1-3 à l'extrémité et expansions latérales du mésosternum jaunes. Coloration des pattes et des ailes comme chez la femelle, mais les fémurs 2 et 3 sont un peu plus foncés.

Sternite 8 comme chez *M. gallicus* KOHL; gonoforceps comme chez *M. ceballosi* ANDR., mais avec des poils beaucoup plus longs; il y a en particulier une rangée de poils à son bord supérieur; ceux-ci sont cependant dirigés en bas chez l'exemplaire examiné.

Rapport entre la longueur et la hauteur du propodéum = 1,90; rapport entre la largeur maximum de la face et la distance interoculaire minimum = 1,06. POL:OOL = 1,36 SOL:OOL = 1,27.

M. flavopictus sp. n. est voisin de *M. hebraeus* ANDR., mais s'en distingue par les pattes beaucoup plus claires, par le clypéus taché de jaune, par la face dorsale du propodéum sans zone médiane, par les ailes presque hyalines, la ♀ de plus par son abdomen ferrugineux clair et le ♂ par

le lobe médian du clypéus non anguleux. La nouvelle espèce est très semblable à *M. punicus* ANDR., dont elle est peut être une sous-espèce; elle en diffère par les tibias en grande partie jaunes, les tubercules huméraux jaunes, la face dorsale du propodéum sans zone médiane striée et les nervures des ailes plus foncées.

***M. nigripes* HON. (*lotus* ANDR.)**

Abou Roasch: 30. X 5 ♀, 1. XI 8 ♀, 3. XI 3 ♀, 10. XI 5 ♀, 11. XI 2 ♀, 23. XI 2 ♀, 26. III 1 ♀, 6. V 2 ♂; Ghizèh: 17. XI 2 ♀, 2. XII 2 ♂, 17. XII 2 ♂, 13. III 1 ♂; Ouadi Digla: 25. XI 1 ♀ 1 ♂, 23. III 1 ♀ 2 ♂; Saqqara: 28. III 1 ♂, 3. IV 1 ♀; Kom Oshime: 2. IV 1 ♀, 14. IV 1 ♂, 22. IV 1 ♀, 28. IV 3 ♀ 1 ♂, 9. V 2 ♀, 13. V 1 ♀; Tell-el-Amarna: 8. III 2 ♂, 17-20. III 1 ♀ 1 ♂; Abydos: 3-5. III 2 ♀ 9 ♂; Louxor: 20. I 1 ♂, 22-23. I 8 ♀ 2 ♂; 28. I 1 ♀ 9 ♂; 30. I 1 ♂, 1. II 1 ♀ 9 ♂, 2. II 1 ♀ 7 ♂, 24. II 5 ♂, 25. II 5 ♀ 3 ♂, 26. II 1 ♀ 11 ♂, 27. II 1 ♀; Edfou: 20-22. II 2 ♀ 2 ♂.

L'espèce n'était connue jusqu'à présent que des environs immédiats du Caire.

***M. funebris* HON.**

Kom Ombo: 16-18. II 1 ♀ 7 ♂ (dont j'ai désigné un mâle comme allotype).

Cette espèce, décrite d'après 2 femelles de Hawamdièh (environs du Caire), n'a pas été prise en considération par DE ANDRADE. Elle est un représentant typique du groupe *M. gallicus* KOHL.

♀ — Pilosité du clypéus et du front très faible, laissant partout voir facilement la sculpture; celle de la partie supérieure du front pratiquement inexistante; vertex sans poils distincts. Pilosité du thorax extrêmement courte, distincte seulement par endroits.

Lobe médian du clypéus (fig. 65) peu proéminent, brillant au milieu, avec une convexité médiane; lamelle presque transversale; incisions latérales profondes. Bords internes des yeux convergents vers le haut, à peine concaves dans la partie supérieure du front et à peine convexes dans la partie inférieure. Scapes plutôt courts, 2,4 fois plus longs que leur plus grande largeur. Front avec une fine ligne médiane brillante, n'aboutissant pas à l'ocelle antérieur. Vertex sans impression. Front et mésothorax mats, à sculpture très fine et très dense. Face dorsale du propodéum finement coriacée-granuleuse, avec une carène médiane distincte; faces latérales irrégulièrement et assez fortement rugueuses,

les espaces brillants entre les rugosités. Tergite 6 et sternite 6 sans soies noires très courtes.

Hanches antérieures 1,33 fois plus longues que larges à la base. Epines du peigne simples; métatarse 1 avec 3 épines du côté externe; l'épîne apicale est aussi longue que l'article suivant. Long. 6,5 mm.

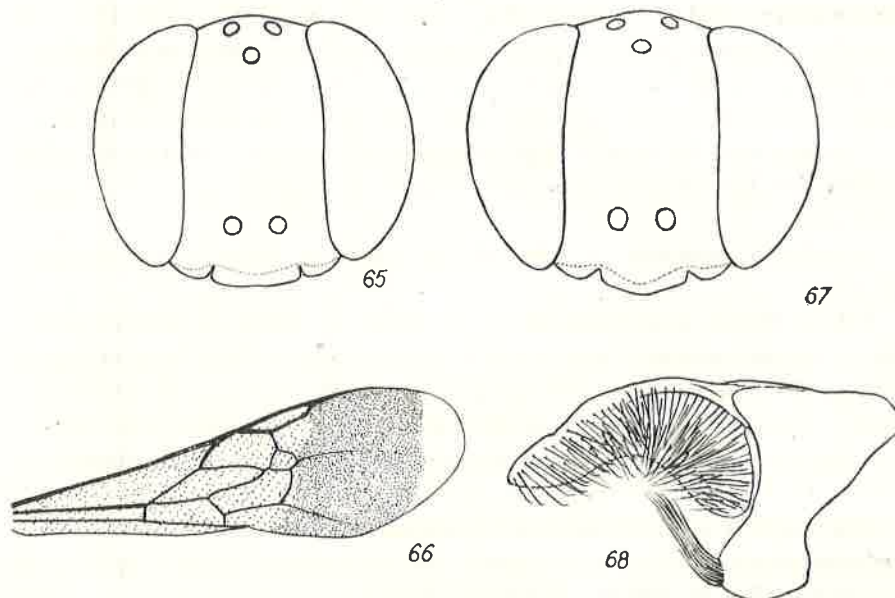


Fig. 65-68. *Miscophus funebris* HON.; 65 — tête de la ♀ vue par la face antérieure, 66 — aile antérieure de la ♀, 67 — tête du ♂ vue par la face antérieure, 68 — gonoporceps.

Tête et thorax noirs, mandibules brun ferrugineux au milieu; scapes jaune brun pâle en dessous; tegulae noires, à bords brun foncé; plaques basales des ailes antérieures noires, brunes par endroits; il y a de petites taches brunes à l'extrémité des hanches 1-3 et des expansions latérales du mésosternum. Abdomen noir, la base du 1^{er} tergite brun ferrugineux. Pattes noires. Zone apicale (sans cellules) des ailes antérieures (fig. 66) fortement enfumée, blanc laiteux à l'extrémité; la bande enfumée ainsi formée a les deux bords assez distinctement délimités. Nervures brun foncé.

Distance entre l'apex de la 2^e cellule cubitale et celui de l'aile 1,18 fois plus grande que la largeur maximum de l'aile; la largeur de la face 1,43 fois plus grande que la distance interoculaire minimum; face 1,48

fois plus large qu'un œil. POL:OOL = 1,30. SOL:OOL = 1,70 Propodéum 1,46 fois plus long que haut.

♂ (inédit) — Pilosité du clypéus un peu plus développé que chez la femelle, mais laissant voir la sculpture; pilosité du thorax et de la partie inférieure du front faible, celle de la partie supérieure du front pratiquement inexistante. Seul le 1^{er} tergite montre de la pruinosité argentée sur les côtés.

Lobe médian du clypéus (fig. 67) peu proéminent, convexe et brillant au milieu; lamelle légèrement arquée, incisions latérales profondes. Bords internes des yeux, de même que la sculpture de la tête et du thorax, comme chez la femelle. Epines externes du tarse 1 nettement plus longues que les internes, mais plus courtes que l'article suivant. Long. 4-5,5 mm.

Sternite 8 semblable à celui de *M. papyrus* ANDR.; gonoforceps: fig. 68.

Tête et thorax noirs; mandibules au milieu et scapes en dessous jaune pâle, semi-transparentes; tubercules huméraux bruns dans la partie postérieure (la zone brune parfois très petite); tegulae noires, à bords bruns; plaques basales des ailes en majeure partie noires. Abdomen noir; tergite 1 (sauf à l'extrémité), angles antérieurs du 2^e tergite, 1^{er} sternite et la base du 2^e sternite, ferrugineux; partie apicale du 1^{er} tergite et le 2^e sternite (sauf à la base) brun ferrugineux. Fémurs noirs, fémurs 2 et 3 généralement rembrunis, en partie ou entièrement. Tibias noirs, généralement plus ou moins rembrunis. Tarses noirs. Coloration des ailes comme chez la femelle.

Relation entre la largeur maximum de la face et la distance interoculaire minimum = 1,25-1,27-1,28. POL:OOL = 1,30-1,36-1,40; SOL:OOL = 1,30-1,35-1,40.

M. similis F. MOR.

Sinaï mér., Couvent Ste Catherine: 10. IV 1 ♀.

♀ — Pilosité de la tête fortement développée, cachant entièrement la sculpture du clypéus et du front; sculpture de l'espace interoculaire et du vertex difficilement reconnaissable. La pilosité du thorax (y compris le propodéum) laisse difficilement voir le tégument et le cache entièrement par endroits. Tergite 1 avec de la pruinosité argentée bien distincte; elle est également présente sur les tergites suivants.

Lobe médian du clypéus (fig. 69) plat, lamelle faiblement arquée (sauf à ses angles latéraux); incisions latérales larges. Bords internes des yeux très légèrement concaves dans la partie supérieure du front

et très légèrement convexes dans la partie inférieure, peu nettement convergents vers le haut. Scapes courts, 2,2 fois plus longs de leur largeur maximum. Il n'y a pas d'impression médiane sur le front et sur l'espace interocellaire. Sculpture du thorax très fine et très dense, téguement mat. Face dorsale du propodéum finement et obliquement striée, avec une impression médiane peu distincte dans la moitié postérieure; faces latérales à sculpture granuleuse, avec tendance à la striation transversale. Segment 6 avec les longues soies habituelles, sans soies noires très courtes.

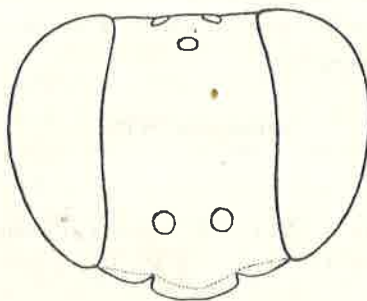


Fig. 69. *Miscophus similis* F. MOR. ♀ — tête vue par la face antérieure.

Hanches 1 à peu près comme chez *M. imitans* GINER, nettement moins longues que chez *M. ctenopus* KOHL. Epines du peigne aiguës: métatarse 1 avec 4 épines du côté externe; épine apicale égalant la longueur du 2^e article du tarse augmentée de la moitié de l'article 3. Long. 8 mm.

Tête et thorax noirs; mandibules jaunes, foncées dans le tiers apical; lamelle du clypéus brune, semi-transparente; scapes jaunes, avec une tache noire en dessus; pédicelles jaunes, avec une tache noire à la face externe; articles 3 et 4 des antennes jaunes à la face interne, article 5 jaune brunâtre, articles 6 et 7 bruns, article 8 presque noir; la face externe du 3^e article est foncée à la base et à l'apex; face externe des articles suivants brune; trois derniers articles noirs. Tubercules huméraux jaune pâle. Tegulae et plaques basales des ailes antérieures jaunes, très légèrement rembrunies. Abdomen ferrugineux pâle, avec de grandes taches jaunes; premier tergite en majeure partie jaune. Expansions latérales du mésosternum à bords brun ferrugineux. Hanches ferrugineux jaunes dans la partie postérieure; trochanters, fémurs, tibias et tarses ferrugineux clair, fémurs 1 avec une zone noire à la face postérieure. Ailes non enfumées, avec un reflet laiteux bien distinct; nervures jaune pâle, seule la nervure subcostale est brun foncé.

Distance entre l'apex de la 2^e cellule cubitale et celui de l'aile 1,05 fois plus grande que la largeur maximum de l'aile; la largeur de la face 1,18 fois plus grande que la distance interoculaire minimum; face 1,54 fois plus large qu'un oeil. POL:OOL = 0,88. SOL:OOL = 1,06. VOL presque 4 fois plus petit que POL et plus petit que la moitié du diamètre d'un ocelle postérieur. Propodéum 1,18 fois plus long que haut.

Cette femelle, qui montre tous les caractères du groupe de *M. gallicus* KOHL. correspond bien à la description de *M. similis* F. MOR.; cependant, le bord antérieur de son clypéus n'est pas jaunâtre, les ailes antérieures n'ont pas de tache foncée et l'abdomen n'est pas rouge pur. Il ne m'est pas possible de dire s'il s'agit là d'une variation individuelle ou des différences spécifiques.

Solierella SPIN.

S. aegyptia KOHL

Kom Oshime: 14. IV 1 ♂, 13. V 1 ♂ (que j'ai désigné comme allotype). Assouan: 5. II 4 ♂, 13-15. II 1 ♀ 2 ♂. J'ai aussi examiné le type de cette espèce.

Mandibules sans lobe au bord inférieur. Joues très courtes, leur plus faible longueur environ 4 à 5 fois plus courte que le diamètre de l'ocelle antérieur. Front chagriné, ponctué-rugueux, les espaces mats, nettement plus petits que les points. OOL égalant le diamètre d'un ocelle postérieur. Côtés de la face dorsale du propodéum n'ayant qu'en avant des poils, qui sont très courts, peu denses et peu visibles.

♀ — Lobe médian du clypéus nettement convexe, avec une carène longitudinale dans la partie basale; il est très finement et très densément ponctué sur les côtés, lisse et brillant en avant; il n'y a pas de gros points; le bord antérieur est largement et régulièrement arqué. Troisième article des antennes 1,2 à 1,25 fois plus long que large, septième et huitième articles 1,2 à 1,3 fois plus longs que larges. Callosité supraantennaire distincte, sans carène; sa partie supérieure, légèrement brillante, montre une ponctuation moins dense que le reste du front. Espace oculo-postocellaire brillant, sans points près de l'ocelle, ponctué près de l'ocel. POL:OOL = 1,6-1,8; SOL:OOL = 1,2. Vertex mat, finement et densément ponctué, les espaces entre les points formant de très fines stries transversales. Mésonotum et scutellum brillants, à ponctuation distincte; les espaces légèrement plus petits que les points. Épisternes mats, densément ponctué (les espaces plus petits que les points); partie supérieure des épimères entièrement lisse, brillante et imponctué; partie

inférieure des épimères légèrement chagrinée, à ponctuation dense dans la moitié antérieure (les espaces à peu près aussi grands que les points), très espacée le long des métapleures. Aire dorsale du propodéum brillante, nettement limitée par des carènes, droites et bien développées; elle est fermée à l'apex de la face dorsale par une carène transversale; il y a une carène médiane et d'autres carènes peu serrées, parallèles ou plus ou moins divergentes. Faces latérales du propodéum striées obliquement; face postérieure striée transversalement, avec une aire médiane triangulaire. Abdomen brillant, légèrement chagriné; tergite 1 à ponctuation fine mais distincte, les suivants à ponctuation de plus en plus effacée. Aire pygidiale finement réticulée. Tarse 1 sans peigne. Cellule radiale 3,2-3,4 fois plus longue que large (dimensions intérieures); la 2^e cellule cubitale avec un pétiole plus court qu'un de ses côtés; la 1^{ère} nervure récurrente aboutit dans la partie terminale de la 1^{ère} cellule cubitale, la 2^e un peu après le milieu de la 2^e cellule cubitale. Nervulus nettement antéfurcal (de la moitié de sa longueur). Long. 4,3-4,5 mm.

Corps noir. Mandibules ferrugineuses dans la moitié distale, à pointe foncée. Sont d'un jaune blanchâtre: 2 longues taches au collare, les tubercules huméraux, le postscutellum, la partie antérieure des tegulae et des plaques précostales, une petite tache à l'apex des fémurs 1 (à leur face externe) et la face externe des tibias 1-3 (sauf la partie apicale qui est noire). Nervures des ailes brun foncé.

♂ (inédit) — Lobe médian du clypéus convexe, finement et densément ponctué, avec une zone médiane brillante qui montre quelques points plus gros; il est caréné dans la partie basale; son bord antérieur, en arc très accusé, montre une pointe médiane (fig. 70). Antennes de 13 articles, le troisième 1-1,3 fois plus long que large; 7^e et 8^e articles à peu près aussi longs que larges, avant-derniers articles nettement plus larges que longs; le dernier article est 2,4-2,7 fois plus long que large, égalant les 4 articles précédents réunis. Callosité supraantennaire peu distincte, avec une carène longitudinale (sauf dans la partie supérieure). Espace oculo-postocellaire brillant, imponctué (sauf près des yeux, où les points sont assez serrés). POL:OOL = 1,65-1,85; SOL:OOL = 1,1-1,35. Vertex brillant, à ponctuation fine et peu distincte, les espaces à peu près aussi grands que les points, avec une très légère microsculpture. Mésonotum et scutellum brillants, à ponctuation distincte, les espaces à peu près aussi grands (plus grands parfois) que les points. Mésopleures brillantes; épisternes avec des espaces à peu près aussi grands que les points, rarement plus petits; partie supérieure des épimères lisse, imponctué; partie inférieure des épimères, dans la moitié

supérieure, avec des espaces plus grands que les points, parfois à peu près aussi grands que les points; elle est presque imponctuée le long des métapleures. Aire dorsale du propodéum brillante, avec une fine microsculpture de base, nettement limitée par une carène droite, fermée à l'apex par une carène transversale; il y a de fortes stries: une médiane et d'autres divergentes, dans la moitié basale; elles sont assez fines chez le plus petit exemplaire; il y a parfois une strie transversale dans la partie postérieure et dans certains cas la striation devient irrégulière. Faces latérales du propodéum finement striées obliquement, parfois entièrement lisses; face postérieure striée transversalement, avec une aire médiane triangulaire finement sculptée. Premier tergite abdominal lisse, à ponctuation fine mais distincte; les tergites suivants légèrement chagrinés, à ponctuation de plus en plus fine. Métatarse 3 très légèrement courbé en vue dorsale; sa face ventrale est échancrée et pourvue de longs cils sur $\frac{3}{5}$ environ de sa longueur. Cellule radiale 3-3,4 (3,25) fois plus longue que large (dimensions intérieures); forme de la 2^e cellule cubitale variable, son pétiole peut être presque aussi long ou 3 fois plus court qu'un de ses côtés; la 1^{ère} nervure récurrente aboutit dans la partie terminale de la 1^{ère} cellule cubitale, la 2^e aboutit après le milieu (parfois au milieu) de la 2^e cellule cubitale. Nervulus antéfurcal de la moitié à un tiers de la longueur. Long. 2,7-3,3 mm.

Corps noir. Mandibules ferrugineuses au milieu. Sont d'un jaune blanchâtre: 2 longues taches au collare, les tubercules huméraux, la partie antérieure des tegulae, une petite tache au bord antérieur des plaques précostales (parfois absente), le postscutellum (parfois noir au milieu), une tache à l'apex des fémurs 1 (à leur face externe), la face externe des tibias (un cinquième apical des tibias 3 est noir). Métatarses 1-3 jaunâtres, les articles suivants des tarses de plus en plus foncés, article 5 brun foncé. Nervures des ailes brun foncé.

Cette espèce est certainement bien proche de *S. antennalis* BEAUM. (dont la femelle est encore inconnue); chez cette dernière, cependant, la couleur jaune envahit une plus grande partie des tibias et les tarses, les nervures sont d'un ferrugineux clair et la sculpture de l'aire dorsale du propodéum semble plus fine.

***S. longicornis* sp. n.**

Holotype: 1 ♂, Kom Oshime, 14. IV. 1958.

♂ — Mandibules sans lobe au bord inférieur. La plus faible longueur des joues un peu plus courte que le diamètre de l'ocelle antérieur. Lobe

médian du clypéus fortement convexe longitudinalement, caréné à la base; il est très finement et très densément ponctué sur les côtés, il est lisse et montre quelques points plus forts en avant; le bord antérieur présente une pointe très aiguë. Antennes de 13 articles, minces à la base et s'épaississant sensiblement vers l'extrémité; le troisième article est presque aussi long que le 2^e, 1,2 fois plus long que large; les 3 articles suivants sont légèrement plus longs que larges, ceux qui suivent sont plus larges que longs; le dernier article est environ 4 fois plus long que sa plus grande largeur, égalant à peu près les 6 articles précédents réunis. Front nettement chagriné, tout à fait mat, ponctué-rugueux; la callosité supraantennaire est assez distincte et montre de faibles traces d'une carène en V; l'espace entre les deux bras de la carène est légèrement brillant, moins densément ponctué que le reste du front, et montre une très petite fossette. Espace oculo-postocellaire lisse, avec quelques points (surtout près des yeux). POL:OOL = 1,8, SOL:OOL = 1,1, OOL égalant le diamètre d'un ocelle postérieur. Vertex brillant, à ponctuation très dense et très fine mais assez distincte. Mésonotum et scutellum brillants, les espaces un peu plus petits que les points. Mésopleures distinctement ponctuéées, les espaces distinctement plus petits que les points; épisternes et la partie supérieure des épimères chagrinés, la partie inférieure des épimères brillante; partie supérieure des épimères imponctuéée en arrière sur un tiers à un quart de la surface (l'espace imponctué est chagriné aussi). Aire dorsale du propodéum à bords externes convexes mais peu distincts, limitée par une fine carène; elle est chagrinée et montre des stries irrégulières et distinctes; celles-ci sont longitudinales dans la moitié basale et transversales en arrière. Côtés de la face dorsale du propodéum avec une pilosité courte et peu dense mais cependant distincte; faces latérales du propodéum striolées obliquement; face postérieure finement striée transversalement, avec une aire médiane chagrinée dans le haut. Abdomen brillant, finement mais distinctement ponctué. Métatarse 3 légèrement courbé en vue dorsale; la moitié basale de sa face ventrale est échancrée et montre des cils assez longs. Cellule radiale 3,4 fois plus longue que large (dimensions intérieures); la 2^e cellule cubitale avec un pétiole 3 fois plus court que son côté distal; la 1^{re} nervure récurrente est interstitielle avec la 1^{re} nervure cubitale, la 2^e aboutit un peu après le milieu de la 2^e cellule cubitale. Nervulus interstitiel. Long. 3,8 mm.

Corps noir. Mandibules ferrugineux jaunâtre au milieu; sont d'un jaune blanchâtre: 2 longues taches au collare, les tubercules huméraux, la moitié antérieure des tegulae, une bande étroite sur les plaques pré-

costales, le postscutellum, une assez grande tache à l'extrémité des fémurs 1, une plus petite tache à l'extrémité des fémurs 2, l'apex des fémurs 3, toute la face externe des tibias, les métatarses (sauf la base du métatarse 1); articles des tarsi bruns, les derniers brun foncé. Nervures des ailes brunes.

Femelle inconnue.

Par la forme de ses antennes et le nombre de leurs articles, cette espèce se rapproche de *S. aegyptia* KOHL. et de *S. antennalis* BEAUM. dont il se distingue par une autre sculpture des mésopleures; le dernier article des antennes est plus long que chez ces espèces.

S. nigradorsum sp. n.

Holotype: 1 ♀, Ghizèh, 15. IV. 1958. Paratypes: Ghizèh: 25. IV 1 ♀; Maadi 18. V 1 ♀.

♀ — Mandibules sans lobe au bord inférieur. La plus faible longueur des joues environ 3 fois plus courte que le diamètre de l'ocelle antérieur. Lobe médian du clypéus convexe, avec une carène longitudinale dans la moitié basale; il est très finement et très densément ponctué sur les côtés, lisse en avant; il y a de gros points près de la partie lisse; son bord antérieur est largement et régulièrement arqué. Troisième article des antennes 1,4–1,6 fois plus long que large, articles médians à peine plus longs que larges. Front chagriné, à ponctuation fine et dense; les espaces, un peu plus petits que les points, ont tendance à former des stries longitudinales; il n'y a pas de carènes. La callosité supraantennaire est très peu marquée et montre une petite plage lisse dans sa partie supérieure. Espace entre les ocelles postérieurs et les yeux avec une fine microsculpture, peu brillant. POL:OOL = 1,45, 1,6 et 1,7 chez les exemplaires examinés; SOL:OOL = 0,9, 1 et 1,1; OOL plus grand que le diamètre d'un ocelle postérieur. Vertex chagriné, à ponctuation fine et dense, peu distincte. Mésonotum brillant, légèrement chagriné, à ponctuation fine et distincte, pas très dense (les espaces sont, sauf en avant, un peu plus grands que les points, nettement plus grands que les points aux angles postérieurs). Sur le scutellum, les espaces sont plus grands que les points. Mésopleures chagrinées et légèrement brillantes, finement et densément ponctuées, sauf le long des métapleures; partie supérieure des épimères entièrement lisse, brillante, imponctué. Aire dorsale du propodéum à bords externes presque droits, peu distinctement limitée par une carène; elle est chagrinée et montre des stries irrégulières, longitudinales au milieu, obliques à la base et transversales

à l'apex (les stries sont à peu près aussi fortes que la carène); côtés de la face dorsale glabre chez un spécimen, avec des poils courts, peu denses et peu distincts chez les deux autres; faces latérales du propodéum striées obliquement; face postérieure striée transversalement, avec deux carènes longitudinales au milieu. Abdomen légèrement chagriné, demi-brillant, avec une ponctuation très fine. Aire pygidiale brillante, très finement réticulée. Tarse 1 sans peigne. Cellule radiale 3,3 fois plus longue que large (dimensions intérieures); la 2^e cellule cubitale avec un pétiole plus court que ses côtés; la 1^{ère} nervure récurrente aboutit dans la 1^{ère} cellule cubitale, la 2^e un peu après le milieu de la 2^e cellule cubitale. Nervulus peu antéfurcal. Long. 3,5-3,7 mm.

Corps noir. Mandibules jaunâtres, noires à la base et foncées à l'apex. Sont d'un jaune blanchâtre: les tubercules huméraux, les tegulae (sauf à la base), les plaques précostales, une assez grande tache à l'extrémité des fémurs 1, une plus petite tache à l'extrémité des fémurs 2, l'apex des fémurs 3, la face dorsale et une partie des faces latérales des tibias 1-3; tarses bruns, métatarses 2 et 3 jaunâtres. Dépressions apicales des segments abdominaux décolorées. Nervures des ailes brun pâle.

Mâle inconnu.

Par la sculpture de ses mésopleures et de l'aire dorsale du propodéum, *S. nigridorsum* sp. n. ressemble à *S. antennalis* BEAUM.; elle en diffère par le collare, le postscutellum et les tarses sans couleur jaune. L'état actuel de nos connaissances du genre ne permet pas de savoir, s'il s'agit des deux sexes d'une seule et même espèce ou bien des deux espèces distinctes.

S. pectinata sp. n.

Holotype et paratype: 2 ♀, Saqqara, 24 et 28. III. 1958.

♀ — Mandibules (fig. 71) avec un lobe arrondi au bord inférieur et présentant donc une échancrure vers le milieu de leur longueur. La plus faible longueur des joues à peine plus courte que le diamètre de l'ocelle antérieur. Lobe médian du clypéus nettement convexe, légèrement caréné longitudinalement chez un individu; il est lisse et brillant en avant, très finement et densément ponctué sur les côtés; son bord antérieur est largement et régulièrement arqué. Troisième article des antennes presque 1,2 fois plus long que large, articles médians légèrement plus longs que larges. Front brillant chez un exemplaire et chagriné chez l'autre, à ponctuation fine et dense (les espaces presque linéaires, un peu plus petits que les points); il n'y a pas de carènes. La callosité supra-

antennaire est très peu marquée, sa partie supérieure montre une petite fossette oblongue. Espace oculo-postocellaire lisse ou plus ou moins chagriné, sans points. POL:OOL = 2,1 et 2,25 chez les deux exemplaires examinés, SOL:OOL = 1,4 et 1,5. OOL égalant le diamètre d'un ocelle postérieur. Vertex fortement chagriné, avec une ponctuation dense, très fine, superficielle et peu distincte. Mésonotum très légèrement chagriné, à ponctuation distincte et pas très dense, les espaces un peu plus grands que les points; sur le scutellum, les espaces sont un peu plus petits que les points, ceux-ci un peu plus fins que sur le mésonotum. Mésopleures densément ponctuées; la partie supérieure des épimères impunctuée, brillante, très légèrement chagrinée. Aire dorsale du propodéum à bords externes presque droits, limitée par une carène; elle est fortement chagrinée et montre de très fines stries transversales; côtés de la face dorsale avec une pilosité courte mais distincte; faces latérales striées obliquement; face postérieure striée transversalement, avec une aire médiane chagrinée, courte et large, dans le haut. Abdomen légèrement chagriné, demi-brillant, avec une ponctuation excessivement fine, un peu plus forte sur le 1^{er} tergite. Aire pygidiale brillante, avec des points ultra-fins espacés. Tarse 1 avec un peigne distinct: il y a une épine aiguë à l'apex des 4 premiers articles; celles des articles 1-3 sont nettement plus longues que le diamètre des articles. Cellule radiale 3 fois plus longue que large (dimensions intérieures); la 2^e cellule cubitale avec un pétiole plus court que ses côtés; la 1^{ère} nervure récurrente aboutit dans la partie terminale de la 1^{ère} cellule cubitale, la 2^e un peu après le milieu de la 2^e cellule cubitale. Nervulus interstitiel ou peu antéfurcal. Long. 3,3 mm.

Corps noir. Mandibules jaunâtres, noires à la base et foncées à l'apex. Sont d'un jaune blanchâtre: 2 longues taches au collar, les tubercules huméraux, le postscutellum, une assez grande tache à l'extrémité des fémurs 1, une plus petite tache à l'extrémité des fémurs 2, l'apex des fémurs 3 et les tibias; ces derniers sont noirs en dessous, tibias 1 et 2 aussi à la face antérieure. Tarses bruns. Tegulae brunes à la base, jaune blanchâtre au milieu et transparentes au bord; plaques précostales jaune blanchâtre, avec une grande tache brune. Dépressions apicales des segments abdominaux décolorées. Nervures des ailes antérieures jaunâtres et brun pâle.

Mâle inconnu.

Par la forme des mandibules et la fine sculpture de l'aire dorsale du propodéum, *S. pectinata* sp. n. se rapproche particulièrement de *T. mandibularis* BEAUM. (dont un seul mâle est connu). La sculpture des méso-

pleures est cependant différente chez les deux formes et montre qu'elles sont des espèces distinctes et non deux sexes d'une seule espèce. Un des caractères les plus frappants de *S. pectinata* sp. n. est la présence d'un peigne aux tarsi 1.

S. dispar sp. n.

Holotype: 1 ♀, Abou Roasch, 16. IV. 1958. Allotype: 1 ♂, même localité et date. Paratypes: Abou Roasch: 16. IV 7 ♀ 4 ♂; Saqqara: 18. IV 2 ♂; Kom Oshime: 13. V 1 ♀.

♀ — Mandibules avec un lobe arrondi au bord inférieur. La plus petite longueur des joues environ 3 fois plus courte que le diamètre de l'ocelle antérieur. Lobe médian du clypéus régulièrement bombé, sans carène à la base; il est très finement et très densément ponctué sur les côtés, et montre une aire apicale assez grande, lisse et brillante; on aperçoit quelques gros points à la limite de la partie brillante et de la partie pointillée; le bord antérieur du lobe médian est légèrement et régulièrement arqué et présente un très petit tubercule de chaque côté. Troisième article des antennes 1,2-1,4 fois plus long que large; septième et huitième articles 1,2-1,3 fois plus longs que larges. Front nettement chagriné, à ponctuation fine et dense, superficielle et peu distincte. Callosité supra-antennaire peu distincte, sans carène, avec une très petite fossette, brillante ou chagrinée, dans sa partie supérieure. Espace oculo-postocellaire chagriné, avec quelques points peu distincts. POL:OOL = 1,45-1,65; SOL:OOL = 1-1,25. Vertex chagriné, à ponctuation dense, irrégulière et superficielle, peu distincte. Mésonotum (sauf en avant) et scutellum brillants, à ponctuation fine mais nette; les espaces distinctement plus grands que les points sur le mésonotum, aussi grands ou plus grands sur le scutellum. Mésopleures (y compris la partie supérieure des épimères) chagrinées, à ponctuation superficielle, peu nette; les espaces sont aussi grands ou plus petits que les points; sur la partie inférieure des épimères, le tégument est brillant et les espaces plus grands que les points le long des métapleures (parfois sur un assez grand espace). Aire dorsale du propodéum non limitée par une carène, fortement chagrinée, avec des strioles irrégulières et transversales; côtés de la face dorsale du propodéum recouvertes de pruinosité argentée qui cache entièrement la sculpture; faces latérales du propodéum mates, densément striolées obliquement; face postérieure avec des stries transversales et une aire médiane triangulaire légèrement chagrinée. Abdomen chagriné, légèrement brillant, à ponctuation fine, dense et superficielle

sur les premiers tergites (elle s'efface sur les tergites suivants). Aire pygidiale brillante, très légèrement microsculptée longitudinalement à la base. Tarse 1 sans peigne. Cellule radiale 2,6-3,3 (3,1) fois plus longue que large (dimensions intérieures); la 1^{re} nervure récurrente aboutit dans la partie terminale de la 1^{re} cellule cubitale, la 2^e au milieu ou un peu après le milieu de la 2^e cellule cubitale; celle-ci avec un pétiole aussi long ou un peu plus court qu'un de ses côtés; la 3^e cellule cubitale petite, peu allongée (fig. 72). Nervulus interstitiel ou peu antéfurcal. Long. 2,7-3,2 mm.

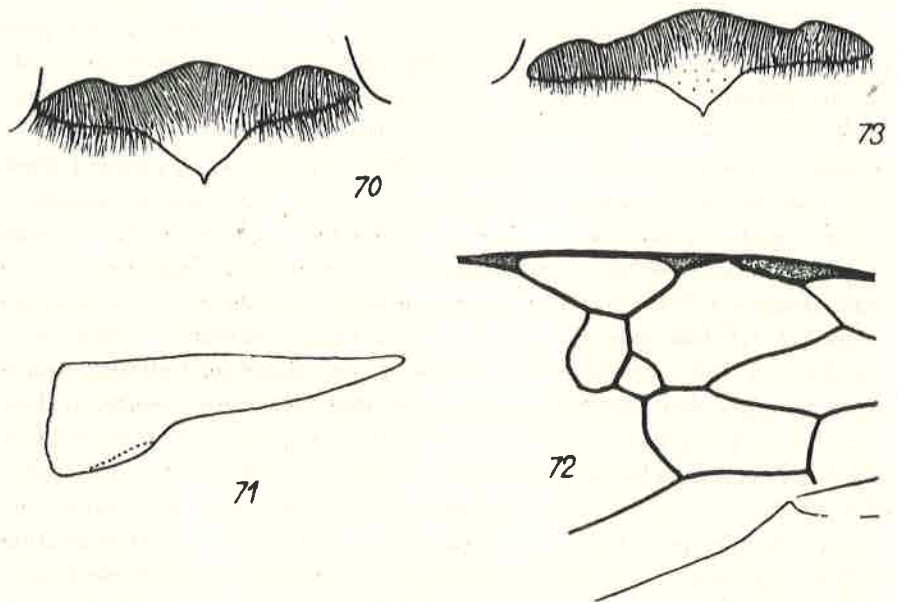


Fig. 70. *Solierella aegyptia* KOHL ♂ — clypéus.

Fig. 71. *Solierella pectinata* sp. n. ♀ — mandibule.

Fig. 72-73. *Solierella dispar* sp. n.; 72 — fragment de l'aile antérieure de la ♀, 73 — clypéus du ♂.

Tête et thorax noirs. Mandibules jaunâtres, foncées à l'apex. La moitié basale du funicule plus ou moins rembrunie du côté interne. Sont d'un jaune blanchâtre: 2 taches allongées au collare, les tubercules huméraux, les tegulae et les plaques précostales, le postscutellum, une grande tache à l'extrémité des fémurs 1, une plus petite tache à l'extrémité des fémurs 2 et 3, les tibias et les tarses (tibias brun ferrugineux en dessous, derniers articles des tarses rembrunis); nervures des ailes brun pâle, jaunes à la base. Abdomen ferrugineux à la base (générale-

ment les 2 premiers segments, parfois 1 ou 3), les segments suivants brun foncé, presque noirs, avec les dépressions terminales décolorées.

♂ — Mandibules comme chez la femelle. Joues à peine plus courtes que le diamètre de l'ocelle antérieur. Lobe médian du clypéus (fig. 73) convexe, sans carène à la base; il est très finement et très densément ponctué sur les côtés, lisse et brillant dans la partie antérieure; son bord antérieur est en arc très prononcé, avec une pointe aiguë au milieu. Antennes de 13 articles, le troisième 1,2-1,3 fois plus long que large, le septième et le huitième 1,1-1,2 fois plus longs que larges; dernier article 1,5-1,7 fois plus long que large à la base, un peu plus long que les deux précédents articles réunis, dont chacun est plus court que large. Front nettement chagriné, à ponctuation fine et dense, superficielle et peu distincte. Callosité supraantennaire très peu nette. Espace oculo-postocellaire chagriné, mais légèrement brillant, avec quelques points peu distincts. POL:OOL = 1,5-1,7; SOL:OOL = 1,1-1,3. Vertex chagriné, à ponctuation dense et irrégulière, superficielle et peu distincte. Mésonotum, mésopleures et propodéum comme chez la femelle (faces latérales du propodéum parfois sans stries obliques). Abdomen chagriné, mais légèrement brillant, à ponctuation fine, dense et superficielle sur les 2 premiers tergites, s'effaçant sur les tergites suivants. Métatarse 3 légèrement courbé en vue dorsale; sa face ventrale est échancrée et pourvue de longs cils sur un peu plus de la moitié de sa longueur. Cellule radiale 2,75-3,15 (3) fois plus longue que large (dimensions intérieures); les 2^e et 3^e cellules cubitales, les nervures récurrentes et le nervulus comme chez la femelle. Long. 2,3-2,8 mm.

Coloration comme chez la femelle, seules les mandibules sont d'un jaune blanchâtre et le funicule et l'abdomen sont noirs (dépressions terminales des segments décolorées).

S. dispar sp. n. se rapproche de *S. babaulti* BEAUM. par la forme du clypéus, par la sculpture des mésopleures et de l'aire dorsale du propodéum; elle en diffère par la forme des mandibules, par la coloration de l'abdomen chez la ♀ et par la forme des antennes chez le ♂. La femelle de *S. pectinata* sp. n., qui partage avec *S. dispar* sp. n. la forme des mandibules, s'en distingue par la présence d'un peigne, par les joues plus longues, par la pilosité du propodéum moins dense, par la partie supérieure des épimères imponctuée, par son abdomen noir et par la coloration jaune moins développée. Le mâle de *S. mandibularis* BEAUM., présentant également un lobe aux mandibules, se distingue par une autre forme des antennes, par les tegulae ferrugineuses et les nervures des ailes brun foncé.

Trypoxylon LATR.*T. aegyptium* KOHL

Saqqara: 27. IV 1 ♂; Louxor: 26. II 2 ♂ (dont j'ai désigné l'un comme allotype).

♂ (inédit) — Écartement des yeux au vertex 1,6 fois plus grand que la distance interoculaire minimum. Clypéus avec une lamelle nette (qui est régulièrement arquée, comme chez *T. scutatum* CHEVR.). Aire frontale (supraclypéale) plus large à la base que haute; la distance qui la sépare des yeux est plus courte que la base. Front (fig. 74) avec une large écusson concave; bordé de carènes; celles-ci forment un angle aigu en avant; ces deux carènes atteignent en se réunissant au bord supérieur des fossettes antennaires; il y a 3 longs poils sétiformes à leur

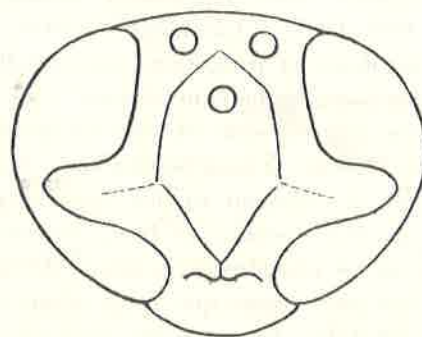


Fig. 74. *Trypoxylon aegyptium* KOHL ♂ — tête vue obliquement de haut.

extrémité antérieure, dirigés en avant et en bas. La bordure du carène s'efface de plus en plus en arrière; elle est régulièrement arquée à l'extrémité postérieure (entre l'ocelle antérieur et les postérieurs). Le tégument de l'écusson est fortement chagriné, finement et densément ponctué, sans zone médiane lisse. Dernier article des antennes comme chez *T. scutatum* CHEVR., aussi long que les 3 précédents réunis, légèrement courbé à l'extrémité. Mésonotum et mésopleures nettement chagrinées, à ponctuation fine, peu dense (les espaces plus grands que les points). Aire dorsale du propodéum distincte, rugueuse; côtés de la face dorsale rugueux, mais moins que chez *T. scutatum* CHEVR. Premier segment abdominal, vu par dessus, 4 fois plus long que large à l'apex; sa partie postérieure n'est pas distinctement épaissie. Long. 7-10,5 mm.

Corps noir, mandibules ferrugineuses (sauf à la base). Bord postérieur du pronotum décoloré, pâle.

Le mâle de *T. aegyptium* KOHL se distingue de celui de *T. scutatatum* CHEVR. surtout par une autre forme de l'écusson frontal et par une autre sculpture du mésonotum.

***Psen* LATR.**

***P. (Mimesa) sublaevis* BEAUM., 1954**

Kom Ombo: 16-18. II 1 ♀.

Cette espèce, observée aux Canaries, au Tassili des Ajjer, au Fezzan et au Tibesti, est nouvelle pour la faune de l'Égypte.

***Diodontus* CURT.**

***D. friesei* KOHL**

Le Caire: 31. X 1 ♀; Abou Roasch: 30. X 1 ♂, 1. XI 1 ♀, 3. XI 1 ♂, 10. XI 1 ♂, 23. XI 1 ♀, 6. V 1 ♂, 11. V 1 ♀; Ghizèh: 15. V 2 ♀; Maadi: 14. XI 1 ♀; Dahschour: 16. V 1 ♀; Abydos: 3-5. III 3 ♀; Louxor: 17. I 7 ♂, 21. I 2 ♀ 2 ♂, 22, 23, 24 et 25. I 4 ♀, 27. I 1 ♀, 30. I 1 ♀, 31. I 1 ♀ 1 ♂; Edfou: 20-22. II 1 ♀; Kom Ombo: 16-18. II 1 ♀; Assouan: 5. II 3 ♂, 12 et 13. II 2 ♀, 15. II 2 ♀ 1 ♂; Ouadi Halfa: 8-10. II 8 ♀ 3 ♂.

HONORÉ (1942) a trouvé cette espèce aux environs du Caire et à Fayoum.

***D. oraniensis* LEP.**

Maadi: 13. III 1 ♀; Louxor: 18. I 1 ♀ 2 ♂, 20. I 2 ♀, 22 et 28. I 2 ♀.

Cette espèce a été citée d'Égypte, sous le nom de *T. moricei* KOHL, deux fois déjà: par KOHL (1901) des environs du Caire et de Louxor et par HONORÉ (1942) des environs du Caire.

***D. clarus* sp. n.**

Holotype: 1 ♀, Abou Roasch, 31. III. 1958. Allotype: 1 ♂, Abou, Roasch, 16. IV. 1958. Paratypes: Abou Roasch: 31. III 1 ♀, 4. IV 1 ♀ 16. IV 2 ♀; Saqqara: 28. III 1 ♀ 2 ♂; Ouadi Digla: 23. III 1 ♀.

♀ — Tête fortement brillante; front, vertex et tempes avec une microsculpture de base très faible, à peine distincte. Lobe médian du clypéus brillant, légèrement convexe, avec quelques fins points piligères à la base; son bord antérieur montre les trois dents habituelles; la distance des dents externes égale 0,75 à 0,9 de celle qui les sépare de l'oeil cor-

respondant. Front sans ligne médiane, avec un très petit tubercule dans la partie inférieure; il y a deux impressions scapales régulièrement microréticulées, séparées par un espace étroit, lisse et finement ponctué; partie supérieure du front et vertex à ponctuation éparse (les espaces plusieurs fois plus grands que les points). Le bourrelet au bord interne des yeux est moins distinct que chez *D. minutus* F. POL:OOL = 1,1-1,2. Troisième article des antennes aussi long ou un peu plus court que le 4^e, 1,2-1,3 fois plus long que large. Mésonotum entièrement lisse, fortement brillant, avec quelques petits points disséminés, finement pointillé à sa déclivité antérieure. Scutellum brillant, avec quelques points dispersés. Partie supérieure des mésopleures fortement rugueuse, partie inférieure lisse ou chagrinée, à ponctuation très éparse, légèrement réticulée en arrière, montrant quelques stries dans le haut. Mésosternum brillant, à ponctuation espacée. Sculpture de la face dorsale du propodéum faible, chaque tiers latéral finement striolé obliquement ou entièrement lisse; face postérieure du propodéum avec de faibles stries transversales sur fond chagriné mais légèrement brillant. Abdomen avec une micropunctation moins développée que chez *D. minutus* F., aire pygidiale presque aussi large, moins chagrinée, que chez cette espèce. Métatarse 1, à la face externe, avec des épines argentées relativement longues, mais plus fines que l'épine apicale. Long. 4-4,5 mm.

Mandibules (sauf les pointes noires) et tubercules huméraux jaune pâle. Scapes noirs (sauf à l'apex) ou plus ou moins ferrugineux; funicule brun clair ou ferrugineux dans la moitié basale (surtout en dessous), ses derniers articles brun foncé ou noirs. Fémurs noirs, genoux jaune pâle, tibias et tarses d'un ferrugineux clair, tibias 1 jaune pâle à la face interne; chez un spécimen, les tibias 1-3 sont jaune pâle, sauf en dessous. Tegulae jaune pâle dans la moitié antérieure; plaques basales des ailes antérieures jaune pâle, brunes au milieu; nervures des ailes d'un ferrugineux pâle, seule la nervure subcostale est brun clair et la partie postérieure (fusiforme) du ptérostigma brune.

♂ — La partie supérieure du front et le vertex à microsculpture très faible, à ponctuation espacée (les espaces nettement plus grands que les points). Troisième article des antennes plus court que le 4^e, articles médians (5-7 par exemple) 1-1,1 fois plus longs que larges; les articles 8-10 sont légèrement saillants à leur angle postéro-inférieur; dernier article 1,6-1,7 fois plus long que large à la base. Mésonotum lisse et brillant, à ponctuation très espacée. Mésopleures rugueuses dans le haut; leur partie inférieure est lisse, finement et éparsement ponctué,

légèrement réticulée en arrière. Mésosternum brillant, à ponctuation peu dense. Côtés de la face dorsale du propodéum (chaque tiers ou quart latéral) entièrement lisses, brillants; sculpture de la partie centrale beaucoup plus fine que chez *D. minutus* F. Métatarse 1 courbé, mais moins que chez l'espèce mentionnée. Métatarse 2 presque droit en vue dorsale, très légèrement courbé en vue latérale, comme chez *D. tristis* LIND.; il n'est pas dilaté et ne montre pas de poils caractéristiques quelconques. Sternites 3-6 sans poils dressés à l'extrémité, avec une zone apicale brillante. Long. 4 mm.

Tête et thorax noirs; mandibules (sauf l'extrême base et la pointe) et tubercules huméraux jaune pâle. Scapes noirs, sauf à l'extrémité. Funicule ferrugineux jaune, rembruni en dessus. Abdomen noir, son extrémité ferrugineuse. Fémurs noirs, genoux, tibias et métatarses jaune pâle (tibias rembrunis en dessous); articles 2-5 des tarses brun pâle. Tegulae, plaques précostales et nervures des ailes comme chez la femelle.

On reconnaîtra cette nouvelle espèce à ses téguments lisses et à la coloration des antennes et des nervures des ailes. Elle ressemble beaucoup à *D. hyalipennis* KOHL (dont j'ai examiné le type et dont le mâle n'est pas encore connu), chez ce dernier, cependant, le clypéus est chagriné à la base, la pilosité de l'espace interantennaire et de l'espace oculo-antennaire est beaucoup plus dense, cachant entièrement la sculpture, la ponctuation du mésonotum est plus forte (mais pas plus dense), la partie inférieure des mésopleures est striée en arrière, la face postérieure du propodéum est moins chagrinée, les antennes sont noires et les tibias et les tarses bruns (tibias 1 jaunes à la face antérieure).

Crabro F.

C. (Lindenius) aegyptius KOHL

Kom Oshime: 9. V 1 ♂; Ouadi Halfa: 8-10. II 5 ♀ 11 ♂.

KOHL (1894) a décrit cette espèce sans citer la localité exacte d'origine; HONORÉ (1942) l'a observée à Saqqara.

C. (Ectemius) continuus F.

Le Caire: 4. XI 1 ♂.

C. (Ectemius) laevigatus DESTEF.

Kom Oshime: 14. IV 3 ♀ 7 ♂, 19. IV 1 ♀ 2 ♂, 13. V 2 ♂.

C. (*Dasyproctus*) *arabs* KOHL

Le Caire: 31. X 1 ♂ (je l'ai désigné comme allotype).

♂ (inédit) — Comme chez la femelle, le clypéus est bidenté au bord antérieur; la tête est fortement développée derrière les yeux, de forme identique; la carène frontale a la même forme et donne naissance à une ligne longitudinale qui se poursuit en arrière; les tempes ne sont pas carénées; la sculpture du mésothorax est identique; il y a une aire épiconémiale au dessus des hanches 2; une carène limite les faces latérales du propodéum des faces dorsale et postérieure.

Articles des antennes cylindriques, non dilatés; 3^e article 2,6 fois plus long que large, 4^e article 1,5 fois plus long que large. Le front montre une ponctuation superficielle entre la carène transversale et l'ocelle antérieur; les impressions frontales sont rondes. Face dorsale du propodéum avec des stries peu régulières, divergentes radialement, avec un sillon médian peu profond; faces latérales distinctement striées obliquement. Premier tergite abdominal 2,5 fois plus long de sa largeur maximum. Pattes sans particularités notables: fémurs 1 non courbés, métatarses simples; article 3 des tarses postérieurs plus long que large, article 4 à peu près aussi long que large; pilosité des fémurs simple. Long. 9 mm.

Coloration comme chez la femelle.

Oxybelus* LATR.**O. fischeri* SPIN.**

Abou Roasch: 26. III 4 ♂, 31. III 4 ♂, 4. IV 3 ♂, 16. IV 1 ♀; Le Caire: 31. X 1 ♂; Ghizèh: 13. III 1 ♀ 4 ♂, 15. IV 4 ♂, 20. IV 1 ♀ 3 ♂, 25. IV 1 ♀; Maadi: 29. III 12 ♀ 17 ♂, 13. IV 1 ♀; Ouadi Digla: 23. III 1 ♂; Saqqara: 24. III 1 ♂, 3. IV 1 ♀; Dahschour: 2. V 1 ♂; Kom Oshime: 14. IV 1 ♂, 19. IV 2 ♀ 5 ♂, 22. IV 1 ♂, 28. IV 1 ♀.

Cette espèce, très commune dans la Basse Egypte, n'a été citée que du Caire par KOHL (1884, sous le nom d'*O. africanus* KOHL) et de Hawamdièh par HONORÉ (1942). L'espèce appelée *O. africanus* KOHL par HONORÉ (1942) est certainement différente d'*O. fischeri* SPIN.

***O. aurantiacus* MOCS.**

Abou Roasch: 24. IV 1 ♀, 29. IV 2 ♂; Ghizèh: 15. IV 1 ♂; Kom Oshime: 13. V 1 ♀; Abydos: 3-5. III 1 ♀ 1 ♂.

Espèce nouvelle pour la faune d'Egypte.

***O. palmetorum* BEAUM., 1950**

Abou Roasch: 10. XI 1 ♂; Ghizèh: 5. XI 1 ♂; Assouan: 5. II 1 ♂, 13-15. II 12 ♂. La détermination de cette espèce a été confirmée par M. J. DE BEAUMONT.

Les dessins du corps sont jaunes et non „d'un ferrugineux clair, tirant sur le rosé"; les individus ainsi colorés (DE BEAUMONT, 1950) ont probablement subi l'influence de cyanure.

Espèce nouvelle pour la faune d'Égypte.

***O. lamellatus* OL.**

Abou Roasch: 30. X 1 ♂, 1 IX 1 ♂, 10. XI 1 ♀, 24. IV 1 ♀, 29. IV 3 ♂, 6. V 2 ♂; Ghizèh: 6. XI 1 ♀, 20. IV 1 ♂, 25. IV 2 ♂, 10. V 1 ♂; Le Caire: 31. X 7 ♂, 4. XI 1 ♀, 12. XI 1 ♂; Maadi: 29. III 2 ♂, 23. IV 2 ♀ 1 ♂; Kom Oshime: 14. IV 1 ♀ 2 ♂, 19. IV 6 ♂, 22. IV 1 ♂, 13. V 2 ♂; Abydos: 3-5. III 1 ♀ 13 ♂; Sinai: Oasis Feiran: 7. IV 2 ♂.

***O. phyllophorus* KOHL**

Maadi: 29. III 1 ♂, 13. IV 1 ♀; Assouan: 15. II 3 ♂.
Connu jusqu'à présent des environs du Caire.

***O. diphyllus pharao* KOHL**

Le Caire: 31. X 1 ♂; Abydos: 3-5. III 12 ♂.
Décrit du Caire (KOHL, 1884) et cité de Tourèh et de Hawamdièh par HONORÉ (1942).

Belomicrus* A. COSTA**B. mirificus* KOHL**

Assouan: 12-15. II 14 ♀ 32 ♂ (dont j'ai désigné un mâle comme allotype). J'ai aussi examiné le type de cette espèce.

Chez les deux sexes, le haut du front, le vertex, les tempes et les mésopleures sont chagrinés et montrent une ponctuation très fine, dense et peu distincte. Funicule sans particularités notables, ses articles sont plus larges que longs, sauf le dernier qui est à peu près aussi long que les deux précédents articles réunis. Mandibules sans dent au bord interne. Front avec une ligne médiane enfoncée qui aboutit à l'ocelle antérieur, avec deux impressions scapales lisses et brillantes. Impressions frontales longues et distinctes, presque rectilignes, très étroites (moins larges que le demi-diamètre d'un ocelle). Vertex sans tubercules ou callosités.

sités en arrière des yeux. Pilosité de la tête et du thorax tout à fait couchée. Mésonotum et scutellum à ponctuation fine et pas très dense sur fond brillant mais légèrement chagriné. Suture épisternale assez forte, aire épincémiale distincte, mais pas limitée par une carène; il y a une ébauche de suture horizontale, prenant naissance à la suture épisternale; pas de carène devant les hanches 2. Scutellum subtrapézoïdiforme, presque semicirculaire, rébordé sur les côtés, à bord postérieur convexe (fig. 79). Postscutellum peu allongé, sa longueur médiane nettement plus courte que la moitié de sa largeur basale; lamelles peu développées, courtes, largement séparées par le bord postérieur du postscutellum concave; elles sont transparentes et montrent quelques stries, leur bord externe est convexe. Mucron petit et aigu, creusé en gouttière. Faces dorsale et postérieure du propodéum mates, réticulées, face dorsale avec de courtes stries à la base; face postérieure striée transversalement, avec une aréole médiane chagrinée (sauf sur les bords) et pointue dans le bas; faces latérales du propodéum limitées par une carène très distincte, à réticulation beaucoup plus fine, plus ou moins brillantes au milieu. Abdomen chagriné, demi-brillant, sternites à peu près plats. Tergite 1 avec une ligne médiane enfoncée dans la partie basale. Tergites 2-5 étranglés à la base; l'étranglement est très net sur les tergites 2 et 3, moins fort sur le 4^e et assez faible sur le 5^e. Fémurs 3 légèrement courbés. Cellule radiale allongée, avec l'extrémité étroite, tronquée obliquement.

♀ — Lobe médian du clypéus (fig. 75) nettement bombé; vu de profil, il est faiblement arqué à la base, puis presque rectiligne; il montre une zone médiane brillante, étroite mais élargie en avant; il est très finement et très densément ponctué sur les côtés; son bord antérieur est large, en arc très prononcé, avec une forte pointe médiane légèrement concave, et une petite dent de chaque côté; les dents disparaissent souvent. Mandibules longues (fig. 77), nettement courbées à la base, avec un petit lobe au bord inférieur. Face inférieure de la tête absolument lisse, brillante; carènes temporales très fortement saillantes (fig. 76); elles forment une longue pointe de chaque côté de la tête, si l'on regarde l'insecte par la face dorsale. POL:OOL = 3; distance interantennaire 1,7-1,8 fois plus grande que la distance oculo-antennaire. Collare étroit (fig. 78), avec une zone surélevée exceptionnellement forte (elle montre une fine impression longitudinale); chaque angle antéro-latéral de la zone surélevée donne naissance à une carène qui se dirige en bas et en avant; il y a une autre carène, courbée en avant et se rapprochant de la précédente, sur les faces latérales du pronotum. Aire pygidiale large,

occupant toute la face dorsale du 6^e tergite, nettement limitée, assez densément ponctuée (les points sont assez grands et distincts). Peigne du tarse 1 bien développé, métatarse 1 avec 5 ou 6 épines légèrement spatulées et plus longues que le diamètre de l'article; article 2 avec 2 épines, dépassant nettement l'apex du 3^e. Face dorsale des métatarses 2 et 3 avec 2 ou 3 épines (sans compter l'apicale). Il y a des psammophores aux mandibules, aux tempes, aux trochanters 1 et aux fémurs 1. Long. 3,3-4,5 mm.

Corps noir, avec les parties jaune de citron suivantes: les mandibules (sauf les pointes), les scapes et les pédicelles, la face inférieure du funicule (la face dorsale est noire), les tubercules huméraux et le collare (avec la zone surélevée), le postscutellum et deux lignes parallèles entre la base de l'aile postérieure et le bord postérieur du scutellum et du postscutellum, les tegulae (elles sont en bonne partie transparentes) et les plaques précostales, des bandes au bord postérieur des tergites (leur nombre varie entre 3 et 5, celle du 1^{er} tergite est la plus large), l'aire pygidiale (sauf souvent à l'apex), fémurs 1 (sauf à la base), la moitié environ des fémurs 2, l'apex des fémurs 3, les tibias et les tarsi. Partie apicale du clypéus jaune ferrugineux. Abdomen avec des reflets bronzés, dépressions apicales des tergites décolorées. Epines des tarsi argentées. Ailes hyalines.

♂ (inédit) — Lobe médian du clypéus (fig. 80) bombé, très finement et densément ponctué, sans zone lisse; vu de profil, il est légèrement et régulièrement arqué; il y a une lamelle assez faiblement arquée et dont les bords externes sont nettement anguleux; elle est très légèrement pointue au milieu. Mandibules (fig. 81) de longueur normale, beaucoup plus courtes que chez la femelle, non courbées à la base, avec un lobe très distinct au bord inférieur. Face inférieure de la tête chagrinée, carène temporale droite, ne formant pas la moindre saillie. POL:OOL = 3; distance interantennaire 2-2,5 fois plus grande que la distance oculo-antennaire (celle-ci est proportionnellement plus courte chez les petits individus). Collare (fig. 82) étroit sur les côtés, épaissi au milieu, mais sans zone surélevée; il y a une impression médiane; pas de carènes sur les côtés du pronotum. Aire pygidiale assez nette, les carènes qui la limitent sont visibles surtout en vue latérale. Hanches 1 sans sillon oblique. Tarse 1 avec un peigne rudimentaire; métatarse avec 3 épines, articles suivants avec 1 épine. Long. 2,8-3,8 mm.

Coloration comme chez la femelle; la partie apicale du clypéus est jaune; le nombre des bandes jaunes sur les tergites varie entre 1 et 3; dernier article des tarsi 2 et 3 brun ou noir.

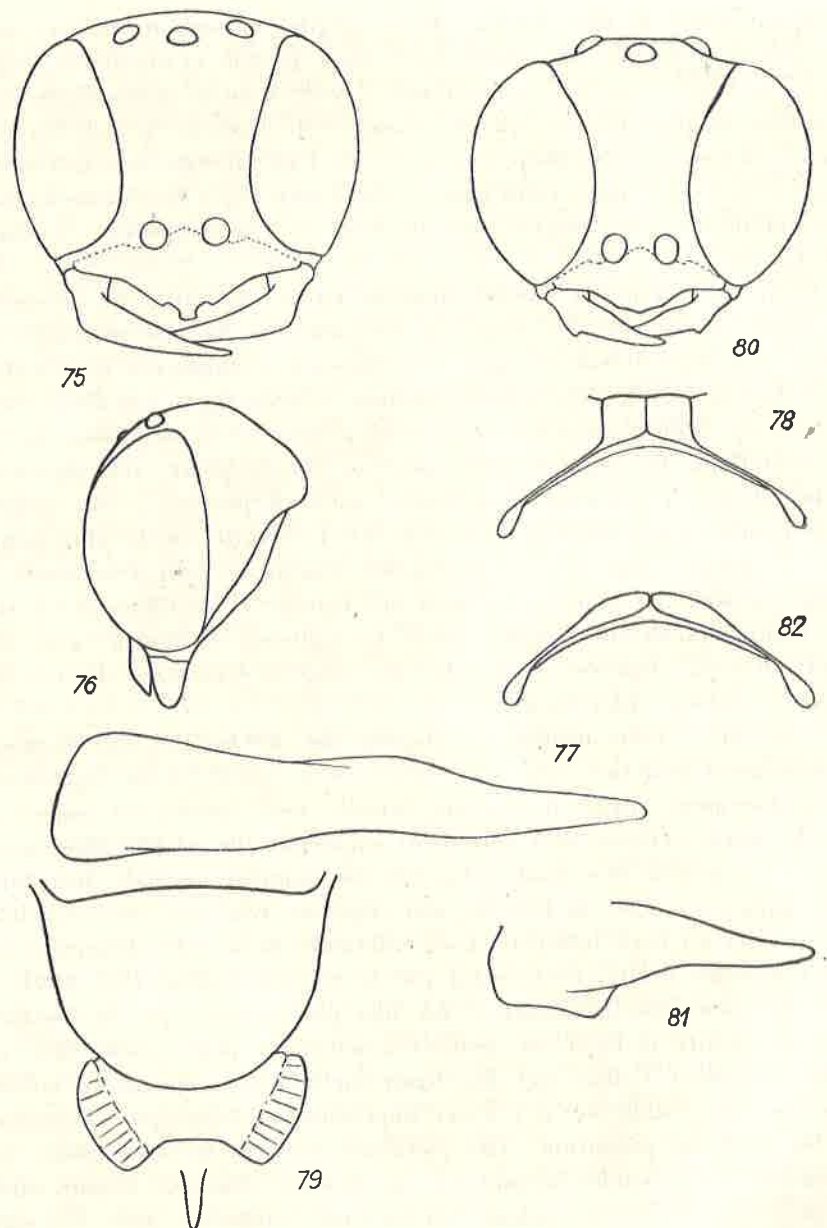


Fig. 75-79. *Belomicrus mirificus* KOHL ♂; 75 — tête vue par la face antérieure, 76 — tête en vue latérale, 77 — mandibule, 78 — pronotum, 79 — scutellum et post-scutellum.

Fig. 80-82. *Belomicrus mirificus* KOHL ♀; 80 — tête vue par la face antérieure, 81 — mandibule, 82 — pronotum.

B. mirificus KOHL se reconnaît aisément à son front avec une ligne médiane enfoncée, à la forme du postscutellum et à ses tergites nettement étranglés à la base. La femelle peut être distinguée encore à la forme inhabituelle de ses tempes et du pronotum; notons cependant que des structures homologues, quoique beaucoup moins prononcées, existent aussi chez d'autres *Belomicrus* COSTA; aussi serait-il injuste de réserver une place particulière à l'espèce en question dans le système du genre. Suivant le système de PATE (1940), *B. mirificus* KOHL appartient à la série *forbesi*, je dois cependant remarquer que le groupement de cet auteur est probablement très artificiel. Si l'on examine son système de plus près, on s'aperçoit qu'il n'existe qu'une seule différence entre la série *vierecki* et celle de *forbesi*: le bord postérieur du postscutellum est droit ou convexe chez la première et concave chez la seconde. Il est clair que toute unité systématique fondée sur un critère pareil peut contenir des formes bien hétérogènes et peu apparentées; il me semble d'autre part bien probable que deux espèces voisines aient le bord postérieur du postscutellum l'une convexe et l'autre concave.

La différence dans la forme des mandibules entre le mâle et la femelle de *B. mirificus* KOHL est un fort argument contre le sous-genre *Oxybelomorpha* BRAUNS. Le bord inférieur des mandibules présente un lobe bien développé chez le mâle et montre, corrélativement, une échancrure bien distincte; chez la femelle, ce lobe est petit et l'échancrure presque nulle. En admettant le sous-genre *Oxybelomorpha* BRAUNS, on devrait y placer le mâle de l'espèce discutée, alors que la femelle resterait dans le sous-genre *Belomicrus* s. s.!

***B. pharaonum* sp. n.**

Holotype: 1 ♂, Abou Roasch, 16. IV. 1958. Paratypes: 2 ♂, même localité, 31. III et 16. IV.

♂ — Mandibules (fig. 84) avec un très petit lobe au bord inférieur, avec une dent, très plate, large et peu distincte, au bord interne. Lobe médian du clypéus (fig. 83) bombé; vu de profil, il est faiblement et régulièrement arqué; il est très finement et très densément ponctué, sauf en avant où l'on aperçoit un petit espace, lisse et triangulaire; il y a une lamelle, transparente et peu nettement limitée du reste de la surface; son bord antérieur est régulièrement échancré, avec une forte pointe médiane. Antennes sans particularités notables, articles du funicule moins longs que larges, sauf le dernier qui est à peu près égal aux deux précédents articles réunis. Front avec deux impressions scapales lisses et brillantes, sans ligne enfoncée avant l'ocelle antérieur; impressions

frontales non développées; vertex sans tubercules ou callosités. POL:OOL = 3,1-3,3; distance interantennaire 1,4 fois plus grande que l'espace oculo-antennaire. Tempes régulièrement arquées en vue latérale, carène temporale ne formant aucune saillie. Face inférieure de la tête ponctuée et chagrinée. Ponctuation du front, du vertex, des tempes, du mésonotum et des mésopleures fine et dense, les espaces plus petits que les points; le tégument est mat sur le front, le vertex et les tempes et brillant sur le mésonotum et les mésopleures. Pilosité de la tête et du thorax tout

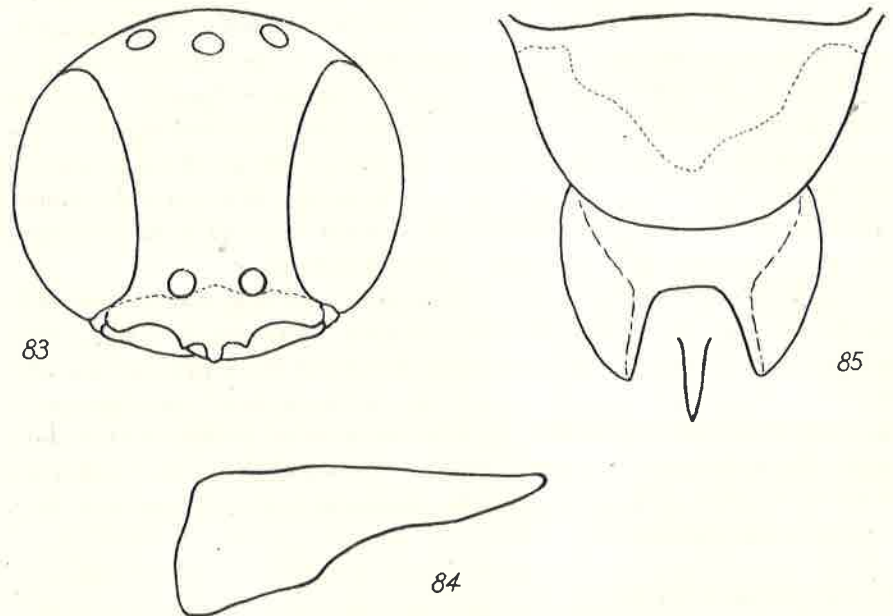


Fig. 83-85. *Belomicrus pharaonum* sp. n. ♂; 83 — tête vue par la face antérieure, 84 — mandibule, 85 — scutellum et postscutellum.

à fait couchée, assez dense, spécialement sur le front, les tempes et les mésopleures, où elle laisse cependant voir facilement la sculpture. Collare faiblement et régulièrement arqué, avec une impression médiane, sans zone surélevée sur la face antérieure. Mésopleures sans aires épincémiales et sans carène devant les hanches 2, avec une faible ébauche de la suture horizontale; suture épisternale distincte, pas très fine. Scutellum (fig. 85) presque semicirculaire, à bord postérieur régulièrement arqué, très légèrement rébordé sur les côtés. La longueur médiane du postscutellum est nettement plus petite que la moitié de sa largeur basale; lamelles bien développées, longues, séparées par un large espace semicirculaire

(le bord postérieur du postscutellum est corrélativement échancré); le bord externe des lamelles est convexe. Mucron creusé en gouttière étroite, pointu à l'extrémité. Faces dorsale et postérieure du propodéum distinctement réticulées, mates, face dorsale avec des traces de striation oblique; face postérieure sans stries, avec une nette aréole médiane tout à fait mate et pointue dans le bas; faces latérales limitées par une carène très saillante, avec une réticulation beaucoup plus fine, en bonne partie brillantes. Tergites abdominaux chagrinés, demi-brillants, non étranglés à la base; tergite 1 avec une ligne médiane courte et peu enfoncée près de la base; tergite 7 densément et pas très distinctement ponctué, sans aire pygidiale. Sternites à peu près plans, brillants, légèrement chagrinés et finement ponctués. Hanches 1 sans sillon oblique. Tarse 1 avec un peigne rudimentaire: 3 épines au métatarse et 1 épine aux articles suivants. Fémurs 3 légèrement courbés. Cellule radiale allongée, avec l'extrémité pointue et appliquée contre le bord de l'aile. Long. 3,2 mm.

Tête noire, clypéus jaune (sauf à la base), avec la lamelle brun ferrugineux et transparente; mandibules jaune pâle à pointe presque noire; scape, pédicelle et face inférieure du funicule jaune pâle, face supérieure du funicule rembrunie, légèrement à la base et fortement à l'extrémité. Thorax noir, avec les parties jaune pâle suivantes: les tubercules huméraux et le collare, le scutellum (sauf une tache basale assez grande), le postscutellum et les lamelles, deux lignes parallèles entre le bord postérieur du scutellum et du postscutellum et la base des ailes, les plaques précostales et les tegulae (ces dernières, de même que les lamelles, sont en majeure partie décolorées). Abdomen noir, avec un léger reflet bronzé, les dépressions terminales des tergites décolorées; il y a 2 ou 3 bandes au bord postérieur des premiers tergites, celle du 1^{er} tergite étant la plus large; tergite 7 brun. Fémurs 1 et 2 bruns, jaune pâle à la face inférieure et à l'apex; fémurs 3 noirs, jaune pâle à l'apex. Tibias jaune pâle, légèrement rembrunis en dessous. Tarses brun clair (tarses 3 les plus foncés). Epines des pattes argentées.

Femelle inconnue.

L'espèce est immédiatement reconnaissable à la forme de son clypéus et du postscutellum.

TRAVAUX CITÉS

- ANDRADE, N. F. DE, 1954, Palaeartic *Miscophus* of the *gallicus* group (*Hymenoptera*, *Sphécidae*), Mem. Est. Mus. Zool. Univ. Coimbra, No. 226, p. 1-87.
ANDRADE, N. F. DE, 1960, Palaeartic *Miscophus*: *bicolor* group and isolated species (*Hymenoptera*, *Sphécidae*), Mem. Est. Mus. Zool. Univ. Coimbra, No. 262, p. 1-136.

- BEAUMONT, J. DE, 1940, Les *Tachysphex* de la faune égyptienne (*Hymenoptera: Sphecidae*), Bull. Soc. Fouad I^{er} Entom., 24, p. 153-179.
- BEAUMONT, J. DE, 1947, Nouvelle étude des *Tachysphex* de la faune égyptienne (*Hymenoptera: Sphecidae*), Bull. Soc. Fouad I^{er} Entom., 31, p. 141-216.
- BEAUMONT, J. DE, 1949, Les *Philanihus* et *Philiponidea* de l'Afrique N. O. (*Hym. Sphecid.*) Mitt. schweiz. entom. Ges., 22, p. 173-216.
- BEAUMONT, J. DE, 1949, Contribution à l'étude du genre *Palarus* LATR. (*Hym. Sphecid.*), Rev. suisse Zool., 56, p. 627-673.
- BEAUMONT, J. DE, 1950, *Sphecidae* (*Hymenoptera*) récoltés en Algérie et au Maroc par M. Kenneth M. GUICHARD, Bull. Brit. Mus. (Nat. Hist.), Entom., 1, No. 6, p. 391-427.
- BEAUMONT, J. DE, 1951, Contribution à l'étude des *Cerceris* nordafricains, Eos, 27, p. 299-408.
- BEAUMONT, J. DE, 1953, Les *Hoplisoides* et les *Psammaecius* de la région paléarctique, Mitt. schweiz. entom. Ges., 29, p. 145-185.
- BEAUMONT, J. DE, 1954, Notes sur le genre *Prosopigastra* (*Hym. Sphecid.*), Mitt. schweiz. entom. Ges., 27, p. 153-156.
- BEAUMONT, J. DE, 1954, Les *Bembecinus* de la région paléarctique (*Hym. Sphecid.*), Mitt. schweiz. entom. Ges., 27, p. 241-276.
- BEAUMONT, J. DE, 1954, Contributions entomologiques de l'expédition finlandaise aux Canaries. 1947-1951. No. 8. *Sphecidae*, Comment. biol., 14, No. 8, p. 1-6.
- BEAUMONT, J. DE, 1955, Hyménoptères récoltés par une mission suisse au Maroc (1947). *Sphecidae* 3, Bull. Soc. Sc. nat. Maroc, 34 (1954), p. 169-197.
- BEAUMONT, J. DE, 1956, *Sphecidae* (*Hym.*) récoltés en Libye et au Tibesti par M. Kenneth M. GUICHARD, Bull. Brit. Mus. (Nat. Hist.), Entom., 4, No. 5, p. 167-215.
- BEAUMONT, J. DE, 1956, Notes sur les *Lindenius* paléarctiques (*Hym. Sphecidae*), Mitt. schweiz. entom. Ges., 29, p. 145-185.
- BEAUMONT, J. DE, 1957, Hyménoptères récoltés par une mission suisse au Maroc (1947). *Sphecidae* 4, Bull. Soc. Sc. nat. Maroc, 36 (1956), p. 139-164.
- BEAUMONT, J. DE, 1958, Hyménoptères Sphécides de la mission du Tassili des Ajjer (1949). Trav. Inst. Rech. sahar., Alger, 3, p. 55-71.
- BEAUMONT, J. DE, 1960, *Sphecidae* (*Hym.*) récoltés en Tripolitaine et en Cyrénaïque par M. Kenneth M. GUICHARD, Bull. Brit. Mus. (Nat. Hist.), Entom., 9, p. 221-251.
- BEAUMONT, J. DE, 1961, Les *Liris* F. du bassin méditerranéen, Mitt. schweiz. entom. Ges., 34, p. 213-252.
- GUSSAKOVSKIJ, V., 1930, Contribution à la connaissance des espèces paléarctiques du genre *Gastrosericus* SPIN. (*Hymenoptera, Sphecidae*), Annu. Mus. Zool. Ac. Sc. U.R.S.S., p. 449-457.
- GUSSAKOVSKIJ, V., 1936, Les espèces paléarctiques du genre *Trypoxylon* LATR. (*Hymenoptera, Sphecidae*), Trav. Inst. Zool. Ac. Sc. U.R.S.S., 3, p. 639-667.
- GUSSAKOVSKIJ, V. V., 1952, Novyie i maloizvestnyie vidy *Sphecidae* i *Psammocharidae* zapadnogo Tadjikistana, Trav. Inst. Zool. Ac. Sc. U.R.S.S., 10, p. 199-288.
- HANDLIRSCH, A., 1895, Nachträge und Schlusswort zur Monographie der mit *Nysson* und *Bembex* verwandten Grabwespen, Sitzber. kais. Akad. Wiss. Wien, Math. natwiss. Cl., 104, p. 801-1079 + 2 pl.
- HONORÉ, A., 1941, Contribution à la connaissance des espèces égyptiennes du genre *Palarus* LATR. (*Hymenoptera, Sphecidae*), Bull. Soc. Fouad I^{er} Entom., 25, p. 191-202.

- HONORÉ, A., 1942, Introduction à l'étude des Sphérides d'Égypte, Bull. Soc. Fouad I^{er} Entom., 26, p. 25-80.
- HONORÉ, A., 1944, Matériaux pour une monographie des *Miscophus* d'Égypte, Bull. Soc. Fouad I^{er} Entom., 28, p. 119-143.
- KOHL, F. F., 1884, Beitrag zur Kenntnis der Hymenopteren-Gattung *Oxybelus* LATR., Termész. Füzet., 8, p. 101-116.
- KOHL, F. F., 1893, Ueber *Ampulex* JUR. (s. l.) und die damit enger verwandten Hymenopteren-Gattungen, Ann. k. k. nathist. Hofmus. Wien, 8, p. 445-516+3 pl.
- KOHL, F. F., 1901, Zur Kenntnis der paläarktischen *Diodontus*-Arten, Verh. k. k. zool. bot. Ges. Wien, 51, p. 120-134.
- KOHL, F. F., 1915, Die Crabronen (*Hymenopt.*) der paläarktischen Region, Ann. k. k. nathist. Hofmus. Wien, 29, p. 1-453+XIV pl.
- KOHL, F. F., 1923, Die Hymenopteren-Gattung *Belomicrus* A. COSTA (s. l.), Konowia, 2, p. 98-122, 180-202, 258-278.
- LECLERCQ, J., 1954, Monographie systématique, phylogénétique et zoogéographique des Hyménoptères Crabroniens, Liège, 371 pp. + 84 cartes.
- MOCHI, A., 1938, Revisione delle specie egiziane del genere *Cerceris* LATR., Bull. Soc. Fouad I^{er} Entom., 22, p. 136-228.
- MOCHI, A., 1939, Revisione delle specie egiziane dei Generi *Philanthus* F. e *Nectanebus* SPIN., 23, p. 86-139.
- MOCHI, A., 1939, Revisione delle specie egiziane del genere *Stizus* LATR., Bull. Soc. Fouad I^{er} Entom., 23, p. 183-261.
- PATE, V. S. L., 1940, The taxonomy of the *Oxybelinae* Wasps (*Hymenoptera: Sphecidae*). II. The Classification of the Genera *Belomicrus* and *Enchemicrum*, Trans. Amer. Entom. Soc., 66, p. 209-264.
- PULAWSKI, W. J., 1958, Une espèce paléarctique du genre *Diploplectron* FOX (*Hymenoptera, Sphecidae*), Bull. Soc. Entom. Egypte, 42, p. 473-476.